

# **Memoria de las actuaciones arqueológicas en las Termas Orientales de La Alcudia (Elche, Alicante).**

**Campaña 2017**

**PROYECTO: Arqueología y socialización del conocimiento en La Alcudia de Elche. Las Termas Orientales y áreas circundantes (ASTERO)**

**Ayuda UA: ALCUDIA16-02**

Permiso Dir. Gen. Patrimonio GV: S. ref. expte. 2016/0790-A (SSTT: A-2004-055)

**Dirección arqueológica**

**IP: Jaime Molina Vidal**

**Francisco Javier Muñoz Ojeda**

**Juan Francisco Álvarez Tortosa**





## 1. Antecedentes

Las estructuras que dan forma al conjunto denominado como Termas Orientales de La Alcudia se encuentran ubicadas en el Sector 7-F del yacimiento arqueológico de La Alcudia, tradicionalmente denominado como “Sector del Alcantarillado”:

- Coordenadas ETRS89 - UTM Huso 30 (25830), X: 701823.28541525, Y: 4234872.0594627
- Referencia catastral de la parcela: 03065A09900078).

Su descubrimiento casual, fruto de unas obras de mantenimiento, provocó que las campañas 63, 64 y 65 en La Alcudia se centrasen en su excavación y estudio, dejando a la vista durante esas excavaciones gran parte de las estructuras que hoy día pueden visitarse. Producto de estas intervenciones son las dos únicas **publicaciones** que de manera concreta describen y analizan este conjunto termal: por un lado la publicación en el marco del Coloquio Internacional de Gijón del año 2000 Termas romanas en el Occidente del Imperio (Ramos Molina- Tendero Porras, 2000) y la publicación de R. Ramos Fernández y A. Ramos Molina (2007).

En ambas publicaciones se realiza una descripción estructural del conjunto termal, además de algunas indicaciones sobre materiales aparecidos y su adscripción cronológica, aunque dejando en todo momento claro que es una zona en estudio. Del mismo se realiza una primera aproximación cronológica ajustando sus fases constructivas a las que tradicionalmente se han documentado en el yacimiento arqueológico de La Alcudia (Ramos Folqués, 1966).

Durante las dos primeras campañas (1998 y 1999) la excavación se centró en descubrir gran parte de la planta que en la actualidad puede visitarse en el yacimiento. La estructura general descrita en las publicaciones se compone de un denominado vestíbulo o estancia D, en la parte oriental, cuyo pavimento se encuentra decorado con un mosaico polícromo que ocupa todo el espacio, desde el cual se abren dos vanos al norte y un acceso mediante escaleras al oeste.

En todo momento llama la atención a los excavadores la presencia de un sistema complejo de alcantarillado, algo por otro lado lógico teniendo en cuenta la naturaleza del edificio. En cuanto a las cronologías que se barajan para la construcción de las

termas, en un primer momento éstas podrían arrancar en la primera mitad del s. I d. C. con una amortización aún por definir (Ramos Molina-Tendero Porras, 2000). Mientras que la excavación de un perfil conservado en la conocida como dependencia C durante la campaña del 2000 (Ramos Fernández- Ramos Molina, 2007) reveló una cronología de abandono visigoda, mientras que su fundación no parecía moverse del s. I d.C. Además, durante la excavación del perfil comentado se documentaron varios niveles de pavimentación que ilustran, al menos dos fases intermedias entre la visigoda comentada y la de fundación. Estas dos nuevas fases parecen asimilarse, según sus excavadores, en los siglos II y III d.C., respectivamente.

De forma adicional en las publicaciones se señala a existencia de, al menos, dos fases constructivas en función de la presencia de varios modos constructivos y la propia relación estratigráfica entre estructuras, aunque en ningún momento se aclara una asignación cronológica para estas fases estructurales. En ambos artículos se realiza una descripción detallada de la articulación de espacios, apuntando en algunos casos la aparición de materiales que, por su particularidad, llama la atención de los excavadores. En el caso de la estancia conocida como Vestíbulo se apunta la aparición de un nutrido conjunto de agujas de hueso (Tendero- Lara, 2003), plaquetas de mármol, un *urceus* tardorromano, ánforas y lo que podría ser un posible *labrum*, sin especificar en ningún momento asignación estratigráfica o fase constructiva con la que se asocia. Cabe destacar la presencia de tres monedas, identificada como ases altoimperiales, en el relleno de la canalización presente bajo el umbral del ambiente. Por otro lado, a la hora de describir el espacio que ocupa la gran *natatio* (estancia F) se indica que se encontraba amortizada y rellena por gran cantidad de material constructivo, llamando la atención sobre el nutrido conjunto de enlucidos pintados que imitaban tipos marmóreos, algo que por otro lado es típico de los primeros estilos pictóricos que se desarrollan durante época alto imperial. Finalmente apuntan la presencia de dos monedas fechadas en el s. III d.C. y s. II d.C. respectivamente.

Tal y como ya hemos comentado, la campaña del 2000 se centró en finalizar la excavación de la conocida como estancia C, donde se había dejado, a modo de testigo, un gran perfil en la parte norte del ambiente. A partir de esta excavación se propusieron hasta **cuatro fases** vinculadas a los cuatro niveles de pavimentación detectados:



- Fase 1: cuya cota coincide con el nivel de paso documentado en la estancia F de la *natatio*, se vincula a la denominada fase visigoda
- Fase 2: el segundo nivel se vincula al s. III d.C.
- Fase 3: el tercer nivel se relaciona con la construcción de la estancia C y por tanto con el funcionamiento del conjunto termal en el s. II d.C.
- Fase 4: finalmente, bajo el último pavimento se documentaron una serie de estructuras que los excavadores relacionan con una primera distribución del espacio termal en la primera mitad del s. I d.C.

Al margen de las publicaciones comentadas no tenemos constancia de más estudios en profundidad sobre este espacio termal, a pesar haberse excavado en posteriores campañas algunas zonas realmente amplias relacionadas con el edificio en cuestión y de haberse realizado sucesivas intervenciones de consolidación y restauración.

Tal como podemos ver en la **planimetría** adjunta en el artículo de R. Ramos Fernández y A. Ramos Molina (2007), hasta la campaña de 2000 el vestíbulo en su extremo oeste conducía a unas escaleras que ascendían hasta un pequeño espacio que daba paso a la gran estancia F de la *natatio*. En posteriores campañas se procedió a la excavación del espacio existente al oeste, tras las escaleras, dejándose a la vista un ambiente que discurre de forma paralela a la estancia F, separada de esta por un muro al norte. En alguna fase, que desconocemos, este gran pasillo se encontraba compartimentado por tabiques con orientación norte-sur, que durante la consolidación y puesta en valor fueron eliminados.

También se amplió el sector excavado en su extremo oeste y norte, entorno a la estancia F de la *natatio*, dejando al descubierto una serie de ambientes de pequeño tamaño que presentaban pilas de ladrillos besales, lo cual apunta a la presencia de varios hipocaustos. La articulación de estos ambientes en torno a la estancia F nos hace pensar en la presencia de un gran *caldarium* o zona caliente aún por definir y comprender. Esta zona, al menos en su parte occidental también se encuentra recorrida por el sistema de alcantarillado que viene desde el extremo oriental del conjunto termal.

De este modo, y a falta de una revisión en profundidad de la documentación producida durante las distintas campañas llevadas a cabo en el conjunto termal, quedaría por

definir lo que ahora mismo es la parte perimetral del sector. Los perfiles perimetrales en estos momentos no coinciden con muros limítrofes del conjunto.

Finalmente habría que señalar la reciente actuación en este sector del equipo de **Patrimonio Virtual**, dirigido por J. Molina Vidal (IP de esta propuesta de proyecto) que ha dado como resultado un conjunto de actuaciones de carácter básicamente docente y divulgativo:

- Campo de experimentación de diversos workshop sobre patrimonio virtual
- Laboratorio abierto de prácticas de toma de datos con GPS diferencial y captura fotogramétrica con drones
- Contribución en la reciente a la obra de divulgación coordinada por el prof. L. Abad Casal, 2016: *L'Alcúdia d'Elx. Un passeig per la història i l'entorn*, Alicante.

## **BIBLIOGRAFÍA**

- Abad Casal, L.- Moratalla Jávega, J. - Tendero Porras, M., 2000: "Contextos de antigüedad tardía en las termas occidentales de La Alcudia", *Anales de Prehistoria y Arqueología de la Universidad de Murcia* 16, 133-147.
- Abad Casal, L.- Tendero Porras, M., 2008: *Ilici (La Alcudia de Elche, Alicante). Guía del Parque Arqueológico*, Alicante.
- Abad Casal, L.- Sala Sellés, F.- Grau Mira, I., 2002: *La Contestania Ibérica, treinta años después*, Alicante.
- Abad, L., 2003: "Vivir en Ilici", *Canelobre* 48, 59-81.
- 2016: *L'Alcúdia d'Elx. Un passeig per la història i l'entorn*, Alicante.
- Abad, L.- Abascal, J. M., 1991: *Textos para la historia de Alicante. Historia Antigua*, Alicante.
- Alföldy, G., 2003: "Administración, urbanización, instituciones, vida pública y orden social", *Canelobre (Las ciudades y los campos de Alicante en época romana)*, 48, Inst. Cult. Juan Gil-Albert, Alicante, 35-57.
- Almagro Gorbea, M. 1999: *El Rey Lobo de La Alcudia de Elche*, Alicante.
- Badie, A.- Gailledrat, E.- Moret, P.- Rouillard, P.- Sánchez, M. J.- Sillières, P., 2000: *Le site antique de La Picola à Santa Pola (Alicante, Espagne)*, París-Madrid.
- Castellano Hernández, Á., 1996: "Joyas de La Alcudia de Elche en la colección de orfebrería romana del Museo Arqueológico Nacional", *Boletín del Museo Arqueológico Nacional*, T. XIV, Madrid, 55-62.
- Corell, J., 1999: *Inscripcions romanes d'Ilici, Lucentum, Allon, Dianium i els seus respectius territoris*, Valencia.
- Chao Fernández, J. J.- Mesa Sanz, J. F. - Serrano Espinosa, M., 1999: "Un nuevo bronce hallado en la Alcudia", en J. González (ed.): *Ciudades privilegiadas del Occidente romano*, Sevilla, 417-424.
- Gozálvez Pérez, V., 1974: "La Centuriatio de Ilici", *Estudios sobre Centuriaciones Romanas en España*, Univ. Autónoma Madrid, 101-113.
- Gurt J. M.- de Lanuza, A. - Palet, J. M., 1996: "Revisión del catastro romano de Ilici (Elche)", *Pyrenae* 27, 215-226.
- Gutiérrez Lloret, S., 1996: *La Cora de Tudmir: de la antigüedad tardía al mundo islámico. Poblamiento y cultura material*, Madrid.
- Gutiérrez Lloret, S., 1999: "Cuando el Portus dejó de ser puerto: el territorio ilicitano en la Alta Edad Media (ss. VI-X)", *I Congreso de Historia Local (Santa Pola, octubre 1997)*, 79-94.
- Hernández Pérez, M.-Abad Casal, L., 2004: *Iberia, Hispania, Spania. Una mirada desde Ilici*, Alicante.

- Ibarra y Manzoni, A., 1981: *Illici, su situación y antigüedades*, Instituto de Estudios Alicantinos, Diputación Provincial de Alicante, Serie II, 14, 320 págs. (Reproducción facsímil de la edición de Establecimiento Tipográfico de Antonio Reus, Alicante, 1879).
- Lara Vives, G., 2005: *El culto a Juno en Ilici y sus evidencias*, Villena.
- Lorenzo de San Román, R., 2004-2005: "La basilica-sinagoga de l'Alcúdia d'Elx (1905-2005). Problemes i estat de la qüestió 100 anys després", *Lucentum* 23-24, 127-156.
- Lorenzo de San Román, R., 2006: *L'Alcúdia d'Elx a l'Antiguitat tardana. Anàlisi historiogràfica i arqueològica de l'Ilici dels segles V-VIII*, Alicante.
- Llorens, M. M., 1987: *La ceca de Ilici*, Valencia.
- Márquez Villora, J. C., 1999: *El comercio romano en el Portus Ilicitanus. El abastecimiento exterior de productos alimentarios (siglos I a. C. - V d. C.)*, Alicante.
- Márquez Villora, J. C.- Molina Vidal, J., 2001: *El comercio en el territorio de Ilici. Epigrafía, importación de alimentos y relación con los mercados mediterráneos*, Alicante.
- Márquez Villora, J. C.- Poveda Navarro, A., 2000: "Espacio religioso y cultura material en Ilici (SS. IV-VII d. C.)", *V Reunión d'Arqueologia Cristiana Hispànica (Cartagena, 1998)*, Barcelona, 185-198.
- Mayer, M. - Olesti, O., 2001: "La sortitio de Ilici. Del documento epigráfico al paisaje histórico", *DHA* 27, 109-130.
- Márquez Villora, J.C.; Molina Vidal, J.; Sánchez Fernández, M. J., 1999: "La factoría de salazones del Portus Ilicitanus (Santa Pola, Alicante). Nuevos descubrimientos y estado de la cuestión", *Actas del XXV Congreso Nacional de Arqueología* (Valencia, febrero de 1999), 360-364.
- Molina Vidal J.; Poveda Navarro, A. M., 1997: "Nivel de abandono de un sector del foro de Ilici", *Actas del XXIII Congreso Nacional de Arqueología*, Vol. 1., 141-154.
- Molina Vidal, J., 2005: "La cetaria de Picola y la evolución del Portus Ilicitanus (Santa Pola, España)", *III Congreso Internacional de Estudios Históricos. El Mediterráneo: la cultura del mar y la sal* (Santa Pola, 24 al 27 de octubre de 2004) (Molina Vidal, J.- Sánchez Fernández, M<sup>a</sup> J. Eds.), Santa Pola, 110-145.
- Molina Vidal, J., 2012: "La Cetaria bajo imperial de Picola (Santa Pola, Alicante)", *Santa Pola, arqueología y museo: Museos municipales en el MARQ*, 138-141.
- Molina Vidal, J., 2015: "Poblamiento rural en el territorium de Ilici: la granja romana del Cabezo-Clot de Galvany (Elx, Alacant)". *Saguntum* 47, 105 - 120.
- Moratalla Jávega, J., 1996: "Explotación agropecuaria en época ibérica en torno a La Alcudia (Elche): el instrumental", *XXIII Congreso Nacional de Arqueología* (Elche, 1995), vol. I, Elche, 369-376.
- Moratalla Jávega, J., 2001: "Restos de catastros romanos en el Medio Vinalopó y unos apuntes sobre Aspis", *Alquibla, Revista de Investigación del Bajo Segura* 7, Escuela Politécnica Superior de Orihuela-Instituto Universitario de Geografía, Orihuela, 551-579.
- Olmos, R. - Tortosa, T., 1997: *La Dama de Elche. Lecturas desde la diversidad*, col. Lynx 2, Madrid.
- Poveda, A., 2000: "El obispado de Ilici, Los orígenes del Cristianismo en Valencia y su entorno". *Grandes Temas Arqueológicos* 2, 85-92.
- Ramallo, S. - Vizcaino, J., 2002: "Bizantinos en Hispania. Un problema en la arqueología española", *Archivo Español de Arqueología* 75, 313-332.
- Ramos Fernández, R., 1975: *La ciudad romana de Ilici*, Alicante.
- Ramos Fernández, R., 1983a: "Estratigrafía del sector 5-F de La Alcudia de Elche", *Lucentum* 2, 147-172.
- Ramos Fernández, R., 1991: *El yacimiento arqueológico de La Alcudia de Elche, Consell Valencià de Cultura, Serie Minor 1*, Valencia.
- Ramos Fernández, R., 1995: *El templo ibérico de La Alcudia. La Dama de Elche*, Elche.
- Ramos Fernández, R.- Uroz Sáez, J., 1992: "Ilici", *Dialoghi di Archeologia* 1-2, 95-104.
- Ramos Fernández, R - Ramos Molina, A., 2007: "Las termas orientales de Ilici", *Caesaraugusta* 78, 545-554.
- Ramos Folqués, A., 1947: "La Dama de Elche. Datos para su cronología. El problema del nivel arqueológico de su hallazgo", *III Congreso Arqueológico del Sudeste Español*, Cartagena, 153-158.
- Ramos Folqués, A., 1966: "Estratigrafía de La Alcudia de Elche", *Saitabi* XVI, 71-76.
- Ramos Folqués, A., 1990: "Cerámica ibérica de la Alcudia (Elche, Alicante)", Alicante.
- Ramos Molina, A., 2000: *La escultura ibérica en el Bajo Vinalopó y el Bajo Segura*. Institut Municipal de Cultura, Ajuntament d'Elx, Elche.
- Ramos Molina, A.- Tintero Porras, M., 2000: "Dos nuevos conjuntos termales en Ilici (La Alcudia, Elche)", *II Coloquio Internacional de Arqueología de Gijón, Termas Romanas en el occidente del Imperio* (Fernández Ochoa, C. y García Entero, V. eds.), Gijón, 245-250.

- Reynolds, P., 1993: *Settlement and Pottery in the Vinalopó Valley (Alicante, Spain) A. D. 400-700*, BAR, Int. Ser. 588, Oxford, 9-43.
- Rovira, S., 2007 (coord.): *La Dama de Elche*, Madrid.
- Ruiz Roig, E. 2001: *Los mosaicos de Illici y del Portus Illicitanus*. Consell Valencià de Cultura, València.
- Sala Sellés, F., 1992: *La tienda del alfarero del yacimiento de la Alcudía*, Alicante.

## 2. Objetivos concretos e interés del proyecto con resultados

A partir de los antecedentes y el estado de la investigación que hemos descrito se puede observar que nos hallamos en un sector (F7) en el que el estado de conocimiento de los restos es, según indican los directores de las intervenciones y personal que ha publicado los resultados, parcial, inconcluso y en proceso de estudio. De hecho, la información publicada ofrece una serie de puntos oscuros que han servido de base para orientar nuestro programa de excavaciones con el fin de concluir el análisis y estudio del conjunto. Por otra parte, en La Alcudia de Elche se han ido arrastrando una serie de tesis básicas fruto de la estratigrafía construida por A. Ramos Folqués que ofrece muchas dudas y que debe ser revisada, o sustituida por un nuevo panel de hipótesis y de parámetros de referencia contruidos a partir de las nuevas técnicas y perspectivas de la investigación. En función de ese estado inacabado de las investigaciones planteamos algunos de nuestros objetivos:

- Objetivos concretos relacionado con el conjunto de las Termas Orientales:

Determinar la planta completa del conjunto termal en función de su secuencia evolutiva	Se ha completado en sus lados meridional y occidental
Datar de forma precisa los niveles constructivos y las fases de ocupación	Se ha fijado la etapa principal constructiva a finales del siglo I d.C.
Consolidar todas las estructuras exhumadas en estas intervenciones permitiendo su presentación a los visitantes de forma comprensible	Se han protegido para su puesta en valor a falta de concluir las excavaciones de este sector

- Objetivos relacionados con el análisis arqueológico del yacimiento arqueológico de La Alcudia de Elche:

Documentar la secuencia estratigráfica completa del conjunto para proporcionar nuevas hipótesis y	La actuación en el extremo occidental, con niveles de calle, y en la cimentación de las termas han precisado los límites
---	--

parámetros interpretativos.	cronológicos del conjunto
Establecer las principales fases constructivas del conjunto y de La Alcudia, revisando el análisis e interpretación de la evolución histórica del conjunto.	Se han determinado, al menos, cuatro grandes fases constructivas y de ocupación.
Iniciar la comprensión del conjunto en la trama urbanística general: viales y áreas aledañas del conjunto termal, con el fin de planificar futuras intervenciones en las áreas aledañas	Se ha determinado la existencia de un eje viario principal que conecta con las excavaciones del sector 5F.

- Proyección social del yacimiento de La Alcudia:

Difundir los nuevos descubrimientos entre la sociedad ofreciendo nuevas perspectivas	Web propia y Facebook
Relativizar la obsesiva dependencia social, que no científica, del “mito de la Dama de Elche”, como único e irrepetible hito de referencia de la arqueología ilicitana	
Construir un programa de concienciación y sensibilización social del patrimonio histórico de La Alcudia de Elche sobre nuevos parámetros y bases interpretativos	

**Interés del proyecto:**

- **Interés científico.** ¿Cómo se puede comprender la arqueología de Hispania suroriental sin información fiable y actualizada de la colonia de referencia de la

región, sin Ilici? Más allá del interés local, desde el punto de vista científico, la paralización de las excavaciones en La Alcudia bloquea el progreso de las investigaciones sobre la Historia romana en este ámbito. Por ello ha sido fundamental reemprender un programa de excavaciones apoyándose, de forma adicional, en el conjunto de nuevas técnicas y metodologías que permitirán avanzar en el conocimiento científico.

- **Interés patrimonial.** La Alcudia de Elche constituye el principal conjunto arqueológico y patrimonial de carácter público de La Comunidad valenciana sin excavar. Contrariamente a lo que se pueda pensar el yacimiento se encuentra en buena parte por descubrir. No son muchas las colonias romanas de las que aún se desconoce la ubicación del foro, o de la que se tenga una secuencia estratigráfica fiable, o lo que es más curioso en la que no se hubieran proyectado intervenciones arqueológicas sistemáticas en los últimos veinte años.
- **Interés pedagógico y formativo.** La Universidad de Alicante, como propietaria del yacimiento, tiene como función preferente la utilización de este recinto arqueológico como laboratorio de prácticas, ámbito docente o espacio de experimentación. Por ello en la campaña 2017 hemos incorporado cinco alumnas/os de master y más de treinta estudiantes de grado. Además se ha constituido un equipo de excavación principalmente constituido por alumnado universitario y egresadas/os con el fin de crear un vínculo científico, pero también social con la comunidad científica y profesional.
- **Interés social.** El fin último de toda actuación científica es la sociedad. En el caso de la arqueología esto no es solo una frase pues, a parte de los resultados de la investigación básica en ocasiones de consumo interno, las excavaciones generan restos patrimoniales, interpretaciones de carácter histórico, elementos de carácter identitario y, en general, resultados tangibles para la sociedad. Por ello creemos que una dimensión fundamental de este proyecto es la socialización del conocimiento, la divulgación de sus resultados.
- **Interés estratégico.** Uno de los elementos básicos de la investigación actual es la financiación de la ciencia. En el caso de las actuaciones arqueológicas regulares la financiación proviene preferentemente de los sectores públicos, pero se deben promocionar los canales de financiación privados vía mecenazgo. Pero si no se

ofrecen resultados previos y se impacta en la opinión pública es difícil conseguir generar una dinámica favorable a la financiación externa. Por ello consideramos necesario desarrollar proyectos arqueológicos que abran nuevas perspectivas arqueológicas y patrimoniales.

En resumen, son muchas las razones para impulsar este proyecto pero si hubiéramos de sintetizar las líneas básicas de este programa de actuaciones podríamos señalar cuatro ejes fundamentales:

- **Austeridad.** Al amparo de las múltiples burbujas que han afectado a la sociedad española en las últimas décadas se ha desarrollado un modelo de intervención arqueológica y de gestión del patrimonio acorde con esa embriaguez de recursos. Pero ese tiempo ha acabado y es necesario recuperar un **modelo de gestión del patrimonio mucho más austero**, sobre todo por responsabilidad social. Por ello planteamos tipos de actuación que reduzcan los presupuestos, que eviten las cadenas de subcontratas, que prioricen la **gestión directa**, que huyan del empleo de materiales costosos, poniendo en primer plano la necesidad de socializar el conocimiento y de sensibilizar a la sociedad frente a los proyectos faraónicos. Este planteamiento de gestión del patrimonio lo hemos aplicados en la Villa Romana de l'Albir, primer museo al aire libre de la Comunidad Valenciana desarrollado con fondos públicos pero con presupuestos muy ajustados, reduciendo los márgenes y la participación de las empresas externas y, por tanto, haciendo viable un proyecto a partir de la gestión directa de los recursos.
- **Socialización del conocimiento.** Todas las actuaciones científicas, y en el caso de un yacimiento arqueológico de propiedad y gestión pública como el de La Alcudia mucho más, deben estar orientadas a hacer que la parte fundamental de las **actuaciones reviertan en la sociedad** (acciones en RRSS, exposiciones, jornadas de puertas abiertas, publicaciones científicas y divulgativas, sesiones de virtualización, etc.). Por ello, el objetivo fundamental de este proyecto se centra en último término en la necesidad de socializar el conocimiento a través de las TIC.
- Incorporación de la **Arqueología Virtual** al ámbito de la excavación, la consolidación y la divulgación del patrimonio. La arqueología está disfrutando de



un cambio técnico y metodológico que ha de ser incorporado en las actuaciones arqueológicas, especialmente las de carácter estrictamente científico y universitario. En la Universidad de Alicante hemos constituido el grupo **Patrimonio Virtual** referente internacional en proyectos y docencia universitaria de Arqueología y Restauración Virtual. Por ello es necesario incorporar todo este nuevo universo técnico para impulsar el rigor del registro, la fiabilidad de las actuaciones y el impacto social de los resultados.

- **Desarrollo del conocimiento abierto.** La razón fundamental de una actuación arqueológica siempre es profundizar el conocimiento histórico. Por ello nuestro objetivo fundamental siempre será generar un registro **fiable, riguroso y contrastable**. Por esta razón desarrollaremos un plan de publicaciones que incluya el acceso libre a los **metadatos y los parámetros** en el RUA, con el fin de hacer más transparente la actuación científica que llevamos a cabo.

## 4. Proyección social, divulgación y redes sociales

Los medios de comunicación generalistas, prensa, televisión y radio, no han mostrado nunca interés por la divulgación de las ciencias en general y de la arqueología en particular. Además, la necesidad de noticias llamativas y de titulares espectaculares, motivados por la necesidad de competir y basados en el esquema informativo de la pirámide invertida, ha desvirtuado muchas veces las acciones de divulgación de los procesos y proyectos de investigación. Sin embargo, la comunicación rigurosa dirigida a la sociedad para informarla y hacerla partícipe de los procesos y los resultados de los proyectos no solo son acciones deseables sino que están recogidas en diferentes normativas, nacionales y autonómicas, de carácter legal.

Con la voluntad de devolverle a la sociedad aquello que en realidad le pertenece, se ha desarrollado un plan de comunicación, acorde con las dimensiones del proyecto y con los nuevos tiempos que requieren una divulgación dentro del ecosistema digital de Internet, sin renunciar a los medios convencionales.

Hemos partido de un eje de comunicación basado en una página web propia del proyecto<sup>1</sup>, integrada en la página oficial del grupo Patrimonio Virtual de la Universidad de Alicante, donde se ofrecen los contenidos generales y la información sobre la intervención (Figura 1).



Página web del proyecto.

---

<sup>1</sup> <https://www.patrimoniovirtual.com/proyecto-la-alcudia-elche/>

Paralelamente, se ha creado una página en la plataforma Facebook<sup>2</sup> usada como medio digital propio que se ha orientado a dinamizar las actividades diarias y a la creación de una comunidad de seguidores que nos ha permitido medir el impacto social del proyecto (Figura 2).



Página de Facebook del proyecto

La página se creó el 22 de diciembre de 2016, varios meses antes de la intervención, y se empezaron a publicar contenidos sobre la planificación de la campaña. El objetivo final de todas estas acciones ha sido visibilizar el proyecto y buscar la complicidad de las personas a través de una información atractiva y de calidad que generase una opinión pública favorable.

Una segunda acción se realizó a través de la Unidad de Comunicación de la UA facilitándoles fotografías, vídeos y modelos virtuales 3D, para que los técnicos de la Unidad publicasen contenidos en la página web oficial de la Universidad de Alicante.

La tercera acción del plan fue establecer contacto con el diario *Información* para informarles del proyecto y facilitarles la documentación relevante que permitiese publicar, al menos, dos reportajes amplios y una portada.

La campaña de comunicación se llevó a cabo durante el mes que duró la intervención arqueológica y obtuvo una importante repercusión social. Los aspectos cuantitativos de este impacto se resumen en los siguientes puntos:

---

<sup>2</sup> <https://www.facebook.com/proyectoalcudia/>

1. La página web oficial de la Universidad de Alicante publicó un contenido de texto y fotografías titulado: *Más de doscientos estudiantes participan en el Plan de socialización del conocimiento del Proyecto ASTERO "La Alcudia se excava"*<sup>3</sup> que obtuvo un total de 858 visitas, según la herramienta de análisis de la propia web (Figura 3).

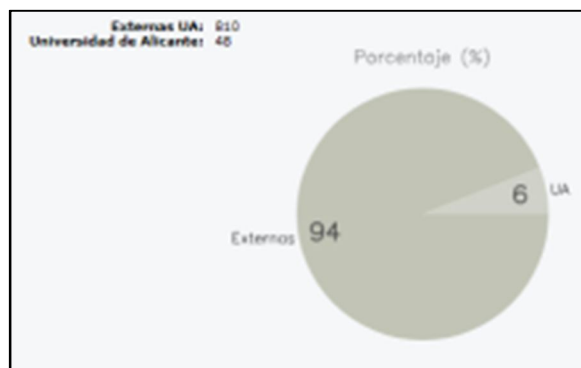


Gráfico de visitas en la web-UA

2. El diario *Información* de Alicante que, según los datos del EGM de 2017, tiene 190.000 lectores por día, a los que hay que sumar 238.000 usuarios diarios de la edición digital<sup>4</sup>, publicó un amplio reportaje a doble página el domingo 12 de marzo de 2017, sobre la intervención arqueológica al inicio de la campaña. Además, también dedicó la portada del mismo día, incluida una fotografía en color de media página. La publicación se realizó tanto en su edición en papel como en su versión digital (Figura 4).



<sup>3</sup> <https://web.ua.es/es/actualidad-universitaria/2017/marzo17/27-31/mas-de-doscientos-estudiantes-participan-en-el-plan-de-socializacion-del-conocimiento-del-proyecto-astero-la-alcudia-se-excava.html>

<sup>4</sup> <http://www.diarioinformacion.com/alicante/2018/04/22/allicantinos-aumentan-confianza-informacion/2012047.html>

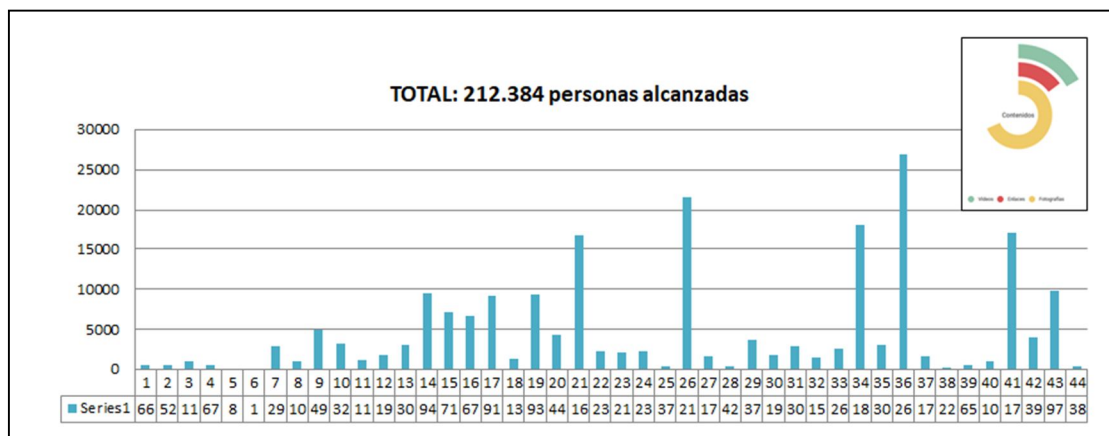
Portada y reportaje a doble página en el diario Información

- El mismo diario *Información* publicó un nuevo reportaje sobre el proyecto, abriendo la sección de Cultura y Sociedad, a página completa y en color. Este nuevo reportaje se publicó el 12 de abril, coincidiendo con el final de la campaña, y apareció en la edición en papel y en la versión digital (Figura 5).



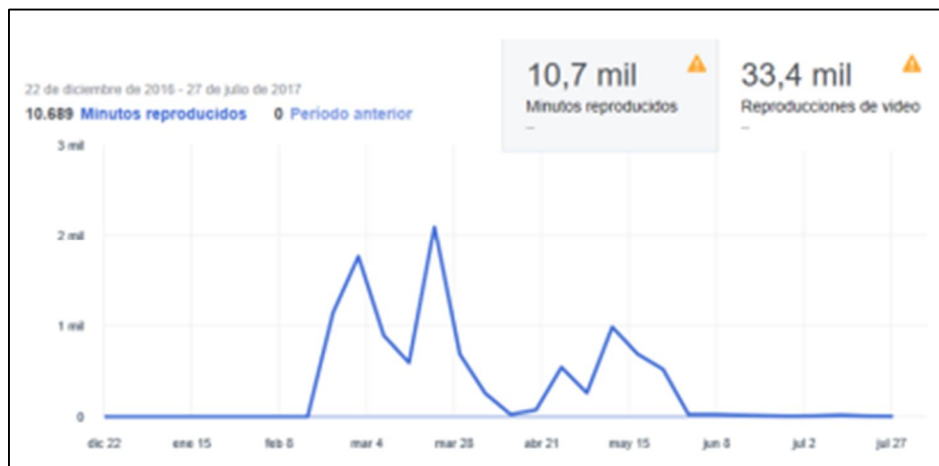
Reportaje en la sección Cultura y Sociedad del diario Información

- Para la divulgación en redes sociales elaboramos un total de 44 contenidos diferentes, 27 de contenido fotográfico, 8 con enlaces a otros medios y 9 audiovisuales. Esta actividad tuvo un alcance total de 212.384 personas (Figura 6).



#### Alcance por contenidos

Los contenidos audiovisuales fueron reproducidos 33.400 veces por los usuarios que accedieron a ellos, repartidos entre los meses de marzo a junio (Figura 7).

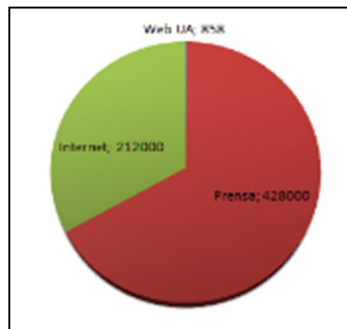


#### Número de veces que fueron vistos los audiovisuales

En base a estos resultados podemos alcanzar las siguientes conclusiones (Figura 8):

- a) La prensa escrita tradicional que ha complementado su tirada en papel con las ediciones digitales supone un importante medio de difusión del patrimonio cultural del que no se debe prescindir.
- b) El uso profesional de redes sociales como Facebook las convierte en medios propios con un alto potencial para la difusión del patrimonio cultural. Las campañas planificadas consiguen una penetración muy importante en segmentos amplios de la sociedad a un coste relativamente bajo.
- c) Las páginas web corporativas de las instituciones académicas carecen de eficacia para la divulgación del patrimonio cultural, pese a contar con un elevado número de visitantes. Sin embargo, funcionan como un buen canal de comunicación interna de la propia institución.





Impacto social de la difusión del proyecto

Finalmente habría que destacar el desarrollo de un programa de socialización del conocimiento relacionado con la participación de alumnado del CEIP San Fernando y el IES Sixto Marco de Elche tanto en las excavaciones como en la creación del proyecto de realidad virtual (RV) de las termas.



## 5. Hipótesis de partida

Para alcanzar dichos objetivos centraremos nuestras excavaciones en los escasos espacios del conjunto termal que aún no han sido excavados, especialmente en su parte noroccidental (ver anexo de documentación gráfica). Habremos de revisar la documentación existente pero creemos que es necesario plantear la intervención como si se tratase de una excavación nueva para no asumir hipótesis previas o construirlas con prejuicios que podrían desviar nuestra atención de las novedades aportadas por la excavación.

### 5.1. Hipótesis Generales

Nuestra dilatada trayectoria científica respecto a la **arqueología romana** en concreto, y antigua en general, contiene múltiples referencias a los problemas e incertidumbres básicas de la investigación al respecto. De todas formas apuntamos algunas líneas generales:

- La estratigrafía tradicional de La Alcudia de Elche debe ser revisada y muy probablemente corregida
- A la luz de la bibliografía científica general, habría que cuestionar o al menos revisar la propuesta tradicional de invasiones en la ciudad romana de *Ilici*
- Solo una excavación sistemática y estratigráfica de determinados contextos podría darnos información sobre los inicios de las fases de abandono o declive de las funciones administrativas tradicionales.

### 5.2. Hipótesis concretas

Del cotejo inicial y previo de la documentación existente y de la lectura precisa de los dos artículos publicados por el equipo arqueológico que excavo parte de este conjunto



termal se extraen una serie de conclusiones que pueden sustentar hipótesis complementarias:

- Existen fases constructivas y de ocupación que no han podido ser determinadas en investigaciones anteriores. A modo de hipótesis se detectan dos fases principales constructivas con sus consiguientes fases refacción y amortización cuya cronología podría estar marcada por las épocas alto y bajoimperial.
- Parecería que el uso termal del conjunto se circunscribiría a la época altoimperial
- En las fases en las que el conjunto termal está en uso se observan al menos tres fases de reformas
- Los mosaicos hallados en la entrada del conjunto termal no parecen ser de la fase fundacional

## 6. Metodología y plan de trabajo

Más allá de las particularidades propias de cada equipo creemos que sería necesario coordinar una serie de elementos básicos en la metodología arqueológica con el fin de hacer compatibles y contrastables los resultados de las investigaciones: registro de unidades, sistema informático de inventario y bases de datos, formas de acometer la consolidación de estructuras y taludes o la trazabilidad del registro y transparencia. Por nuestra parte la metodología arqueológica que proponemos seguiría las siguientes líneas básicas:

1. **Estudio previo** y planificación de las actuaciones del conjunto arqueológico denominado Termas Orientales: fases de intervención a medio y largo plazo
2. Intervención arqueológica en área abierta siguiendo el sistema de excavación **Harris-Carandini**
3. Utilización del **GPS diferencial** y posicionamiento satelital para ubicación de estructuras con georreferenciación
4. Utilización de **estación total** y niveles para el detalle de las estructuras
5. Registro gráfico combinado de **georreferenciación y fotogrametría digital** avanzada
6. **Levantamiento planimétrico 2D** a partir de la documentación métrica de cartografía CAD 2D: plantas, secciones y alzados
7. Registro de **unidades**
8. **Escaneado** de detalles constructivos
9. **Documentación fotográfica** del proceso de excavación
  - Estado de conservación previo a la intervención
  - Documentación del proceso de intervención
  - Documentación final
10. **Documentación fotográfica específica** para la obtención de:
  - Modelo 3D del conjunto arqueológico.
  - Documentación y productos derivados: ortoimágenes (plantas y alzados) y secciones.
11. Realización de **informes** previos y finales

## 12. Publicación y difusión

### Plan de trabajo

Las actuaciones de todos los equipos de investigación han quedado enmarcadas por unas **líneas generales** consensuadas, únicas y de obligado cumplimiento para poder homogenizar los resultados de las excavaciones en La Alcudia de Elche. Se han acordado unos parámetros mínimos de registro: fichas UE, denominaciones, soporte informático, técnicas homogéneas de consolidación y protección, imagen corporativa, etc.

Concepto	Detalle de las actuaciones	Periodo de realización: VII/2016-VII/2017
1. Plan de excavaciones	Estudio previo de la documentación existente	Septiembre 2016-enero 2017
	Intervención arqueológica	27 de febrero y el 7 de abril de 2017
	Elaboración de inventarios clasificados	Mayo-junio 2017
	Elaboración de memorias arqueológicas	Noviembre 2017-abril 2018
	Análisis interpretativo	Noviembre 2017-abril 2018
2. Plan de consolidación y preservación	Consolidación de estructuras	Marzo-abril 2017
	Limpieza y consolidación de restos muebles	Equipo restauración Fundación de La Alcudia
	Protección de márgenes	Marzo-mayo 2017

## 7. Sector oriental: Ambientes 25, 28, 29 y 30

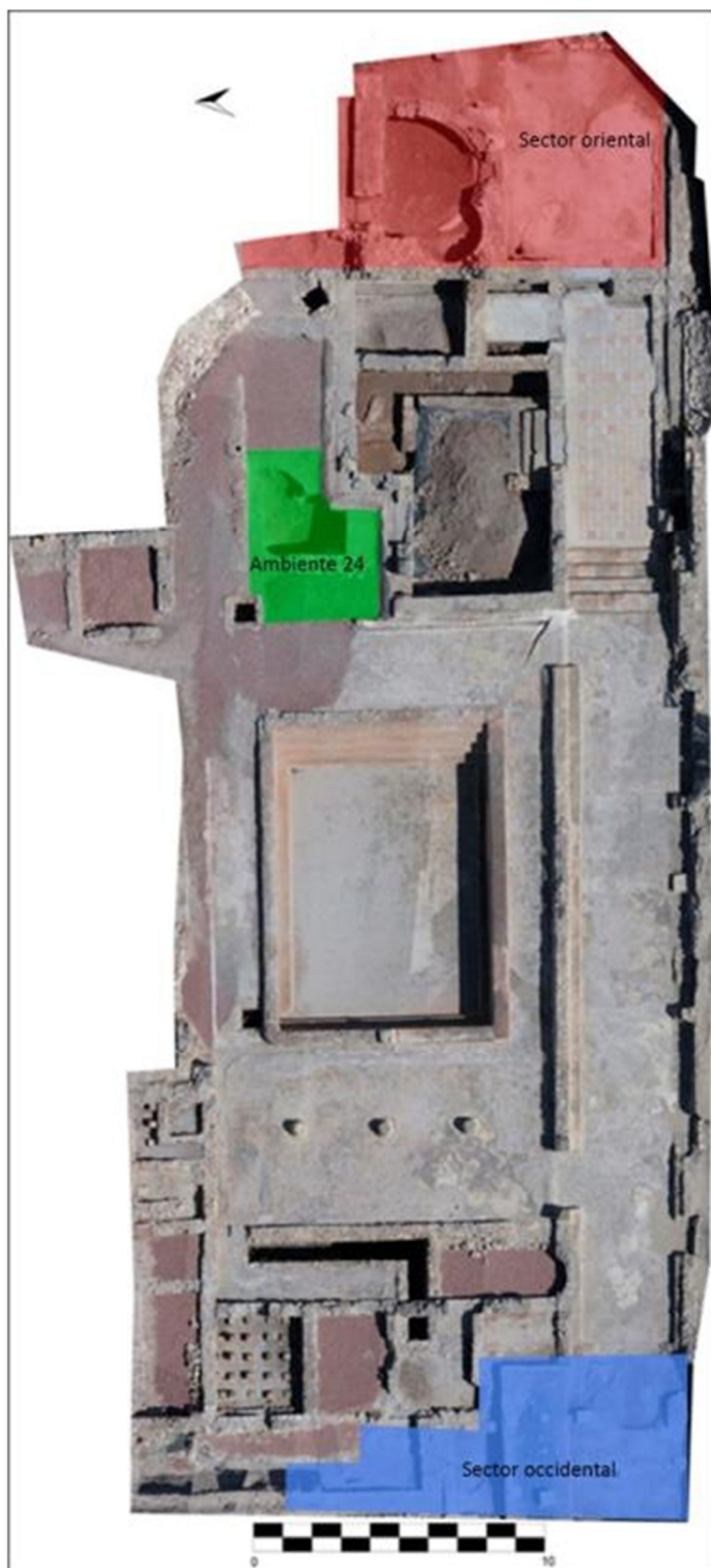


Fig. 1. Planta de las Termas Orientales con el Corte Este marcado en rojo

En las campañas arqueológicas precedentes, desarrolladas entre los años 1998 y 2001, los límites de las áreas exhumadas no alcanzaron el perímetro del complejo termal. En el caso del extremo E el límite quedó fijado en un conjunto de estructuras de orientación N-S: los muros de **UUEE 3304** y **3214** y el umbral de **UE 3215**.



*Fig. 2. Vista final del extremo E del sector 7F tras las campañas 1998-2002*

Tras la campaña de 2001 se llevó a cabo una restauración parcial de los restos arqueológicos con el fin de incorporar este edificio a las áreas visitables del yacimiento. Rebasada la línea de estructuras que marcaban el extremo E, el perfil de la excavación quedó preservado bajo una malla metálica dispuesta en talud y cubierta con piedra y mortero.



*Fig. 3. Extremo E del Sector 7F tras su integración como área visitable*

La apertura de un nuevo corte en este extremo del yacimiento precisó la remoción del encapsulamiento del antiguo perfil para poder acceder a la franja de tendencia trapezoidal (14 x 8 m aproximadamente) situada al E de las estructuras de **UUEE 3304**, **3214** y **3215**. La excavación de esta superficie permitió documentar:

- **Sobre Ambientes 25, 28, 29 y 30.** Se trata del conjunto de estructuras y de paquetes estratigráficos documentados en los niveles superiores del Corte E, previamente a la identificación de Ambientes en su interior.
- **Ambiente 25.** Estancia cuadrangular situada inmediatamente al E del umbral de **UE 3215**.
- **Sobre Ambientes 28 y 29.** Niveles posteriores a la identificación del Ambiente 25 y previos a la separación de los Ambientes 28 y 29, a los que cubren.
- **Ambiente 28.** Estancia al N del Ambiente 25.
- **Ambiente 29.** Estancia al N del Amb. 28. Solo pudo ser parcialmente excavada.
- **Ambiente 30.** Posible estancia o corredor localizada en el extremo E del corte, al E del Ambiente 29.

#### **Sobre Ambientes 25, 28, 29 y 30**

La capa más superficial que detectamos -**UE 1**- se extiende por toda la superficie del corte. Está compuesta principalmente por tierra, piedras y grava, con una escasa presencia de materiales arqueológicos. Su cota superior oscila entre los 53'65 y los 53'58 m (s. n. m.), generando un nivel de tendencia horizontal.



*Fig.4. Vista inicial de la explanada sobre Amb. 25, 28, 29 y 30*





*Fig. 5. Vista en planta de UE 1 en el extremo SW del área situada sobre los Ambientes 25, 28, 29 y 30*

Tras su excavación identificamos varios conjuntos estratigráficos con entidad propia. Debido a ello -y en aras de facilitar su exposición- hemos optado por presentarlos de manera individualizada.

#### La fosa de UUEE 6 y 35

En el extremo SW de la explanada generada tras retirar la capa superficial **-UE 1-** hallamos una extensa mancha de tendencia semicircular, cuyo diámetro coincidía con el perfil de las campañas precedentes. De hecho, la sección de este paquete estratigráfico -al que asignamos la **UE 35-** era perfectamente visible en dicho perfil.

Con la remoción de este nuevo estrato **-UE 35-** fue caracterizado como una acumulación de tierra de tonalidad grisácea muy suelta y disgregada. Contenía una densidad media de piedras de tamaño variado y una escasa presencia de materiales arqueológicos. Según fuimos extrayéndolo observamos que adoptaba la forma de una sección de cono invertido, aunque seccionado en el perfil.

Esta **UE 35**, que estaba rellenando una gran fosa (**UE 6**) que recortaba a un amplio número de estructuras y estratos: **UUEE 3304, 53, 47, 46, 24 y 94**. Este conjunto de

UUEE pertenecen a los Ambientes 1, 25 y a Sobre los Ambientes 25, 28, 29 y 30, por lo que serán descritas adecuadamente en el apartado correspondiente.

El análisis en conjunto de la fosa **UE 6**, de su relleno **UE 35** y de los distintos estratos afectados por ella nos llevó a deducir que tiene su origen en un sondeo mecánico realizado en la parcela en algún momento anterior al hallazgo de estas termas.



Fig. 6. Alzado del perfil E: UE 53, interfaz UE 6 y su relleno UE 35

El tramo de red hidráulica de GU 23 y las UUEE próximas



Fig. 7. Planta con la ubicación de la acequia GU 23 y de las UUEE más cercanas



La retirada de la **UE 1** también nos llevó a registrar un conjunto de estructuras que englobamos en el Grupo de Unidades (**GU**) **23**. Forman parte de un tramo de red hidráulica. La parte mejor conservada presenta un trazado ligeramente curvo, con una orientación NE-SW. Está integrada por las siguientes UUEE:

- **UE 42.** Muro de mortero de cal que constituye el extremo W del canal. Su anchura, de 0'12 m, se mantiene constante a lo largo de los 6 m de recorrido que conserva. Tampoco mantendría su alzado original, ya que alcanza únicamente los 0'44 m.
- **UE 43.** En paralelo al muro de **UE 42**, a 0'4 m de distancia al E del mismo, encontramos otro muro de idéntica composición, anchura y orientación. Se trata del extremo opuesto del canal que, en este caso, conserva 5'7 m de longitud y 0'29 m de altura.
- **UE 40.** Bloque de piedra de base cuadrada (0'13 m de lado), donde 0'13 m de su alzado están enterrados y los 0'28 restantes en superficie. El muro de **UE 42** se apoya en su cara N. Su cara E tiene una hendidura longitudinal que permitiría deslizar una compuerta. Se trata de una de las piezas de un partidor de agua.
- **UE 47.** Tramo de muro de cal que continúa el trazado de **UE 42** a partir de la cara S de **UE 47**. Únicamente conserva 0'84 m de longitud.
- **UE 46.** Tramo de muro de cal paralelo a **UE 47**. Continúa el trazado del muro de **UE 43** en dirección SE.
- **UE 41.** Laja de piedra de 0'15 x 0'33 m que se adosa a la cara E del bloque de **UE 40**. Se trata del fondo del partidor de agua de este canal.



*Fig. 8. Vista de la acequia de GU 23 con la ubicación de las principales UUEE que la componen*

En el extremo SE de esta canalización encontramos parte de otro brazal, compuesto por:

- **UE 38.** Bloque de piedra cuadrangular cuya base mide 0'08 x 0'14 m. De sus 0'33 m de alzado solo 0'19 rebasan la línea del suelo. Su cara S está surcada por una muesca longitudinal que permita deslizar una compuerta. Estamos por tanto ante una de las piezas de un partidor de agua.
- **UE 37.** Bloque de piedra enfrentado a UE 38 y de características similares. Sus dimensiones varían ligeramente, con una base de 0'14 x 0'12 m y con 0'22 m de su alzado sobre el nivel del suelo. En este caso, es su cara N la que cuenta con una muesca para alojar la compuerta.
- **UE 39.** Laja de piedra de 0'23 x 0'45 m que se apoya en las caras internas de los bloques de piedra **UUEE 38 y 37**, dando lugar al fondo del partidor de agua.
- **UE 45.** Muro de mortero de cal que se adosa a la cara E de la UE 38. Únicamente conserva 0'17 m de su trazado, orientado en sentido W-E.
- **UE 44.** Muro de mortero de cal paralelo a UE 45, con el que comparte orientación. Se adosa a la cara E de **UE 37**, a partir de la cual mantiene 0'16 m de su trazado.

Los dos brazales de la canalización de agua están excavados en **UE 53**, un estrato de tierra de tonalidad castaño-anaranjada y de tendencia horizontal situado bajo **UE 1** que abarca toda la superficie del corte. Fue interpretada como el suelo agrícola asociado al canal de riego de **UE 23**.

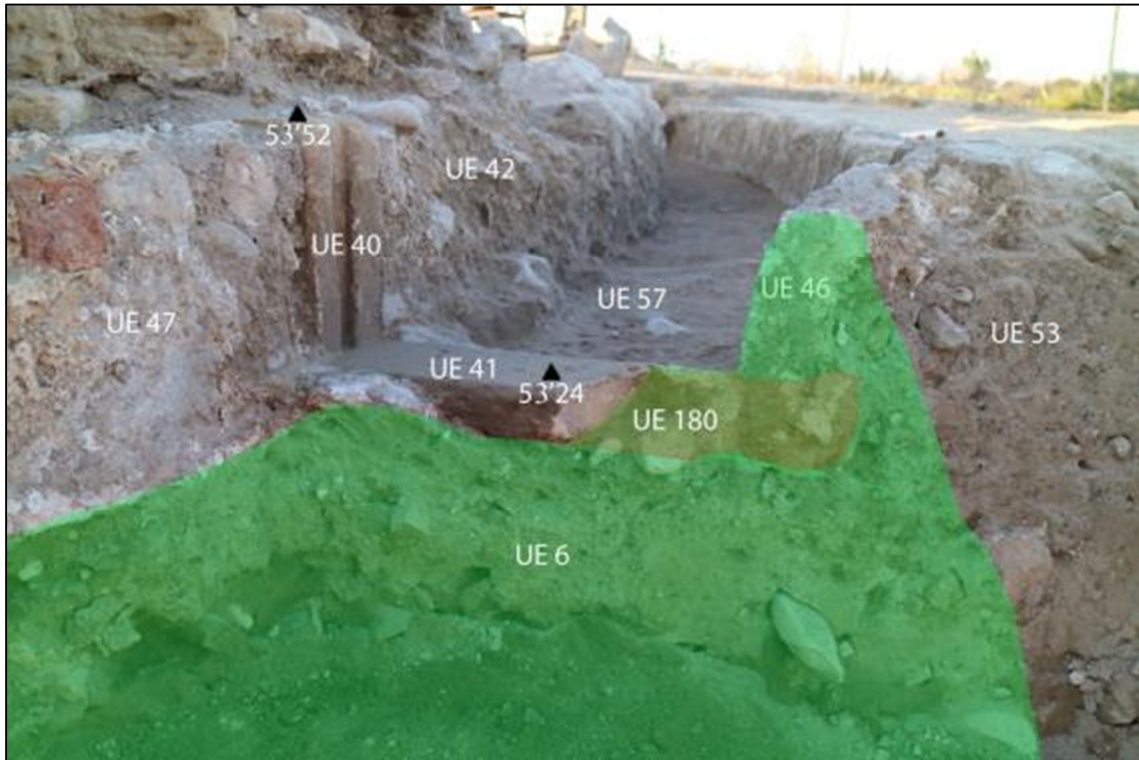


*Fig.9. Vista en detalle de las principales UUEE que forman parte de la acequia*

Hemos asignado la **UE 57** a la interfaz del fondo del canal. Del mismo modo, hemos individualizado los tres orificios practicados para fijar los partidores: las fosas de **UUEE 61, 62 y 63** corresponden respectivamente a las piezas de partidor de **UUEE 37, 38 y 40**. Tanto el canal como sus muros se asientan en otro recorte, **UE 180**. La parte construida de esta conducción de agua se limita únicamente a sus muros y partidores, de tal modo que su fondo es el propio terreno recortado.

El canal estaba colmatado por un paquete de tierra disgregada de tonalidad grisácea, que corresponde a su abandono y amortización, registrada como **UE 24**.

El primer tramo de este canal fue cortado por la fosa de **UE 6**, que seccionaba claramente a los muros de **UUEE 46 y 47** así como a la colmatación del cauce -**UE 24**-En el perfil S de las Termas Orientales, perfectamente alineado con la **UE 23**, sobresalen unos restos pertenecientes a esta misma acequia. El espacio que dista entre ambos corresponde al trazado de la fosa de **UE 6**.



*Fig. 10. Vista de la acequia de GU 23 en la que se aprecia el corte que le practica el recorte de UE 6 (en verde). También es visible el recorte UE 180 (en rojo), practicado para asentar las estructuras del canal*

Han sido documentados otros tramos de canalizaciones morfológicamente idénticas a la que hemos agrupado como **UE 23** -caracterizadas por sus muros de mortero de cal y la ausencia de pavimento- en otros puntos de la parcela de La Alcudia. Gracias a ello y a los materiales presentes en su colmatación (**UE 24**) ha sido identificada como parte de la red de riego instalada en la finca a finales del siglo XIX.

Tras detallar las UUEE que conforman la acequia del siglo XIX proseguimos describiendo el resto de hallazgos realizados en esta zona bajo el nivel superficial. Detectamos los restos de una estructura de piedras, a la que identificamos como **UE 25**. Estaba construida parcialmente sobre el extremo N del muro de **UE 43** de la acequia, mientras que el resto de la misma se asienta directamente sobre el firme -**UE 53**-. Consta de tres piedras colocadas en sentido E-W y de una cuarta que cierra ligeramente su trazado en dirección S, por lo que dibuja una tendencia semicircular.

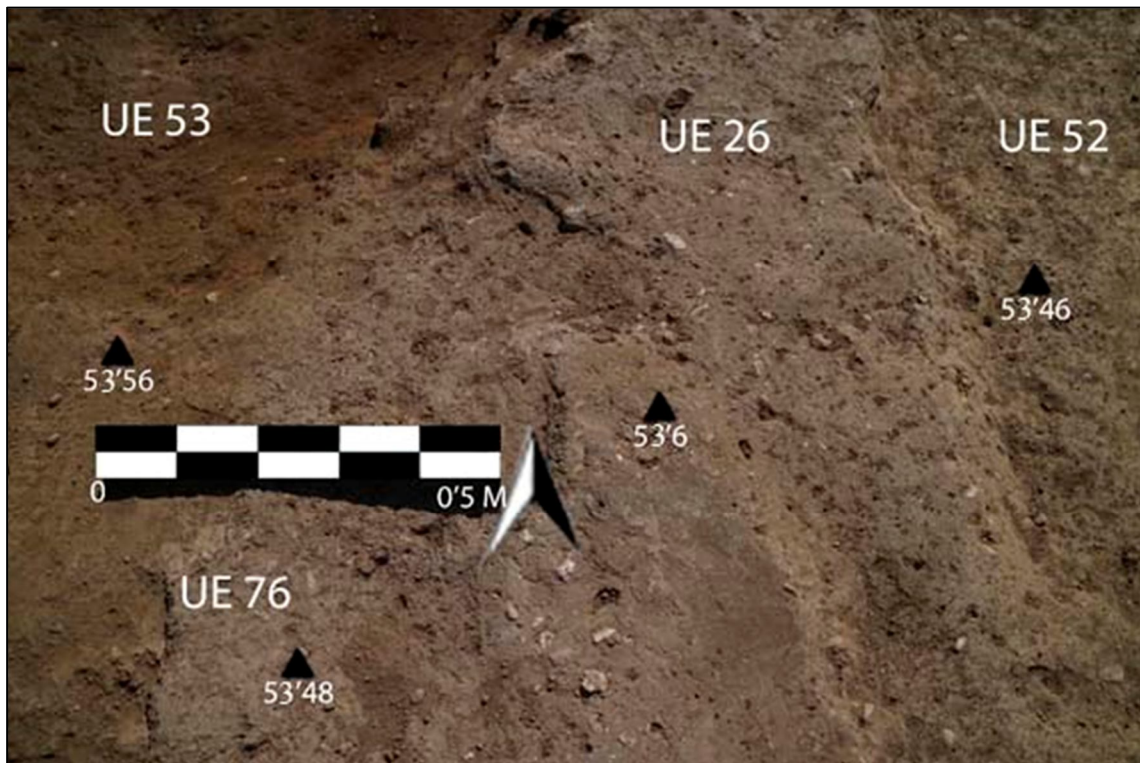


Tan solo a 0'50 m al E de la estructura indeterminada de **UE 25**, directamente sobre el firme -**UE 53**-, encontramos un nivel muy compacto de mortero de cal, de tendencia horizontal -**UE 26**-. Identificado como restos de un posible pavimento, únicamente se conservaba un tramo estrecho y alargado de aproximadamente 2 x 0'5 m cuya longitud máxima se situaba en el eje N-S.



*Fig. 11. Vista en detalle del tramo septentrional de la acequia de GU 23, donde se aprecia la ubicación de las UUEE 25 y 26*

También sobre el firme, junto a los restos del posible pavimento **UE 26**, documentamos unas manchas de tonalidad blanquecina, formada por tierra mezclada con cal disgregada. Son las **UUEE 76** y **52**, situadas respectivamente al S y al SE de **UE 26**. Consideramos que ambos estratos son la impronta del mismo nivel de pavimento de **UE 26**, ya perdido.



*Fig. 12. Vista en detalle de las UUEE 52, 76 y 26*

Una vez delimitados estos estratos procedimos a su excavación. Mientras que bajo **UUEE 26** y **76** hallamos directamente el nivel de suelo de **UE 53**, encontramos una situación diferente bajo **UE 52**. Efectivamente, comprobamos que bajo esta capa todavía no localizamos la **UE 53**, sino que en su lugar había un nivel de cenizas -**UE 50**- que rodeaba a una pequeña estructura cuadrangular de piedra que conservaba una única hilada de alzado -**UE 51**-.

El conjunto de UUEE que acabamos de describir presentaba un nivel de deterioro muy elevado ya en el momento de su descubrimiento, hecho que dificulta su interpretación. Desconocemos por tanto si los restos de pavimento de **UUEE 26, 52** y **76** pudieron formar parte de algún edificio. La estructura registrada como **UE 51** pudo ser la base de un pilar. Pero el hecho de que fuese hallada bajo **UE 52** -es decir, bajo el posible nivel de pavimento- implica que es anterior a este nivel de suelo. Lo único cierto es que, independientemente de su naturaleza, estos niveles parecen estar asociados a un momento en el que el firme -**UE 53**- no funciona ya como suelo agrícola.

Ni tan siquiera sabemos si la acequia **-UE 23-** seguía siendo funcional en este momento, pero lo cierto es que la estructura de **UE 25** sugiere, al menos, una amortización parcial de la misma.

#### Documentación y excavación de las últimas UUEE

Esta área a la que hemos llamado Sobre los Ambientes 25, 28, 29 y 30 presenta una amplia diversidad de intervenciones antrópicas que podemos ordenar de más reciente a más antigua, coincidiendo con el orden en el que fueron documentadas y excavadas:

- La fosa de **UUEE 6 y 35**. La acción más reciente entre las registradas no es otra que la realización de la fosa **UE 6** por medios mecánicos, cortando los estratos y estructuras ya enumeradas en el apartado correspondiente. La remoción de su relleno fue, por tanto, la primera tarea que acometimos en esta área.
- Nivel de UUEE posterior a la red hidráulica de **UE 23**. La amortización -al menos parcial- tanto del suelo de cultivo **-UE 53-** como de la acequia **-UE 23-** que detectamos respectivamente en los niveles de pavimento **UUEE 26, 52 y 76** y en la estructura **UE 25** indica que nuestro siguiente paso debía ser la documentación y excavación de estas últimas UUEE.
- El tramo de red hidráulica de **UE 23**. Una vez vaciamos el interior de la acequia y la registramos adecuadamente, procedimos a su desmonte.

De este modo obtuvimos una superficie expedita que estaba ocupada únicamente por la **UE 53**, el nivel agrícola asociado a la acequia de **UE 23**. Este estrato se caracterizaba por una escasa presencia de materiales arqueológicos.

Su exhumación sacó a la luz a un nuevo paquete, la **UE 56**. Se trata de un estrato de tonalidad parda y textura disgregada, con presencia de piedras, gravas y materiales arqueológicos. Adopta una tendencia horizontal salvo en la zona afectada por la fosa de **UE 6**, donde desciende en talud en sentido E-W.





Fig. 13. Planta estratigráfica inicial de la UE 56



Tras documentar el nivel superficial de esta **UE 56** se procedió a excavarla, lo que permitió identificar una serie de estratos y estructuras que posibilitaron individualizar al Ambiente 25.



*Fig. 14. Ubicación de las distintas UUEE registradas tras la remoción de UE 56*

A aproximadamente 1'8 m del extremo S del muro de **UE 3304** descubrimos la cresta de una nueva estructura, que traba con la anterior formando un ángulo recto. Aunque únicamente habíamos iniciado su limpieza superficial y excavación, ya pudimos identificar que se trataba de un nuevo muro -**UE 67**- que medía 2'2 m de longitud. Su anchura iba trazando una "C" en su cara interna, mientras que la externa se mantiene rigurosamente recta. A lo largo de su recorrido, pasando de 0'70 m en su punto intermedio -a la sazón el más estrecho- a 1'1 m en sus dos extremos. Dado que la morfología de este muro guarda relación directa con el Ambiente 28 postergamos su descripción detallada a este apartado. Del mismo modo, comprobamos que parte de la interfaz -**UE 57**- del fondo de la acequia de **UE 23** se situaba directamente sobre el muro de **UE 67**.

Inmediatamente al E del nuevo muro **UE 67** distinguimos una acumulación de piedras que coincidía en anchura con el tramo final del muro, extendiéndose a lo largo de 0'9 m. Fue denominada **UE 66**. Finalmente, detectamos una franja de textura arenosa, muy disgregada, que continuaba la misma orientación W-E de las **UUEE 66 y 67**: **UE 70**.

Establecimos que estas **UUEE -66, 67 y 70-** establecían una clara línea que separaba dos espacios: al S de la misma el Ambiente 25 y al N, el área a la que denominamos Sobre los Ambientes 28 y 29.

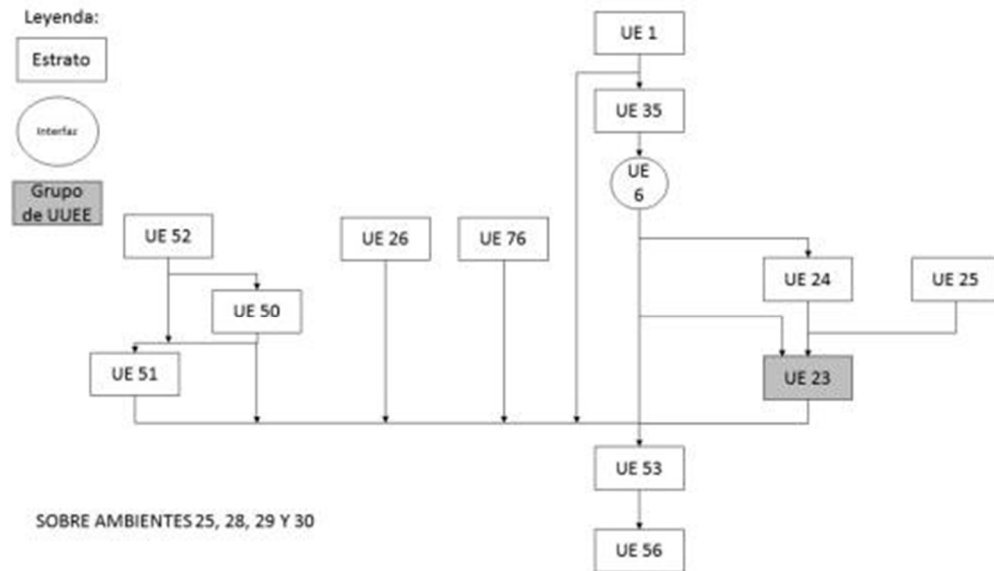


Fig. 15. Diagrama estratigráfico de los Ambientes 25, 28, 29 y 30

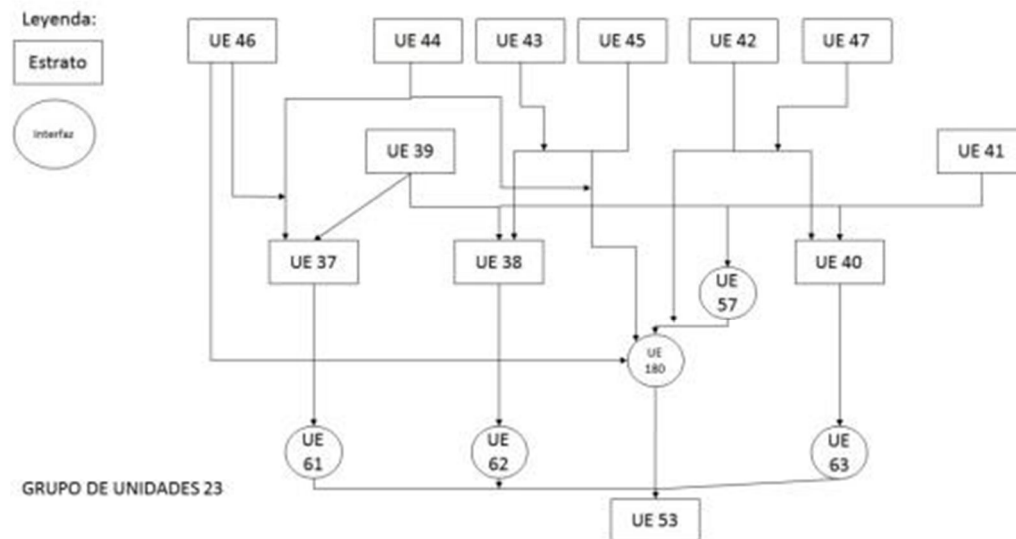
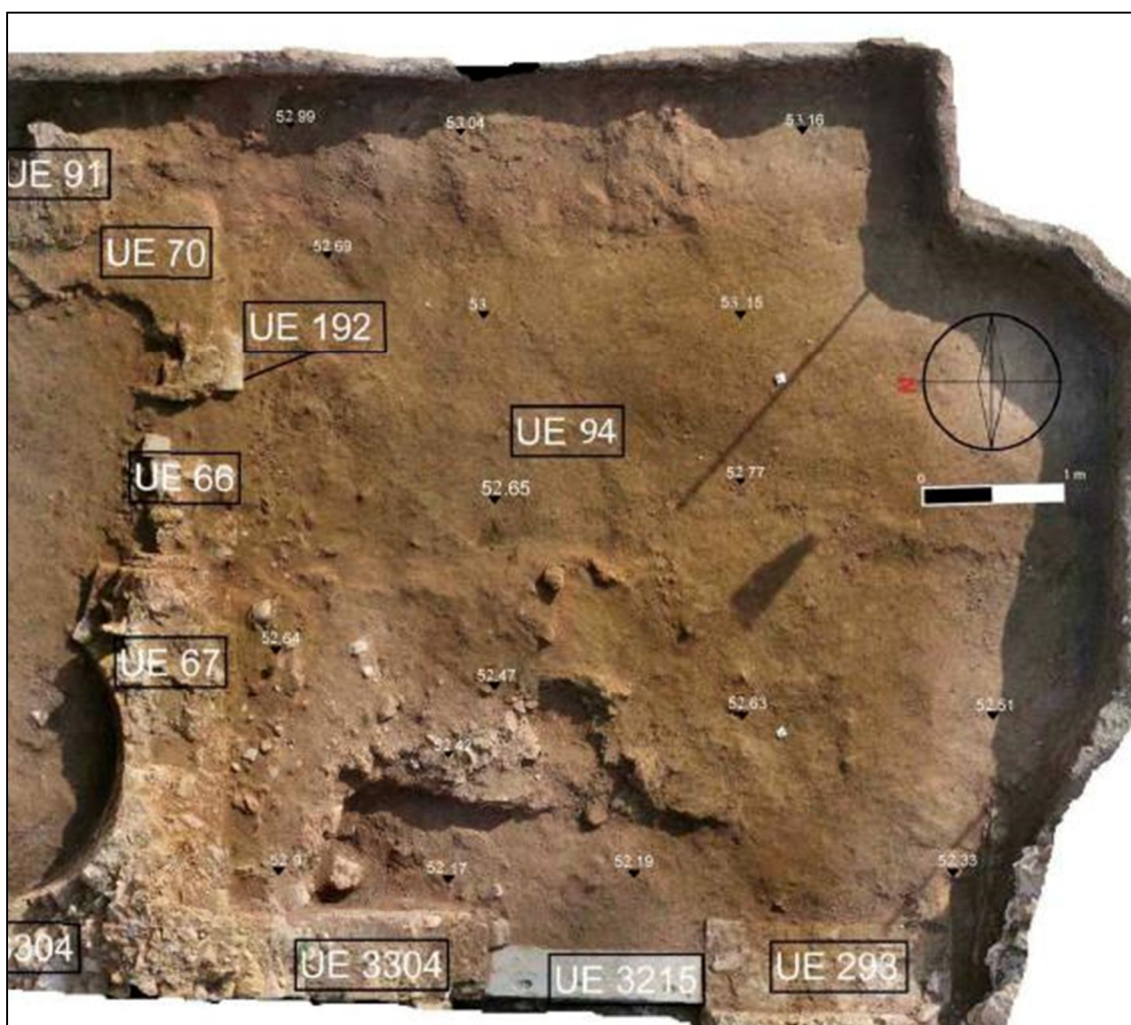


Fig. 16. Diagrama estratigráfico del Grupo de Unidades (GU) 23

## **Ambiente 25**

### **Niveles de colmatación superficial**



*Fig. 17. Planta estratigráfica inicial del Ambiente 25*

La remoción de la **UE 56**, además de sacar a la luz el límite N del Ambiente 25 -**UE 66, 67 y 70**-, también sirvió para hallar la **UE 94**. Es un estrato de textura arcillosa y compacta, de tonalidad grisácea, que ocupa completamente el interior del Ambiente 25. En su interior documentamos una importante presencia de restos de materiales constructivos de época romana, tales como *tegulae*, ladrillos o restos de mortero. Mostraba una tendencia horizontal, aunque ligeramente elevada en el extremo N, junto a las estructuras que constituyen el límite del Ambiente 25. En la zona afectada por la fosa de **UE 6** mantiene una disposición ataludada que sigue el corte, descendiendo en sentido E-W.





*Fig. 18. Planta estratigráfica del interior del Ambiente 25, donde se distingue la capa superficial de las UUEE 95, 102 y 86*

La retirada de este estrato -**UE 94**- facilitó la identificación de nuevas UUEE. Encontramos dos de ellas al liberar parte del ángulo de unión entre los muros de **UUEE 3304** y **67**. Son las **UUEE 92** y **93**, sendas capas de enlucido de cal que revisten respectivamente al muro de **UE 3304** y al muro de **UE 67**. No se pudo comprobar su

estado de conservación -o incluso su presencia- en la parte inferior de estos muros, ya que la presencia de un tercer paquete estratigráfico -**UE 95**- lo impedía. Se trata de una potente acumulación de piedras que ocupa este mismo ángulo, apoyándose contra las caras internas de ambos muros y, por tanto, también contra sus posibles enlucidos parietales. Este paquete de piedras está dispuesto en talud que desciende en sentido N-S. Podría tratarse del derrumbe interno de los propios muros.



*Fig.219. Vista en detalle (rojo) de la ubicación de los enlucidos UUEE 92 y 93*

Apoyándose en **UE 95** y ocupando buena parte del espacio interno del Ambiente 25 encontramos a la **UE 102**. Es un estrato de textura arenosa y suelta, muy disgregada y de tonalidad amarillenta. Presumiblemente, las características de este nivel proceden de la alta presencia de restos de enlucido que fue documentada en su interior. Observamos que en el extremo W del Ambiente 25 esta concentración era incluso más elevada, acompañada de mortero disgregado. Debido a ello optamos por individualizar este estrato como **UE 86**.

La excavación de la **UE 94** se realizó de manera simultánea a la limpieza y excavación el límite N del Ambiente 25. Pudimos comprobar que la **UE 70** cubría parcialmente a una



fina capa de tonalidad amarillenta formada por mortero disgregado, que fue registrada como **UE 90**. Ambos estratos **-UUEE 70 y 90-** se encontraban sobre un nuevo muro **-UE 89-** que comparte su orientación W-E con el muro **UE 67** y que mantiene un recorrido de 1'3 m en esta dirección. Dado que **-al igual que ocurre con UE 67-** este muro presenta una serie de características directamente relacionadas con el Ambiente 28, postergamos su descripción pormenorizada al apartado correspondiente.

La retirada de **UE 70** **-que también cubría parcialmente a UE 66-** facilitó la documentación de **UUEE 87 y 88**. Son dos capas de enlucido parietal que revisten respectivamente la cara E del muro **UE 67** y la cara W del muro **UE 89**. Esta nueva información revelaba que el espacio existente entre ambos muros era un vano y que, por tanto, la acumulación de piedras de **UE 66**, situada entre ambas capas de enlucido, debía ser un derrumbe o, más probablemente, un cegamiento intencionado.



*Fig. 20. Vista en detalle (rojo) de la ubicación de los enlucidos de UUEE 88 y 89*

#### Niveles de relleno

Tras la excavación de los últimos estratos de colmatación detectados en el interior del Ambiente 25 **-UUEE 102 y 86-** identificamos un nuevo nivel que, debido a su composición, fue interpretado como un volcado intencionado. Nos referimos a **UE 116**,

un estrato compuesto principalmente por piedras de tamaño variable y por una elevada densidad de fragmentos de *opus signinum*. Este estrato se extiende por toda la superficie del Ambiente 25, apoyándose tanto en las estructuras que lo delimitan como en el derrumbe de **UE 95**. Deducimos por tanto que en el momento en el que se generó este nivel el Ambiente ya había sido abandonado.

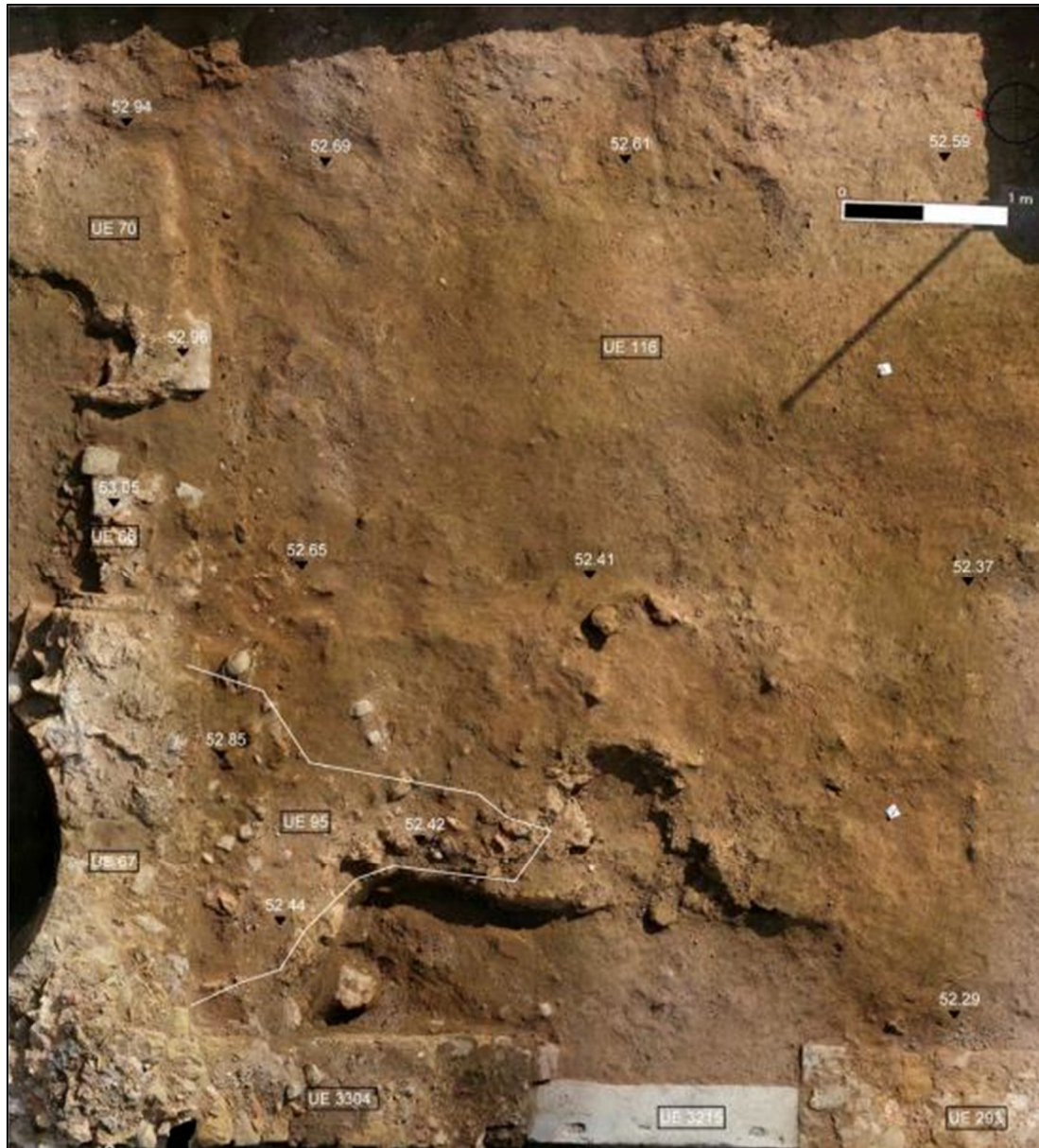


Fig. 21. Planta estratigráfica de la UE 116

Decidimos agrupar todos los fragmentos de *opus signinum* que retiramos durante la excavación de la **UE 116** bajo un registro propio -**UE 165**- con el fin de poder referirnos a ellos y a su posible lugar de origen sin dar lugar a confusión con su uso posterior como volcado o relleno.





*Fig. 22. Vista en detalle de la UE 116, donde se distinguen varios de los fragmentos de placas de opus signinum que lo componen*

#### Nivel de colmatación

La colmatación del interior del Ambiente 25 tras el vertido de la **UE 116** fue sucedida por una serie de niveles cuya formación parece derivar de procesos naturales. Tenemos uno de ellos en la **UE 137**, un estrato de tonalidad anaranjada y de textura arenosa que cubre al muro de **UE 3213** y que se apoya contra el extremo S de **UE 116**.

El desmonte del derrumbe de **UE 95** y del relleno de **UE 116** desveló la existencia de un nuevo paquete estratigráfico en el ángulo NW del Ambiente 25 -**UE 122**-, apoyándose en la cara interna de las estructuras que lo definen. Está compuesto por tierra de tonalidad anaranjada y tendencia ataludada que desciende en sentido SE. Además de tierra y arena contaba con la presencia de piedras en su interior, algunas de ellas trabajadas. Tras su extracción se comprobó que estas últimas eran, en realidad, fragmentos de un *labrum*. Fueron individualizadas como **UE 290**.





*Fig. 23. Planta estratigráfica de las UUEE 122 y 137. En el extremo E sigue presente parte de la UE 116 -en proceso de excavación-*

Del mismo modo, la retirada de los últimos restos del paquete estratigráfico de **UE 116** en el extremo E del Ambiente 25 nos hizo registrar dos nuevos niveles de colmatación. En el ángulo NE nos encontramos con **UE 153**, una capa formada por tierra de tonalidad amarillenta, de textura arenosa y disgregada. Se apoya en las estructuras que definen el límite NE del Ambiente 25 -**UUEE 134, 69 y 192**-, al tiempo que cubre parcialmente a las **UUEE 189 y 288**. Está dispuesta en forma de talud, que desciende en sentido N-S. En el ángulo opuesto identificamos otro estrato que presenta características y disposición similares: **UE 154**. Es una capa formada por piedras y tierra de tonalidad parduzca que se apoya contra el muro de **UE 209**, descendiendo en talud en sentido S-N.



*Fig. 24. Planta estratigráfica de las UUEE 153 y 154*

#### UUEE de las estructuras del Ambiente 25

Por otra parte, la exhumación de las **UUEE 95, 116, 137, 153 y 154** también sacó a la luz, finalmente, un amplio conjunto de unidades que forman parte de las estructuras del Ambiente 25.

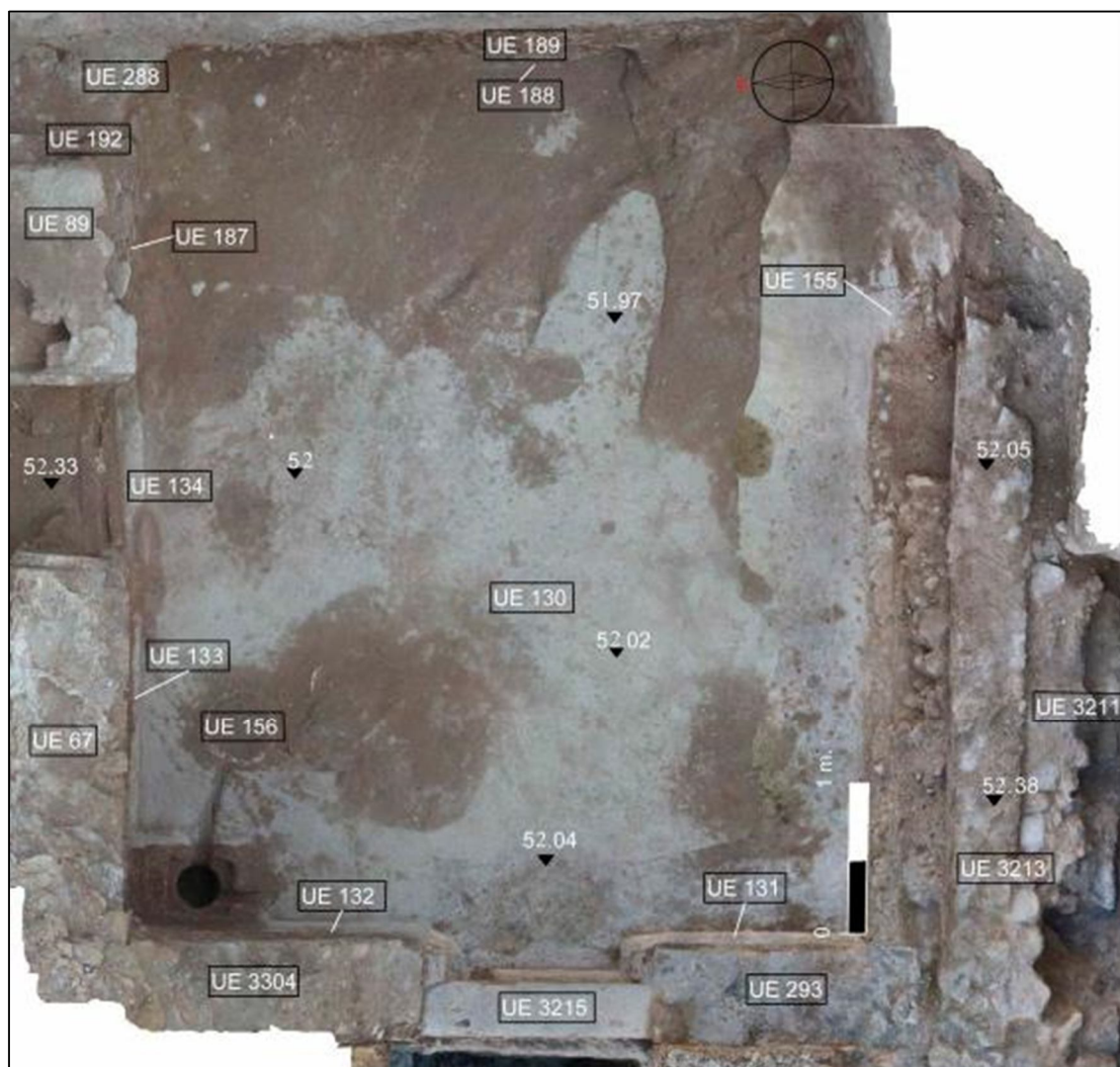


Fig. 25. Vista en planta del Ambiente 25 donde se distinguen sus principales estructuras

Destaca particularmente la **UE 130**, una capa de *opus signinum* que constituye el pavimento del Ambiente. Aunque de tendencia horizontal, dibuja un ligero descenso en sentido W-E. Esta inclinación debe relacionarse con la captación de aguas para evitar su acumulación en el interior de la sala. Está delimitada por las siguientes estructuras, algunas de las cuales ya han sido mencionadas con anterioridad:

- **UE 293.** Muro de piedras trabadas entre sí con mortero de cal. Está orientado en sentido S-N y sus dimensiones son de 1'7 x 0'55 m, con un alzado conservado de 0'17 m.



- **UE 3215.** Laja de piedra caliza rectangular, muy pulida, situada inmediatamente al N del muro de **UE 293**, con el que comparte orientación. Se trata del umbral que facilita la comunicación entre los Ambientes 1 y 25. Presenta sentadas muescas en su superficie, correspondientes al anclaje de la arboladura de la puerta. Sus dimensiones son de 1'5 x 0'35 m
- **UE 3304.** Muro de mampuestos de piedra de tonalidad verdosa trabadas con mortero de cal. Situado inmediatamente al N del umbral de **UE 3215**, con el que comparte orientación. Aunque hemos documentado un mayor desarrollo de su trazado, para este particular únicamente contemplamos su tramo previo al arranque del muro de **UE 67**, con el que forma un ángulo recto. Esta parte del muro tiene unas dimensiones de 1'8 x 0'62 m, con un alzado conservado que oscila entre los 0'5 y los 1'7 m. Junto a las **UUEE 293 y 3215** constituye el extremo W del Ambiente 25.
- **UE 67.** Muro de mampuestos de piedra que traba en ángulo recto con el muro de **UE 3304**, con orientación W-E. Su morfología hace que sus dimensiones no sean regulares en su cara N, mientras que su cara S sigue una orientación W-E a lo largo de 2'2 m.
- **UE 134.** Escalón de *opus signinum* situado inmediatamente al E del muro de **UE 67**. Facilita la comunicación entre los Ambientes 25 y 28. Experimentó una refacción al ser cubierto con un umbral **-UE 135-**. Con el fin de hacer más inteligible la secuencia de las fases, hemos optado por presentar este umbral y el resto de UUEE que cubren al escalón de **UE 134** en el epígrafe correspondiente a la excavación de este vano en el Ambiente 28.
- **UE 192.** Estructura cuadrangular (0'8 x 0'9 m) de mampuestos trabados con mortero de cal. Constituye el extremo E del lienzo de muro que conforma junto a **UE 89**. Se trata de un refuerzo que proporcionaría una mayor firmeza a la esquina del lienzo de cara a sustentar el peso de una bóveda.
- **UE 89.** Muro de mampuestos de piedra con orientación W-E, situado inmediatamente al E del escalón de **UE 134**. Se apoya en la cara E de la estructura de **UE 192** y, al mismo tiempo, proporciona asiento a parte de su alzado. La morfología de la cara N de este muro no es regular pero, dado que sus

particularidades están asociadas al Ambiente 28, será descrito de manera pormenorizada en el apartado correspondiente.

- **UE 288.** Estructura de piedras trabadas con mortero de cal que está orientada en sentido W-E. Está situada entre los muros de **UUEE 89, 192 y 189**. Sus dimensiones son de 0'7 x 0'5 m aproximadamente. Junto a **UUEE 67, 134, 89 y 192** constituye el extremo N del Ambiente 25.
- **UE 189.** Muro de mampuestos trabados con mortero de cal. Está orientado en sentido N-S. Únicamente se conserva un pequeño tramo de su recorrido. Constituye el límite E del Ambiente 25.
- **UE 3211.** Estructura de mortero de cal orientada en sentido W-E. Hemos documentado 2'3 m de su trazado en el interior del Ambiente 25, con una anchura de 0'6 m. El origen de esta estructura arranca en el Ambiente 1, anexo al Ambiente 25. Se adosa a la cara N del muro de **UE 3213**, al que acompaña en su recorrido. Podría tratarse de un banco adosado al muro.
- **UE 3213.** Muro de mampuestos trabados con mortero de cal. Está orientado en sentido W-E. Atraviesa el Ambiente 1 antes de introducirse en el Ambiente 25, del que constituye su extremo S. Se le apoya la estructura de **UE 3211**. El tramo documentado en el Ambiente 25 mide 5 x 0'43 m.

Este conjunto de estructuras dibuja una estancia rectangular de 6'5 x 5'3 m, que abarca una superficie de 34'4 m<sup>2</sup>.

Las zonas de contacto ente el pavimento -**UE 130**- y los muros que delimitan el Ambiente 25 aparecen rematadas con ¼ de caña hidráulica:

- **UE 131.** Tramo de ¼ de caña hidráulica de *opus signinum*. Está orientada en sentido S-N, revistiendo parcialmente la cara W del muro **UE 293** y del umbral **UE 3215**. Su trazado se ve interrumpido bruscamente tras cerca de 2'7 m.
- **UE 132.** Tramo de ¼ de caña hidráulica de *opus signinum*. Está orientada en sentido S-N, revistiendo parcialmente la cara W del umbral de **UE 3215** y del muro de **UE 3304**. Conserva 2'3 m de su trazado. Debe tratarse de la misma

estructura que hemos identificado como **UE 131** pero, dado que hay una discontinuidad física entre ambas, hemos optado por diferenciar su registro.

- **UE 133.** Tramo de  $\frac{1}{4}$  de caña hidráulica de *opus signinum*. Está orientada en sentido W-E, revistiendo parcialmente la cara S del muro de **UE 67**. Forma ángulo recto con el  $\frac{1}{4}$  de caña hidráulica de **UE 132**. Conserva íntegros los 2'4 m de su trazado.
- **UE 187.** Tramo de  $\frac{1}{4}$  de caña hidráulica de *opus signinum*. Está orientada en sentido W-E, revistiendo parcialmente la cara S del muro de **UE 192**. Continúa su trazado al E del mismo, a lo largo del recorrido de la estructura de **UE 288** durante un total de 2'27 m.
- **UE 188.** Tramo de  $\frac{1}{4}$  de caña hidráulica de *opus signinum*. Está orientada en sentido N-S, revistiendo parcialmente la cara W del muro de **UE 189**. En su extremo N forma un ángulo recto con el  $\frac{1}{4}$  de caña hidráulica de **UE 187**. Su extremo S no ha sido documentado, ya que se encuentra más allá de los límites de la parcela.
- **UE 155.** Tramo de  $\frac{1}{2}$  de caña hidráulica de *opus signinum*. Está orientada en sentido W-E, al igual que el muro de **UE 3213**. En lugar de revestir su cara N se sitúa a una distancia de 0'4 m al N del mismo, generándose un pequeño canal entre ambos. Hemos documentado 4'3 m del trazado de esta  $\frac{1}{2}$  caña hidráulica. Queda excluido su extremo E debido a que el punto en el que previsiblemente se uniría al  $\frac{1}{4}$  de caña hidráulica de **UE 188** para formar un ángulo recto se encuentra más allá de los límites de la parcela. En su extremo opuesto el punto de unión con el  $\frac{1}{4}$  de caña hidráulica de **UE 131** queda parcialmente cubierto por el muro de **UE 209**, construido directamente sobre buena parte del recorrido de **UE 155**.

En el ángulo NW del Ambiente 25, parcialmente cubierta por los  $\frac{1}{4}$  de caña hidráulica de **UUEE 132** y **133**, encontramos un bloque trabajado de piedra de forma cuadrangular -**UE 147**- , cuyas dimensiones son 0'7 x 0'53 m. Tiene un orificio circular en su centro, de 2'9 m de diámetro, que revela que su interior, además de estar hueco, comunica con una red hidráulica por medio de un canal horadado en este mismo bloque -concretamente, en su extremo S-. En su cara superficial hay un pequeño canal

de seno de sección semicircular tallado en el mismo bloque y orientado en sentido E-W, uniendo el extremo E de **UE 147** con su orificio central. Conecta a este bloque de piedra con un canal -**UE 157**- de similar orientación y morfología realizado sobre el *opus signinum* del pavimento de **UE 130**. Mide 0'7 m de longitud.

El extremo E del canal se une a una estructura circular -**UE 156**- de 0'43 m de diámetro que se asienta directamente sobre el pavimento de **UE 130**. Su perímetro exterior es de mortero de cal, mientras que su núcleo interno es de ladrillo. Se trata, en cualquier caso, de una estructura muy arrasada y en un mal estado de conservación. Ha sido interpretada como el basamento original del *labrum* (**UE 290**).



*Fig. 26. Vista de las UUEE relacionadas con el labrum*

Todavía encontramos otro canal marcado directamente en el pavimento de **UE 130**. Está situado en la mitad E del Ambiente 25, con un trazado orientado en sentido NW-SE. Al igual que **UE 157**, la sección de su seno es un semicírculo. Las dimensiones registradas son de 2'5 x 0'8 m. Hemos interpretado que la función de este canal no es otra que coleccionar posibles líquidos del interior del Ambiente 25 para desaguarlos. No hemos podido documentar el final de este canal debido a que se encuentra más allá de los límites de la parcela.



Dentro de los elementos estructurales que conforman el Ambiente 25, los últimos que hemos documentado pertenecen a su límite E. Allí detectamos sendas UUEE relacionadas con revestimientos de la cara W del muro de **UE 189: UE 191 y UE 190**. La primera de ellas -**UE 191**- son, en realidad, los restos de unas placas de mármol que revestían la cara interna del muro de **UE 189**. Todo apunta a que dichas placas fueron retiradas antes de aplicar un nuevo revestimiento -**UE 190**- realizado a base de ladrillos. Sin embargo, las evidencias de este revestimiento que han podido ser documentadas son tan escasas como las de la capa a la que sustituyen.

#### UUEE relacionadas con el último uso y abandono del Ambiente 25

El conjunto de estructuras que conforman el Ambiente 25 presentan una serie de intervenciones asociadas a su uso, caracterizadas a través de nuevas UUEE. Vemos en primer lugar un grupo de orificios practicados en el pavimento de **UE 130**:

- **UE 261**. Orificio de tendencia circular practicado en el extremo SW del pavimento de **UE 130**.
- **UE 263**. Orificio de tendencia circular practicado a 1'2 m al E de **UE 261**.
- **UE 265**. Orificio de tendencia circular practicado en el centro del pavimento de **UE 130**.

Detectamos una cierta regularidad en la distribución y tamaño de este grupo de orificios. Podrían interpretarse como improntas de postes instalados en algún momento previo al abandono definitivo del Ambiente 25, relacionado quizás con un cambio de uso de la estancia.

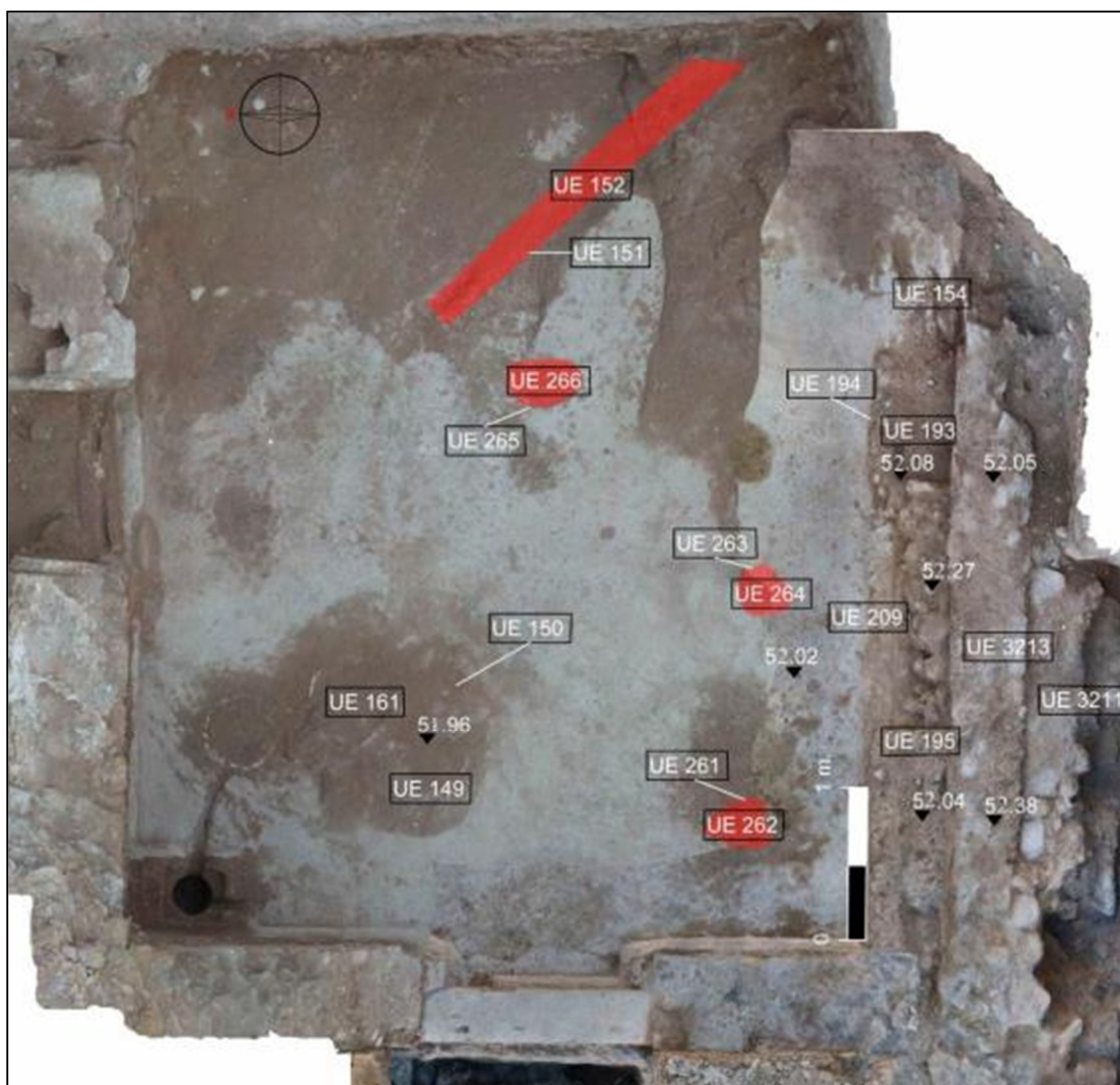
Del mismo modo, encontramos también un rehundimiento -**UE 150**- del pavimento de **UE 130** en el extremo NW del Ambiente 25 que estaba cubierto por un estrato -**UE 149**- de tonalidad rojiza, marcado por la elevada presencia de fragmentos de ladrillo en su interior. Su remoción permitió documentar una estructura circular -**UE 161**- de 0'5 m de diámetro realizada con mortero de cal y ladrillos y asentada directamente sobre el pavimento. Ha sido interpretado como una posible reubicación del *labrum*.

Asimismo, documentamos otra refacción destacada en el extremo S del Ambiente 25. En origen, la estructura de **UE 3213** y la media caña hidráulica de **UE 155** delimitaban

un espacio intermedio que hemos interpretado como un posible canal. En un momento indeterminado de la ocupación del Ambiente 25 se erigió un muro -**UE 209**- a base de piedras trabadas con mortero de cal, con unas dimensiones de 4'5 x 0'3 m. El alzado de este muro muestra que su función no es otra que proporcionar un mayor caudal al canal.

También hemos registrado un conjunto de estratos relacionados con la colmatación de los orificios y canales que acabamos de presentar:

- **UE 262.** Estrato de tierra de tonalidad cenicienta que rellena el orificio **UE 261**.
- **UE 264.** Estrato de tonalidad cenicienta que colmata el orificio **UE 263**.
- **UE 266.** Estrato de tonalidad grisácea que colmata el orificio **UE 265**.
- **UE 152.** Estrato de tonalidad oscura y de textura arcillosa y plástica que rellena el interior del canal de **UE 151**.
- **UE 195.** Estrato marrón oscuro que colmata el canal **UUEE 204- 3213**.
- **UE 148.** Estrato de tonalidad cenicienta y de textura arcillosa y plástica que rellena la oquedad tallada en el bloque de **UE 147**.



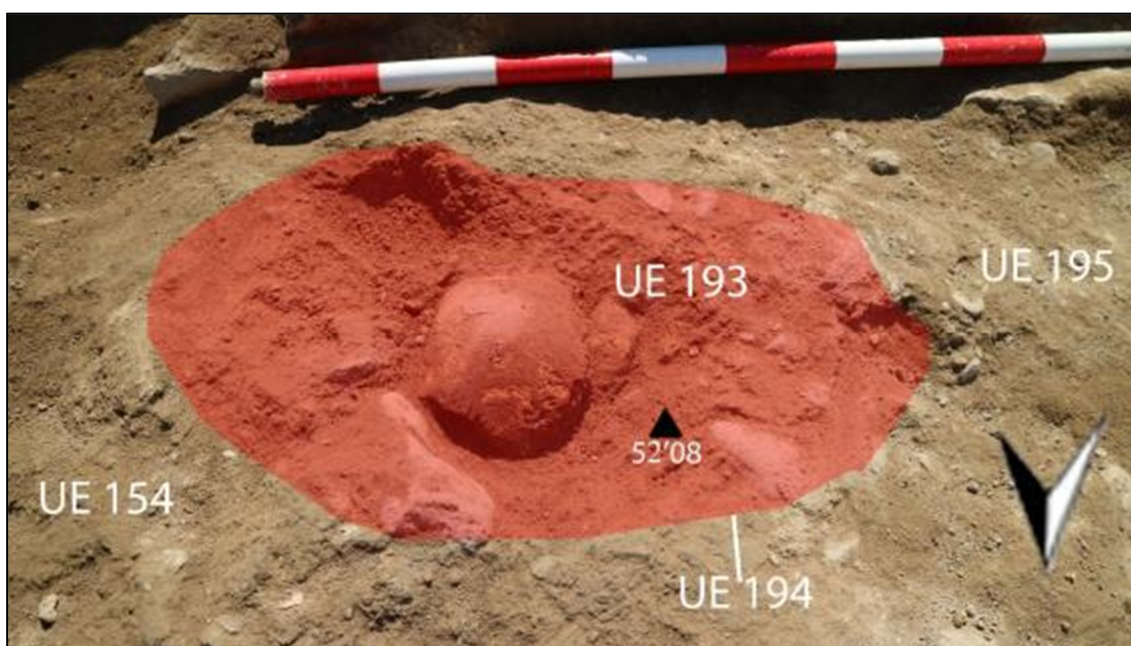
*Fig. 27. Vista en planta de las distintas UUEE que afectan al pavimento de UE 130, así como del canal generado por las UUEE 209 y 3213*



*Fig. 28. Vista en detalle del ángulo NW del Ambiente 25 con la ubicación de las UUEE 149, 150 y 161*

Todavía identificamos otra acción antrópica en el interior del Ambiente 25, realizada en un momento en el que el Ambiente 25 había perdido su función. Nos referimos a la excavación de una fosa -**UE 194**- que recorta al muro de **UE 209**, al  $\frac{1}{4}$  de caña hidráulica de **UE 155** sobre la que se asienta y al estrato -**UE 195**- que colmata el canal que delimitan. Asimismo recorta parcialmente a uno de los estratos de colmatación interna del Ambiente 25 -**UE 154**-, de tal modo que la fosa es necesariamente posterior a su creación. La fosa de **UE 194** está rellena por un estrato muy disgregado, de textura arenosa y tonalidad cenicienta que hemos registrado como **UE 193**. En su interior fueron hallados restos humanos pertenecientes, al menos, a dos individuos. Fueron individualizados bajo la **UE 173**. Se trata de un depósito secundario, donde los individuos están incompletos y mezclados, sin que se perciba ningún atisbo de conexión anatómica entre las distintas piezas óseas documentadas.





*Fig. 29. Vista de la fosa de UE 193 en el momento en el que fue detectada*



*Fig. 30. Vista en detalle de la fosa de UE 193 durante su proceso de excavación*

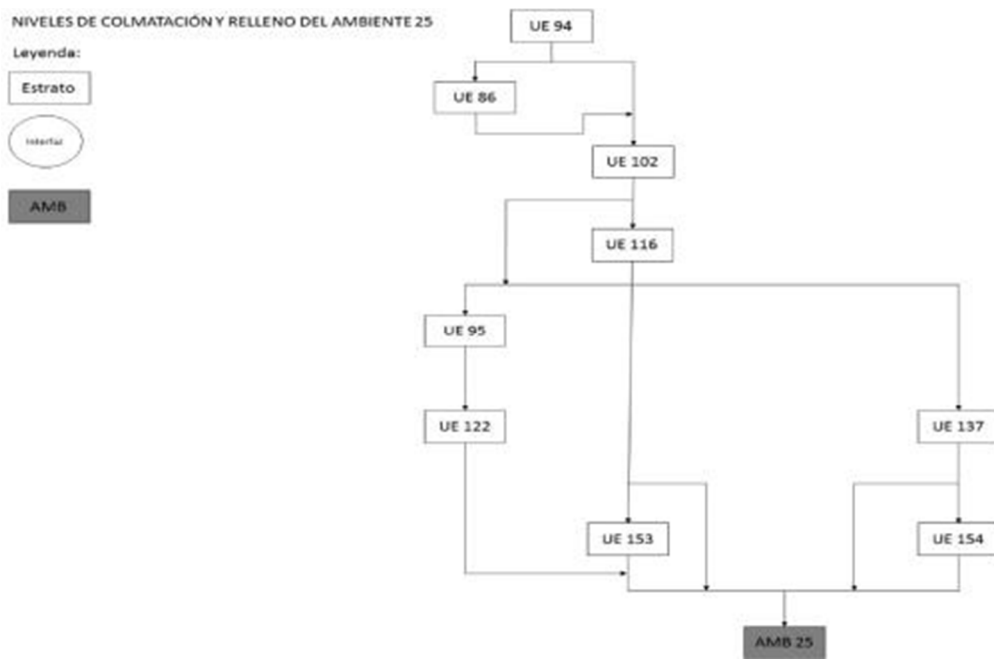


Fig. 31. Diagrama estratigráfico de los niveles de relleno y colmatación del Amb. 25

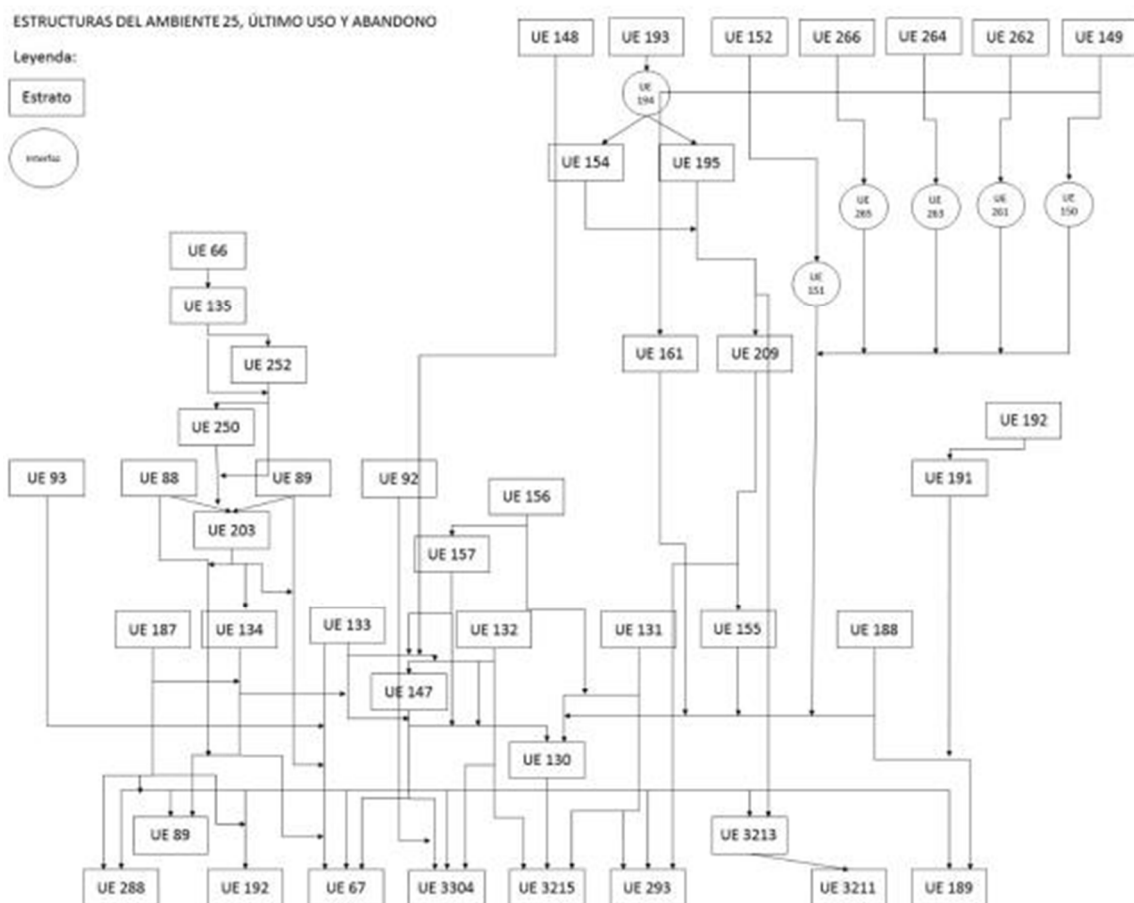
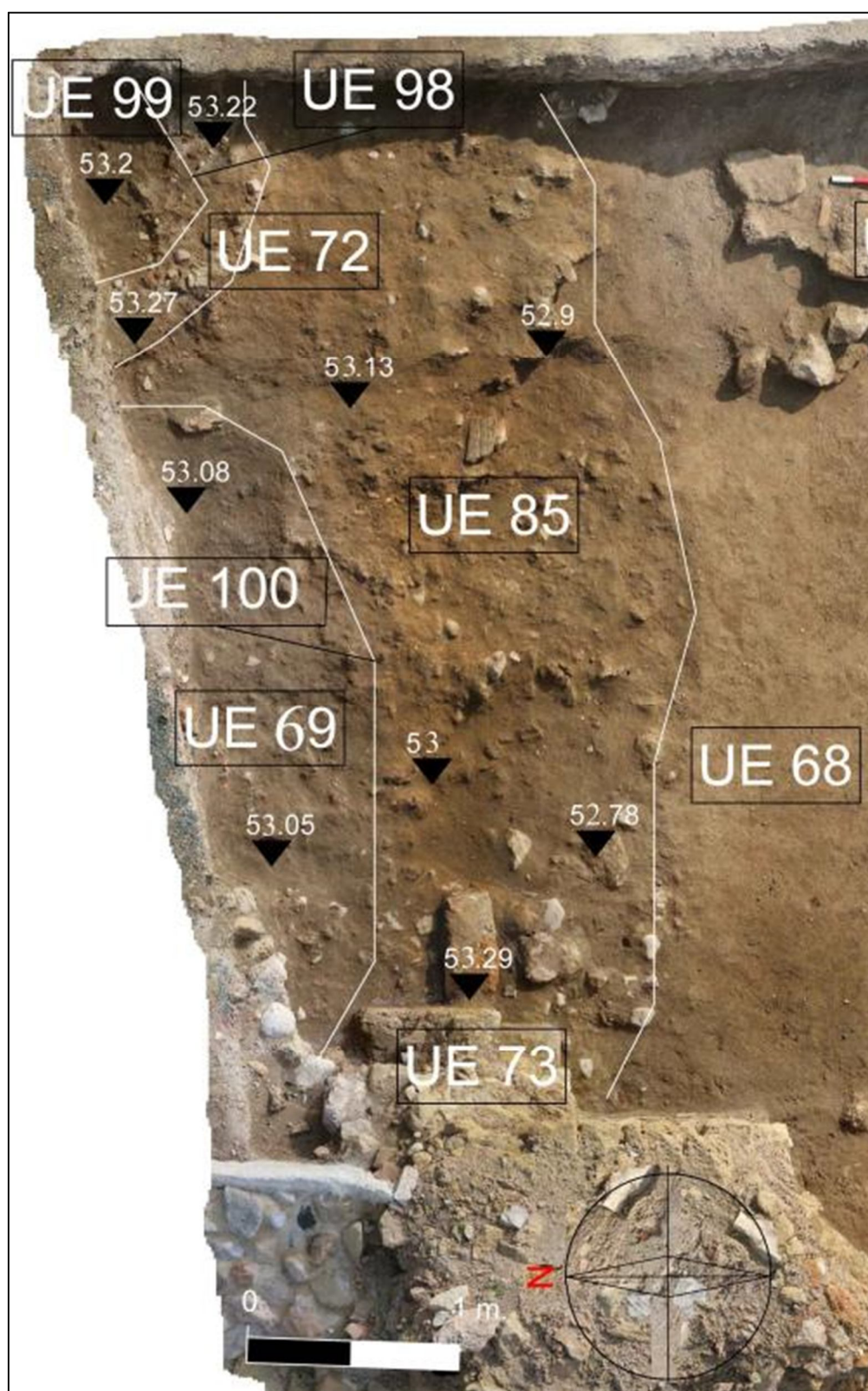


Fig. 32. Diagrama estratigráfico de las estructuras, último uso y abandono del Amb. 25

**Sobre Ambientes 28 y 29**



*Fig. 33. Planta estratigráfica de las UUEE detectadas tras la remoción de UE 56*



De forma simultánea a la identificación del Ambiente 25 proseguimos con la excavación al N de sus límites. La remoción de la **UE 56**, además de permitirnos definir el Ambiente 25, sacó a la luz una nueva serie de estratos más allá del muro de **UE 67**.

La práctica totalidad de este nuevo espacio queda abarcada por la **UE 68**. Es una capa formada por tierra de tonalidad parda, restos de mortero disgregado y piedras, dispuesto en forma de talud que desciende ligeramente en sentido N-S, apoyándose contra la cara interna del muro de **UUEE 3304**. Este muro, que era parcialmente visible cuando iniciamos la excavación del corte, prosigue su trazado al N del Ambiente 25. La retirada de **UE 56** también permitió documentar la **UE 73**. Es un pequeño muro de orientación W-E que inicia su trazado desde la cara E del muro **UE 3304**, formando ángulo recto. Describiremos su morfología en el siguiente apartado, en el que enumeramos todas las UUEE que delimitan al Ambiente 28.

El estrato **UE 68** también se apoya contra **UE 73**. De hecho, la continuidad de **UE 68** a lo largo de la explanada situada al N del Ambiente 25 se ve interrumpida aproximadamente a la altura de **UE 73**. Allí documentamos, también bajo **UE 56**, una capa prácticamente paralela al límite N del Ambiente 25. Nos referimos a **UE 85**. Presentaba una disposición ligeramente ataludada que crecía en dirección S-N. En cuanto a su composición, hemos de destacar la elevada presencia de fragmentos de enlucido. Este paquete cubría parcialmente a **UE 68**. A su vez, encontramos un conjunto de estratos que, según su situación estratigráfica y su relación con **UE 85**, son posteriores a este último.

Por una parte, en su extremo W, detectamos una pequeña fosa **-UE 100-** que recorta a **UE 85**. Está rellena por **UE 69**, un paquete estratigráfico de tonalidad cenicienta. En el extremo NE identificamos un nuevo nivel **-UE 72-** de textura muy disgregada y de tonalidad anaranjada que cubre parcialmente a **UE 85**. Está recortado por la fosa **UE 98**, colmatada por **UE 99**, de textura muy disgregada, arenosa.

Estos estratos **-UUEE 85, 69, 100, 99 y 98-** se sitúan en el límite establecido en la campaña 2017 para este extremo de la excavación. De hecho, varios de ellos continúan claramente más allá del perfil N. Debido a ello estratos solo pudieron ser excavados parcialmente. Habrá que esperar por tanto a futuras campañas para proseguir su

documentación y remoción. En cuanto a la excavación de la parte de **UE 85** situada dentro del corte, detectamos la presencia de una nueva capa bajo ella: **UE 114**. Se trata de un estrato de tierra muy compacto y de tonalidad castaña que se extiende por la superficie abierta al N de la estructura de **UE 73**.

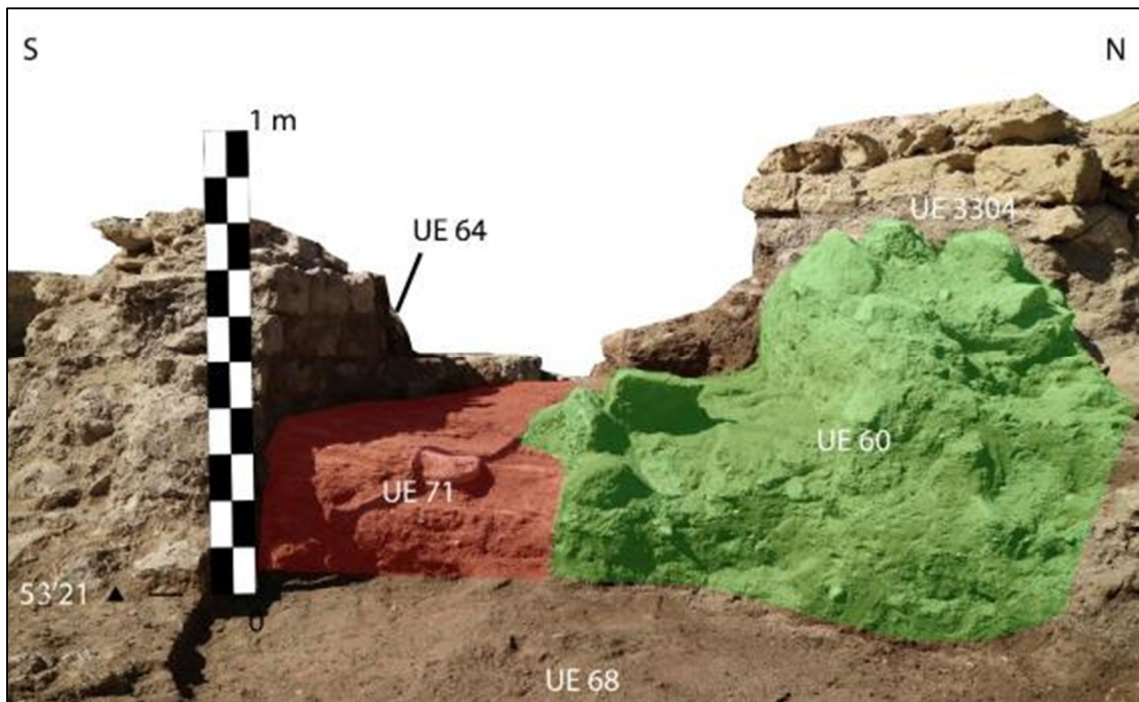
Antes de proceder a la retirada del estrato de **UE 68** que, como ya hemos comentado, se extendía por buena parte de la explanada generada al N del Ambiente 25 había que intervenir en otras partes del corte. Nos referimos, más concretamente, a la exedra que genera el muro de **UE 3304** en su cara E, al N del Ambiente 25. Durante la documentación de este muro detectamos la existencia de una rotura en el alzado de dicha exedra, que registramos como **UE 64**. Su interior estaba colmatado por un estrato de tierra de tonalidad parda y piedras -**UE 65**-. La forma dibujada por la línea de rotura en el muro y su ubicación nos han llevado a relacionarla con la realización de la fosa de **UE 6** que, tal y como propusimos, pudo ser realizada con medios mecánicos. Es posible que **UE 64** fuese, por tanto, un primer intento de realizar un rebaje en esta área. El hallazgo fortuito de una estructura de la envergadura de **UE 3304** provocaría desplazar el recorte del terreno unos m al S, dando lugar a la **UE 6**.



*Fig. 34. Detalle de la interfaz UE 64 y su relleno UE 65 desde cara W del muro UE 3304*

La limpieza de la exedra nos llevó a documentar una serie de estratos localizados en su interior, a una cota superior al nivel superficial que se extiende por la explanada al N del Ambiente 25 tras la remoción de **UE 56**. Efectivamente, tras excavar **UE 65** identificamos las siguientes UUEE:

- **UE 60**. Estrato compacto de piedras y tierra que se apoya contra la cara N de la exedra del muro de **UE 3304**. Podría deber su origen al derrumbe parcial de este muro.
- **UE 71**. Estrato de tendencia horizontal formado por la acumulación horizontal de finas láminas de tierra de tonalidad blanquecina y textura arenosa, interpretadas como paleocharcos. Se apoya en la cara S de la exedra del muro **UE 3304** y en el derrumbe de **UE 60**.



*Fig. 35. Vista de la exedra del muro de UE 3304 con los estratos UUEE 71 y 60*

Ambos estratos se asientan sobre **UE 68**. Tras su remoción ya pudimos acometer finalmente la excavación de esta capa. Bajo ella documentamos un nuevo nivel de tendencia horizontal -**UE 118**- y, lo que es más importante, evidencias de estructuras que delimitan una nueva estancia: el Ambiente 28.

SOBRE AMBIENTES 28 Y 29

Leyenda:

Estrato

Interfaz

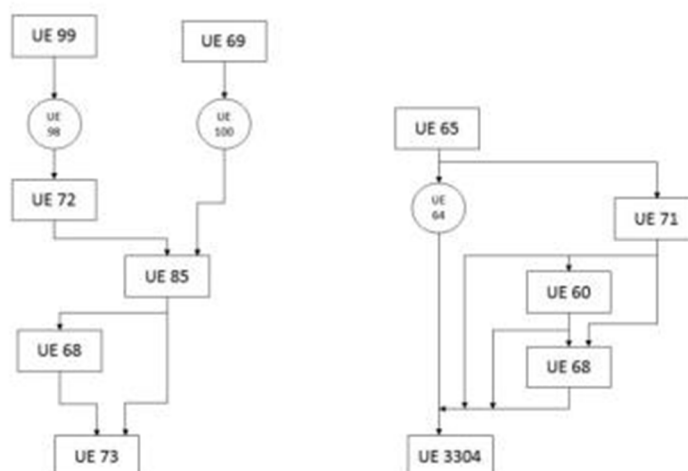
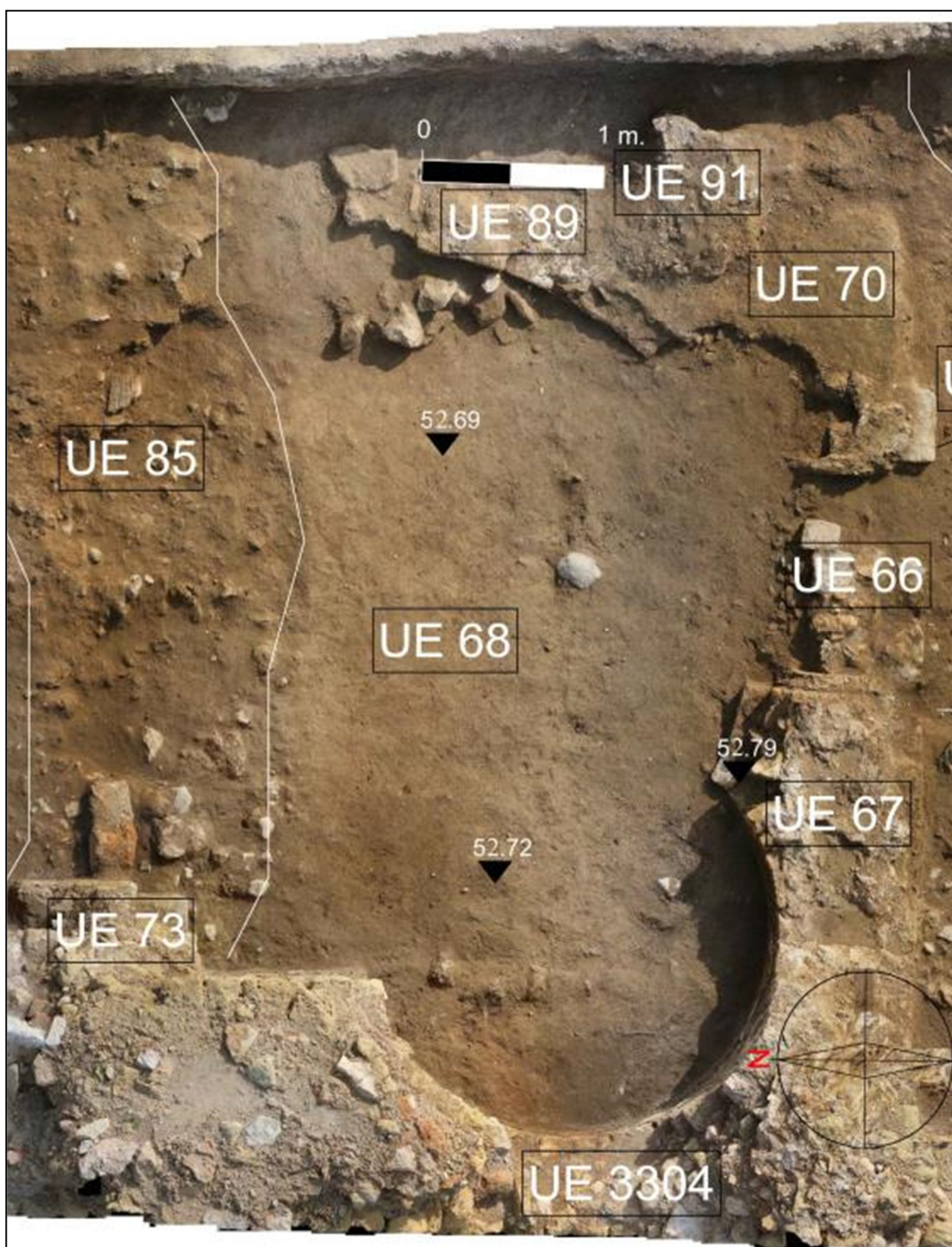


Fig. 36. Matriz de Harris correspondiente a los estratos sobre los Ambientes 28 y 29



## **Ambiente 28**

### Primeros niveles superficiales y UUEE de las estructuras del Ambiente 28



*Fig. 37. Vista de la planta de estrato del Ambiente 28 previa a la excavación de la UE 68*

Bajo **UE 68** identificamos un nuevo estrato -**UE 118**- compuesto por tierra de tonalidad parda y piedras, con una disposición ataludada que desciende en sentido W-E. Abarca toda la superficie del Ambiente 28. En el extremo E la remoción de **UE 68** reveló la existencia de un estrato de textura dispersa y tonalidad blanquecina, motivada por la elevada presencia de mortero de cal disgregado. Es la **UE 91**, uno de los niveles que, junto a **UE 70**, cubría al muro de **UE 89**. Mientras que este último -**UE 70**- cubría su extremo S, la **UE 91** hacía lo propio con su extremo E.



*Fig. 38. Vista del interior del Ambiente 28 donde distinguimos las estructuras que lo delimitan y la planta estratigráfica de la UE 118*



La retirada de la **UE 68** dejaba a la vista otras estructuras que, sumadas a las ya mencionadas y a las que comparte con el Ambiente 25, delimitan el Ambiente 28. Aunque ya hemos descrito varias de ellas consideramos adecuado volver a enunciarlas -y, en determinados casos, ahondar más en la descripción de sus características y particularidades- con el fin de presentar de forma conjunta las estructuras que definen el perímetro de la estancia:

- **UE 3304.** Muro de mampuestos de piedra de tonalidad verdosa trabadas con mortero de cal, cuyo trazado presenta una orientación en sentido S-N. Parte del trazado de este muro forma parte del Ambiente 25, por lo que en este análisis dedicado a las estructuras del Ambiente 28 únicamente trataremos el tramo comprendido entre los muros de **UUEE 68** y **73**. Dicho tramo mide 3'5 m de longitud y cerca de 1 m de anchura. A 0'6 m al N del ángulo que forma con el muro de **UE 67** la cara interna de **UE 3304** dibuja una exedra, cuyo trazado continúa en la cara N del muro de **UE 67**. Los vértices desde los que arranca la circunferencia de la exedra distan entre sí 2'1 m, mientras que su radio es de 1'4 m. Este muro constituye el extremo W del Ambiente 28.
- **UE 77.** Restos de una capa de enlucido parietal blanco que reviste parcialmente la cara E del muro de **UE 3304**, más concretamente el interior de su exedra.
- **UE 67.** Muro de mampuestos de piedra que traba en ángulo recto con el muro de **UE 3304**, con orientación W-E. Forma parte del lienzo que separa los Ambientes 25 y 28. Mientras que su cara S sigue una orientación W-E a lo largo de 2'2 m, la cara N forma parte del trazado de la exedra que forma junto a **UE 3304**. Su anchura, por tanto, oscila entre los 0'7 y los 1'2 m.
- **UE 135.** Umbral de piedra de 0'9 x 0'25 m, localizado entre las **UUEE 67** y **192**. Realza el escalón de acceso de **UE 134**, por lo que debe ser interpretado como una refacción del vano que facilita la comunicación entre los Ambientes 25 y 28. Está cubierto por la acumulación de piedras de **UE 66**.
- **UE 192.** Estructura cuadrangular (0'8 x 0'9 m) de mampuestos trabados con mortero de cal. Constituye el extremo E del lienzo de muro que conforma junto a **UE 89**. Se trata de un refuerzo que proporcionaría una mayor firmeza a la esquina del lienzo de cara a sustentar el peso de una bóveda.

- **UE 89.** Muro de mampuestos de piedra con orientación W-E, situado inmediatamente al E del escalón de **UE 134**. Se apoya en la cara E de la estructura de **UE 192** y, al mismo tiempo, proporciona asiento a parte de su alzado. Mientras que su cara E mantiene un trazado regular en sentido N-S, no ocurre lo mismo con su cara interna. Ésta dibuja un semicírculo que continúa la forma de la exedra compuesta por los muros de **UUEE 3304** y **67**. Los vértices desde los que arranca este nuevo semicírculo distan 2'1 m, mientras que el radio del mismo es de 0'2 m. Este muro conforma, junto a **UUEE 67, 134** y **192**, el límite S del Ambiente 28.
- **UE 138.** Restos de una capa de enlucido blanco que reviste parcialmente la cara interna -W- del muro de **UE 89**.
- **UE 113.** Muro ligeramente orientado en sentido NW-SE formado por mampuestos trabados con mortero de cal. Hemos documentado un tramo del mismo que mide 3 x 0'85 m. Su longitud rebasa el límite E del Ambiente 28, de manera que parte del formaría también parte del Ambiente 30. Su cara W delimita uno de los extremos del vano que comunica entre sí a los Amb. 28 y 29.
- **UE 73.** Muro de orientación W-E que arranca desde la cara interna del muro **UE 3304**, formando ángulo recto. Está orientado con **UUEE 163, 164** y **113**, conformando junto a estas estructuras el extremo N del Ambiente 28. Su cara E delimita uno de los extremos del vano que comunica a los Ambientes 28 y 29. Morfológicamente podría describirse como una estructura en forma de "L", donde su extremo más largo está orientado en sentido N-S y mide 0'6 m. Su otro lado, por el contrario, mide 0'3 m. Está compuesto por mampuestos trabados con mortero de cal. Entre dichos mampuestos documentamos asimismo una mocheta o piedra trabajada en forma de "L".
- **UE 109.** Acumulación de piedras en el ángulo NW del Ambiente 28, entre los muros de **UE 73** y **113**.

Detectamos asimismo un nivel de piedras -**UE 115**- que se apoya contra la cara S del muro de **UE 113**, pero fue necesario iniciar la excavación del nivel superficial para poder definirlo adecuadamente.

### ¿Sondeos previos?

Una vez definimos la estancia proseguimos con su excavación. Antes de acometer la retirada del nivel superficial **-UE 118-** procedimos a clarificar la situación de **UE 115**. Tras su limpieza comprobamos que esta acumulación de piedras que se apoyaba directamente contra la cara S del muro **UE 113** y se encontraba rellenando a una zanja recortada en el estrato superficial **-UE 118-**. Dicha zanja seguía completamente el trazado de este muro dentro del Ambiente 28. Detectamos que, además, la zanja bordeaba toda la estructura y circundaba su cara W y la N. Ante esta situación optamos por individualizar cada uno de los tramos de la zanja y de su relleno:

- **UE 115**. Es el relleno de piedras que se adosa a la cara S del muro de **UE 113**. A la sazón, es la UE que facilitó la identificación de la zanja que rodea a este muro.
- **UE 141**. Zanja recortada en **UE 118** y que sigue el trazado de la cara S del muro de **UE 113** en el interior del Ambiente 28. Colmatada por **UE 115** en su extremo S y por **UE 142** en su extremo W.
- **UE 142**. Paquete de tierra de tonalidad parda y textura muy disgregada que colmata la parte W de la zanja de **UE 141**.
- **UE 139**. Extremo N de la zanja de **UE 141**, que sigue el trazado de la cara N del muro de **UE 113**. Está recortada sobre **UE 114** y fue individualizada de **UE 141** debido a que se encuentra más allá de los límites del Ambiente 28. Rellenada por **UE 140**.
- **UE 140**. Estrato de tierra de tonalidad parda y de textura muy disgregada que rellena a la fosa de **UE 139**. Se apoya contra la cara N del muro de **UE 113**.

Interpretamos que la zanja de **UE 141** y **139** pudo ser un sondeo realizado en algún momento del pasado reciente, sin poder especificar una cronología exacta. La apertura del terreno dio fortuitamente con el muro de **UE 113** y, tras comprobar su envergadura, se optó por colmatarla con las **UE 115, 142 y 140**. Dado que se abandonó tras documentar el muro y que la integridad del mismo no se vio afectada por esta acción creemos que no puede relacionarse con un intento de expolio de piedra. Tampoco consideramos que pueda tratarse de una de las múltiples intervenciones arqueológicas sin documentar que tuvieron lugar en este yacimiento

tras el descubrimiento de la Dama de Elche: la zanja únicamente bordea el muro y no trata de detectar más estructuras. Es más probable que nos encontremos ante una apertura del firme asociada a trabajos agrícolas o a instalación de infraestructuras donde, al dar con el muro de **UE 113** y comprobar su entidad, se optó por cerrarla y trasladar la actividad a algún otro lugar.



*Fig. 39. Amb. 28 con los posibles sondeos de UUEE 141, 115, 139, 140 y 142*

#### Colmatación superficial

Una vez finalizada la excavación de la zanja de **UUEE 141** y **139** y de sus rellenos de **UUEE 115**, **142** y **140** procedimos finalmente a retirar la capa de **UE 118**. Bajo ella encontramos nuevos niveles que se extienden por la superficie interna del Amb. 28:

- **UE 162.** Estrato de tierra de tendencia horizontal, de textura compacta y homogénea, que se extiende por toda la superficie interna del Ambiente 28.
- **UE 158.** Estrato de tierra de tonalidad oscura y tendencia horizontal que ocupa una posición central en el interior del Amb. 28, cubriendo parcialmente a **UE 162**.



*Fig. 40. Planta estratigráfica de las UUEE 158, 162, 220 y 160*



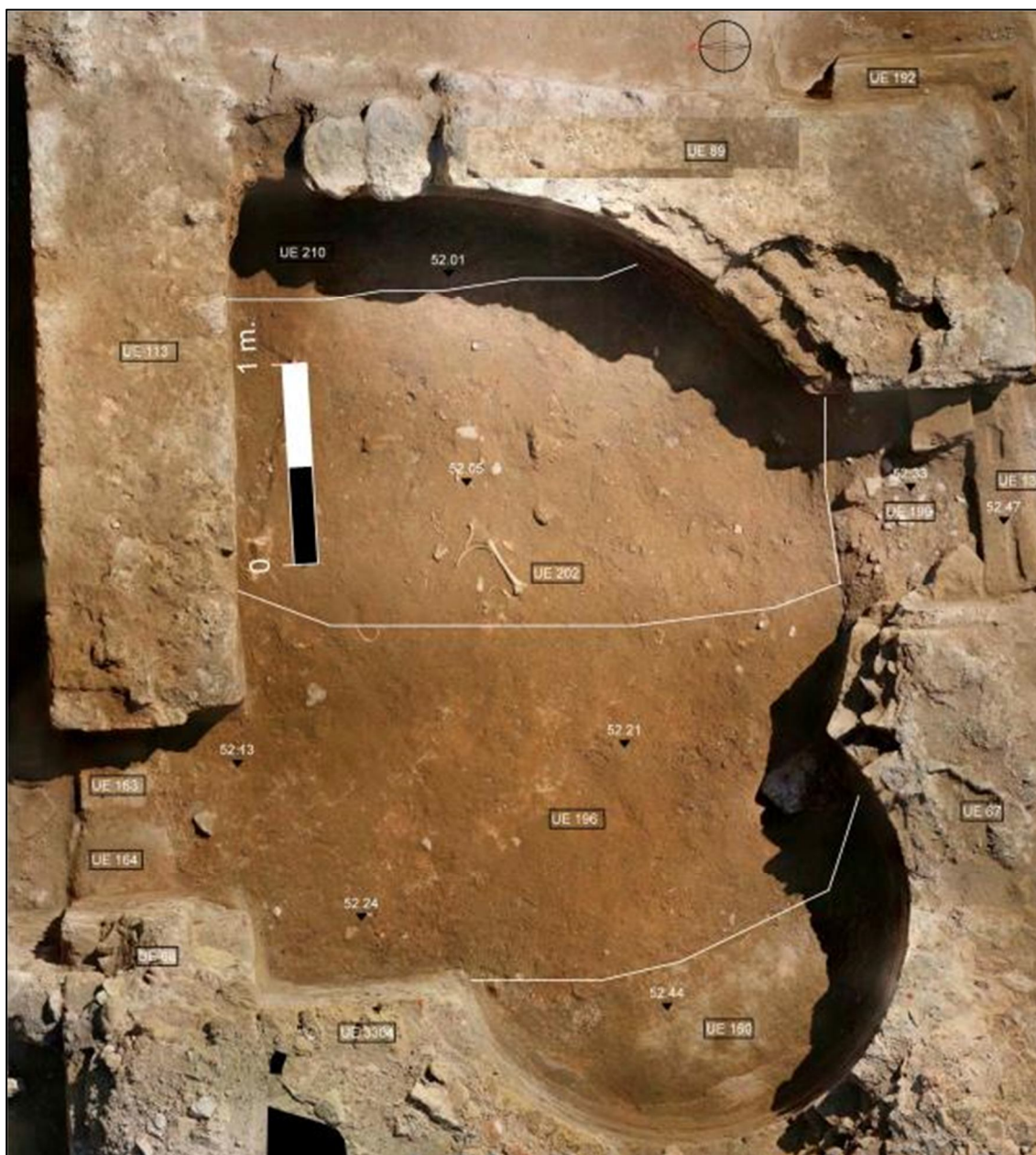
Del mismo modo, documentamos también nuevos vestigios de estructuras pertenecientes a la estancia:

- **UE 159.** Revestimiento de *opus signinum* en la cara E del muro de **UE 3304**, en el interior de su exedra.
- **UE 160.** Restos de un nivel de pavimento de *opus signinum* que surge desde la exedra del muro de **UE 3304**. Aunque no se detectó una conexión física con el revestimiento de UE 159, tanto el tipo de material como su ubicación hacen pensar que debieron pertenecer a una misma fase.
- **UE 220.** Fina capa de *opus signinum* que, surgiendo desde la exedra, cubre parcialmente a **UE 160**. Se trata, probablemente, de una reparación del pavimento anterior.

Tras documentar este conjunto de estratos proseguimos con la excavación de los niveles superficiales. Comenzamos con **UE 158**, comprobando así que se trataba de una capa de poco espesor, generada al depositarse sobre una depresión que traza la **UE 162** en su parte central. Una vez extraída retiramos también la **UE 162**. La exhumación de esta capa sacó a la luz una nueva y compleja secuencia estratigráfica.

Aunque postergamos la descripción pormenorizada de las distintas UUEE documentadas inmediatamente bajo **UE 162** hemos considerado adecuado adelantar una de ellas -**UE 199**- por coherencia estratigráfica, ya que es claramente posterior al resto. Es un estrato de tierra y cantos rodados que se apoya contra la cara N del umbral de **UE 135**. Su retirada sacó a la luz parte de una estructura -**UE 203**- que detallamos en el siguiente apartado.

### La fosa y sus niveles de colmatación



*Fig. 41. Planta estratigráfica del Ambiente 28 tras retirar UE 162*

Bajo **UE 162** hallamos nuevas evidencias de estructuras pertenecientes al Ambiente 28. Nos referimos, más concretamente, a parte de un pavimento de mosaico que fue registrado como **UE 198**. Se trata de un mosaico policromo con motivos figurados, situado en el interior de la exedra del muro de **UE 3304**. Estaba parcialmente cubierto por el pavimento de *opus signinum* de **UE 160**.

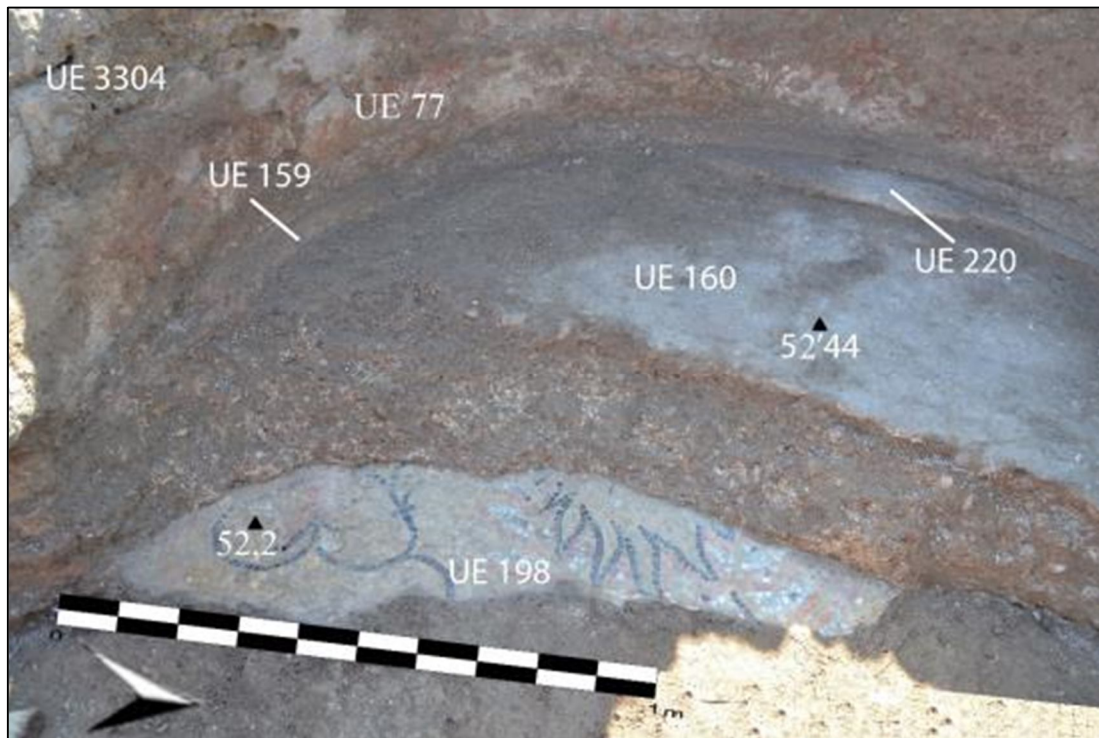


Fig. 42. Vista en detalle del mosaico de UE 198

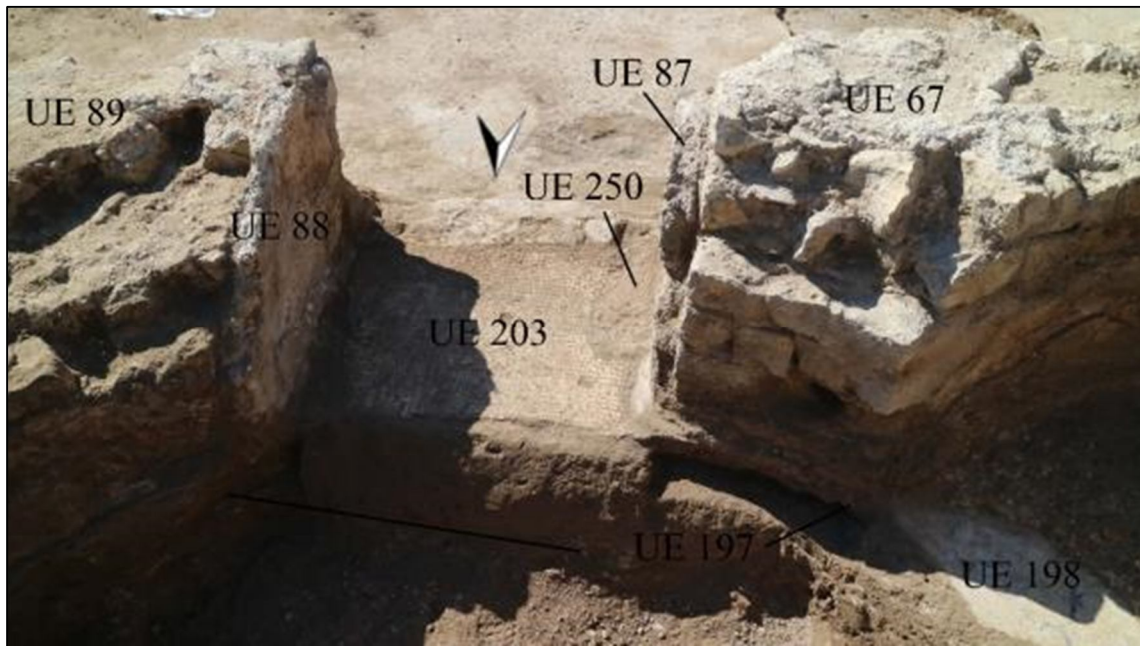
La remoción de **UE 199** proporcionó otro fragmento de pavimento de mosaico, en esta ocasión monocromo blanco. Nos referimos a la **UE 203**. Aunque está parcialmente cubierto por el umbral de **UE 135** -lo que denota que hay una fase posterior con otro nivel de suelo, que podría relacionarse por cota con los restos de pavimento de *opus signinum* de **UE 160**- se encuentra a la misma cota que **UE 198**. Es más que probable, por tanto, que ambos formen parte de un mismo nivel de pavimento.

Con el fin de facilitar la documentación del pavimento de mosaico de **UE 203** decidimos retirar el umbral de **UE 135**. Bajo el mismo encontramos una pequeña estructura cuadrangular -**UE 250**- orientada en sentido N-S y realizada en *opus signinum*. Se asienta directamente sobre el pavimento de mosaico de **UE 203**, apoyándose en la cara W del muro de **UE 67**. Hemos interpretado que debió formar parte del vano que comunica al Ambiente 25 con el Ambiente 28. Apoyándose en su cara E y cubriendo al mosaico de **UE 203** encontramos un fino estrato de tonalidad amarillenta y textura arenosa -**UE 252**- sobre el que se asentaba el umbral **UE 135**.

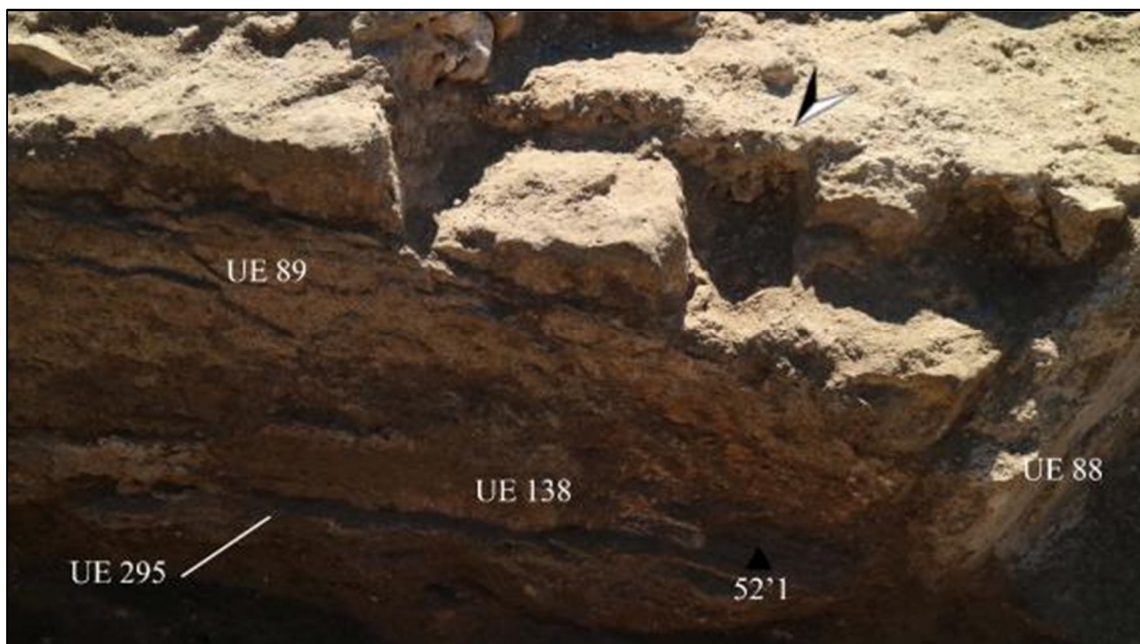
Todavía localizamos más vestigios del antiguo pavimento de mosaico que fue destruido por la fosa de **UE 197**. Efectivamente, detectamos restos de un mosaico



monocromo blanco que arrancan de la cara W del muro **UE 89**. Fueron registrados como **UE 295**.



*Fig. 43. Vista en detalle del vano pavimentado en mosaico de UE 203*



*Fig. 44. Vista en detalle de los restos de pavimento de mosaico de UE 295*

El desmonte del nivel de piedras **UE 109**, localizado entre los muros de **UUEE 73** y **113**, nos llevó a descubrir un nivel de paso que comunica al Ambiente 28 con otra estancia adyacente, al N de la misma. Dicho nivel estaba formado por dos UUEE:

- **UE 164.** Nivel horizontal de ladrillos situado entre los muros de **UUEE 113** y **73**. Cubierto por **UE 163**. Sus dimensiones -0'8 x 0'4 m- y su ubicación llevaron a interpretarlo como la base de un vano que comunica al Ambiente 28 con el Ambiente 29, situado inmediatamente al N del primero.
- **UE 163.** Capa de *opus signinum* que cubre parcialmente a nivel de ladrillos de **UE 164**. Formaría parte del mismo vano. Ambos estaban cubiertos por la acumulación de piedras de **UE 109**.

También pudimos comprobar que el pavimento del Ambiente 28 había sido dañado por una fosa -**UE 197**-. Salvo en un par de casos puntuales -como queda patente con **UUEE 198** y **203**- el mosaico que pavimentaba el interior del Ambiente 28 fue destruido, recortado prácticamente a ras de los muros por la fosa de **UE 197**. Lo que encontramos por tanto al exhumar el paquete estratigráfico de **UE 162** son las capas superficiales del relleno de esta gran fosa:

- **UE 196.** Estrato de tonalidad amarillenta y textura granulosa, dispuesto en un ligero talud que desciende en sentido E-W. Se sitúa en el extremo NW del Ambiente 28, apoyándose contra la exedra del muro de **UE 3304**, contra el muro de **UE 73** y el vano de **UE 163** así como contra el muro de **UE 113**.
- **UE 210.** Estrato de tonalidad parda situado en el ángulo NW del Ambiente 28, apoyándose contra los muros de **UUEE 89** y **113**.
- **UE 202.** Estrato de tierra que ocupa buena parte de la superficie interna del Ambiente 28, abarcando todo su extremo S. Se le apoyan las **UUEE 196** y **210**. Se trata de un estrato caracterizado por una densidad alta de restos de materia orgánica y de fragmentos de cerámica.

La excavación y retirada de estas tres UUEE que colmatan la parte más superficial de la fosa **UE 197** nos llevaron a descubrir su relleno original, que fue registrado como **UE 221**. Es un nivel de tierra de tonalidad parda y tendencia horizontal que ocupa todo el interior del Ambiente 28. Entre sus componentes destaca particularmente la elevada presencia de teselas de mosaico, procedentes de la rotura del pavimento.

Este nivel está cortado por una zanja -**UE 222**- orientada en sentido W-E que fue realizada en el extremo E del Ambiente 28, prácticamente contra el muro de **UE 89**.



Está rellena por **UE 223**, un estrato de tierra de textura arcillosa y tonalidad marrón oscuro. Varios restos de estructuras -algunas *pilae* de un hipocausto- sobresalían de entre la **UE 221**, por lo que deducimos que se trata del nivel de relleno antiguo, relacionado con la rotura del pavimento de mosaico.



Fig. 45. Planta estratigráfica de las UUEE 221 y 223

A la remoción de la **UE 223** le siguió la del relleno de **UE 221**. El resultado no fue otro que la documentación de, tal y como habíamos adelantado, un hipocausto. Registramos una serie de *pilae* de ladrillos besales cuya colocación se realizó atendiendo a una retícula. Empleamos un código que combina letras (filas) y números (columnas) para referenciar la ubicación de cada una de ellas:

- **UE 255.** *Pila* de ladrillos circulares que ocupa la posición A1 de la retícula.
- **UE 236.** *Pila* de ladrillos circulares que ocupa la posición B4.
- **UE 251.** *Pila* de ladrillos circulares que ocupa la posición B3.
- **UE 237.** *Pila* de ladrillos circulares que ocupa la posición B2.
- **UE 256.** *Pila* de ladrillos circulares que ocupa la posición B1.
- **UE 238.** *Pila* de ladrillos besales cuadrados que ocupa la posición C5.
- **UE 239.** *Pila* de ladrillos besales cuadrados que ocupa la posición C4.
- **UE 240.** *Pila* de ladrillos besales cuadrados que ocupa la posición C3.
- **UE 257.** *Pila* de ladrillos besales cuadrados que ocupa la posición C2.
- **UE 241.** *Pila* de ladrillos besales cuadrados que ocupa la posición C1.
- **UE 242.** *Pila* de ladrillos besales cuadrados que ocupa la posición D5.
- **UE 260.** *Pila* de ladrillos besales cuadrados que ocupa la posición D4.
- **UE 243.** *Pila* de ladrillos besales cuadrados que ocupa la posición D3.
- **UE 267.** *Pila* de ladrillos besales cuadrados que ocupa la posición D2.
- **UE 268.** *Pila* de ladrillos besales cuadrados que ocupa la posición D1.
- **UE 259.** *Pila* de ladrillos besales cuadrados que ocupa la posición E6.
- **UE 244.** *Pila* de ladrillos besales cuadrados que ocupa la posición E5.
- **UE 245.** *Pila* de ladrillos besales cuadrados que ocupa la posición E4.
- **UE 246.** *Pila* de ladrillos besales cuadrados que ocupa la posición E3.
- **UE 269.** *Pila* de ladrillos besales cuadrados que ocupa la posición E2.
- **UE 270.** *Pila* de ladrillos besales cuadrados que ocupa la posición E1.
- **UE 247.** *Pila* de ladrillos besales cuadrados que ocupa la posición F3.
- **UE 248.** *Pila* de ladrillos besales cuadrados que ocupa la posición F2.
- **UE 249.** *Pila* de ladrillos besales cuadrados que ocupa la posición F1.



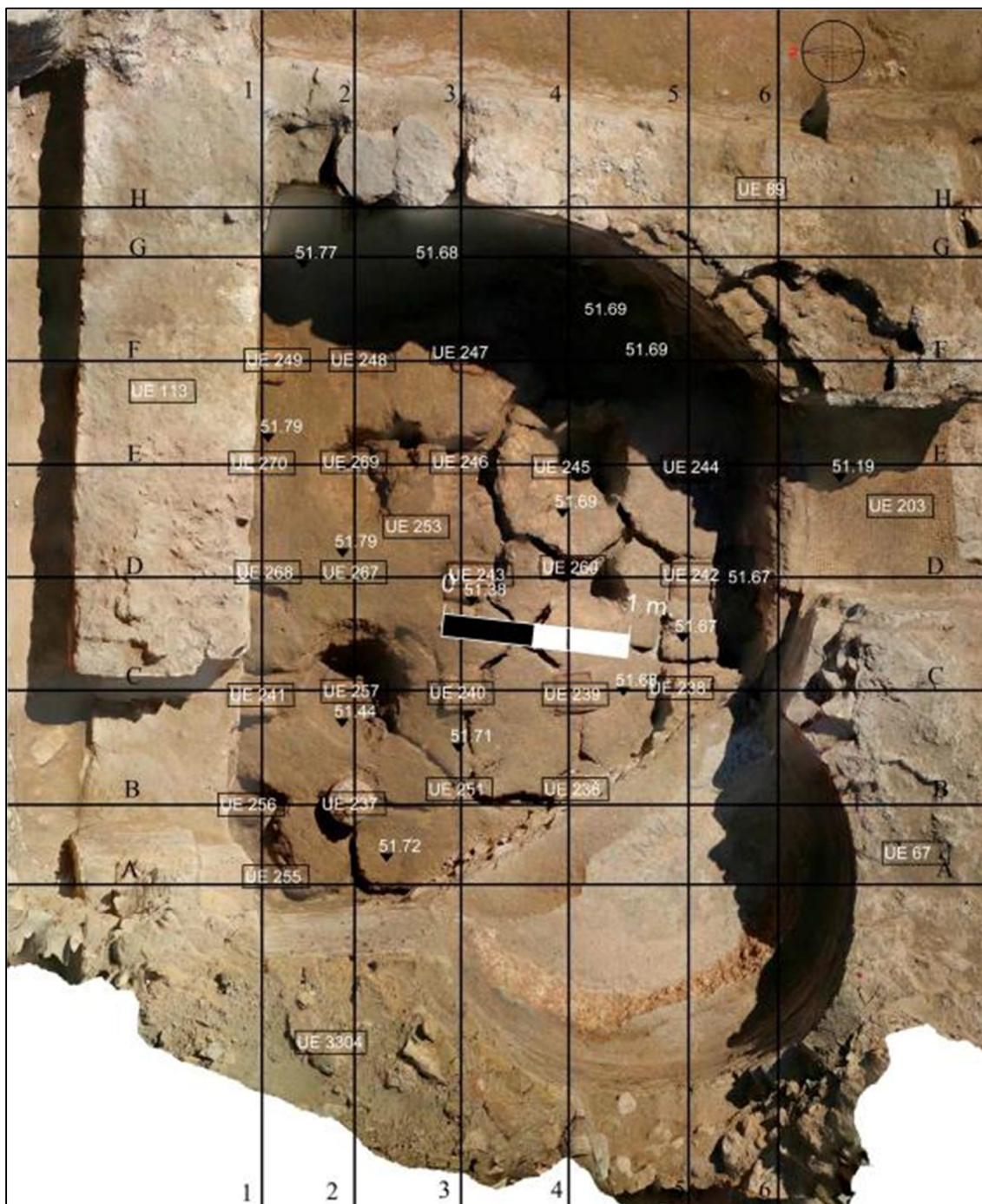
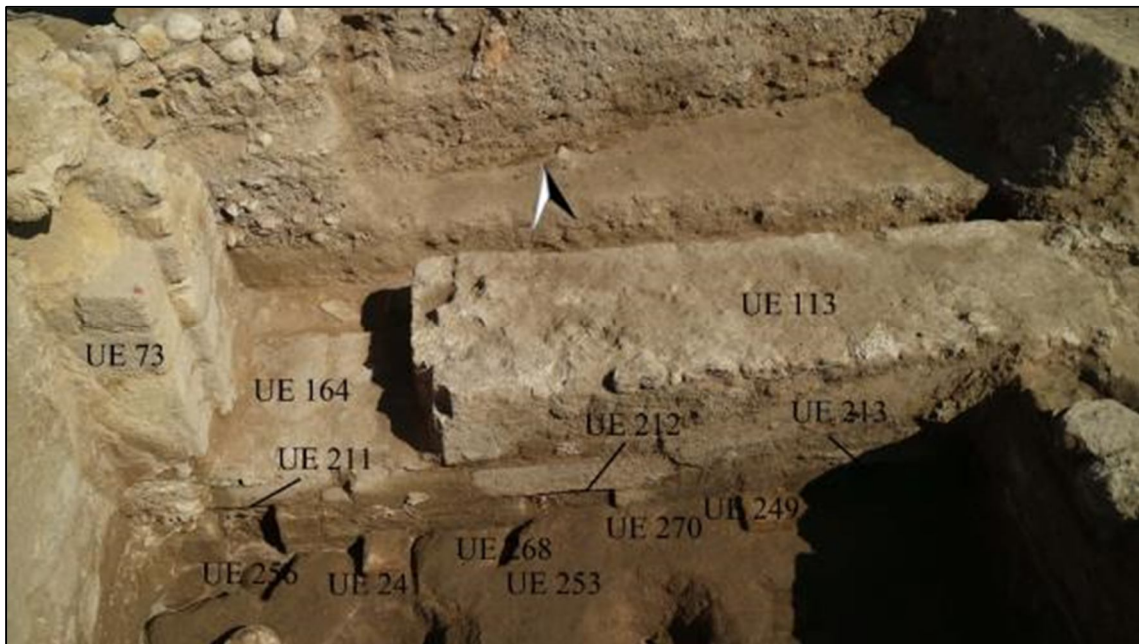


Fig. 46. Planta estratigráfica de la UE 253 y de parte de las pilae del hipocausto

Colmatando el espacio entre las *pilae* identificamos un último nivel: **UE 253**. Se trata de una tierra arcillosa de tonalidad cenicienta que interpretamos como la colmatación natural derivada del uso de la calefacción de la estancia.

Además, hallamos tres oquedades rectangulares que se abren en la cara S del muro de **UE 113**, comunicando el subsuelo del Ambiente 28 con el Ambiente 29. Dichas aperturas se realizaron durante la propia construcción del muro. Una de ellas -**UE 211**-

está situada en el extremo N del muro. Otra de ellas -**UE 212**- ocupa su parte central mientras que **UE 213** hace lo propio con el extremo S de **UE 113**.



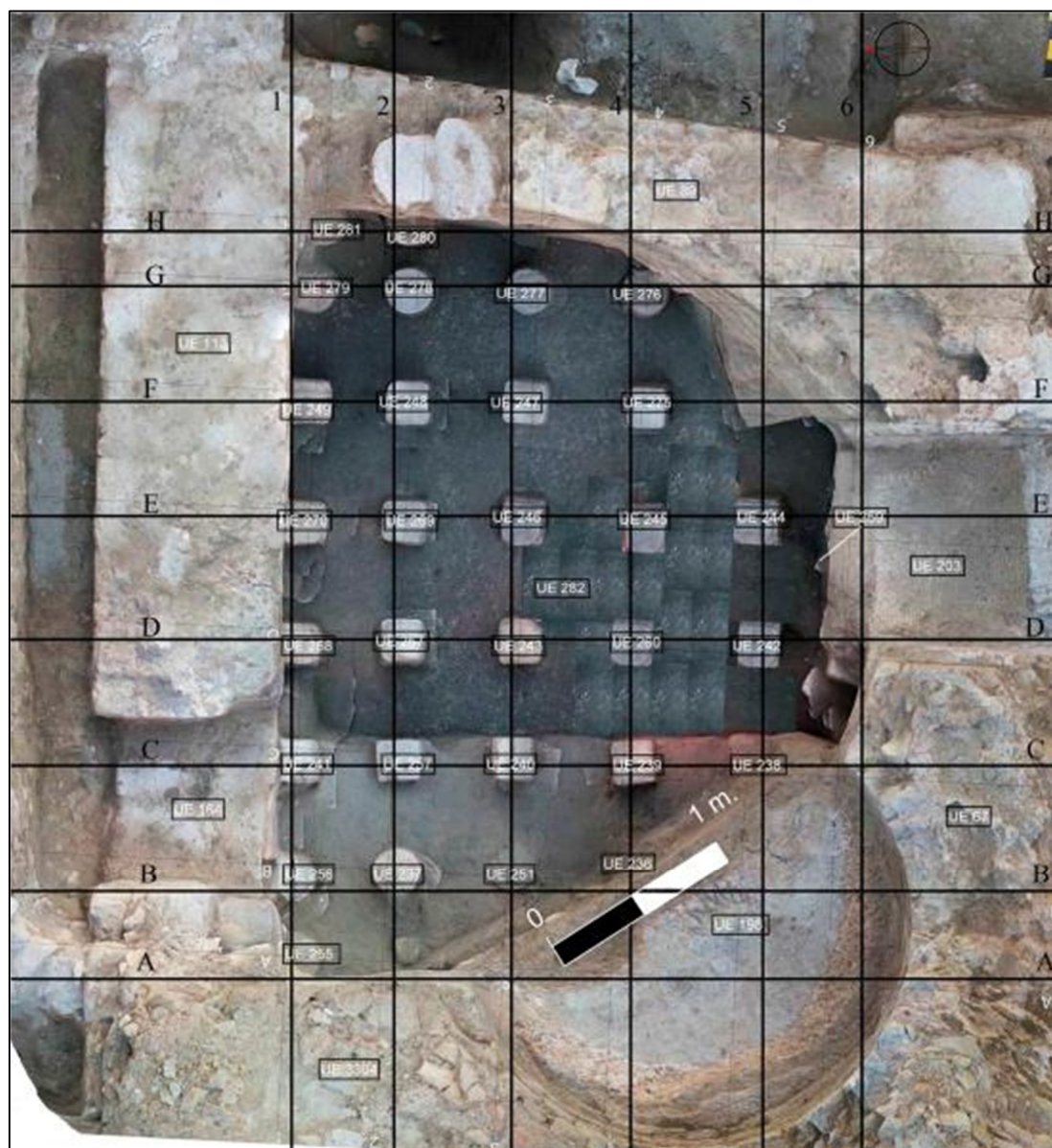
*Fig. 47. Vista en detalle de las aperturas de UEE 211, 212 y 213*

Además de las *pilae* ya documentadas registramos otras que emergen de este nuevo nivel:

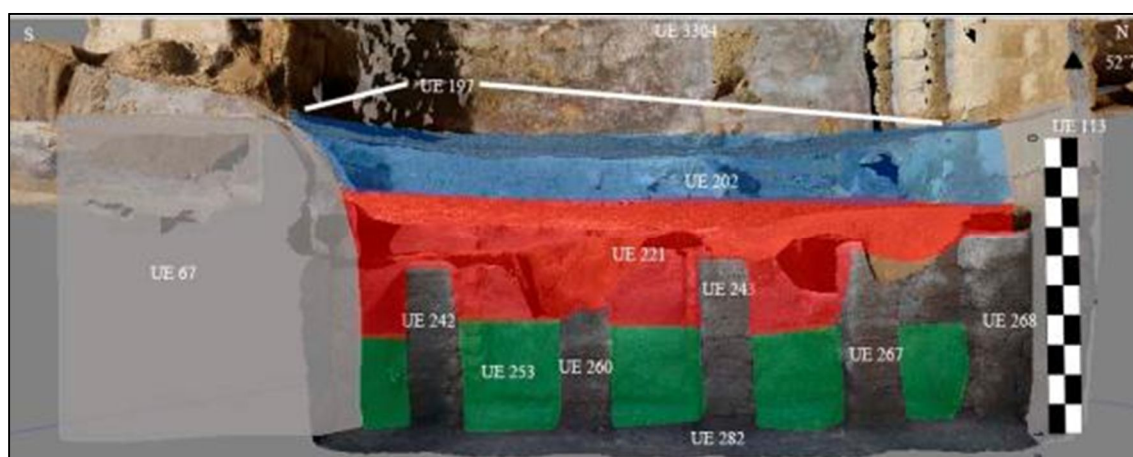
- **UE 275.** *Pila* de ladrillos besales cuadrados que ocupa la posición F4 de la retícula.
- **UE 276.** *Pila* de ladrillos circulares que ocupa la posición G4 de la retícula.
- **UE 277.** *Pila* de ladrillos circulares que ocupa la posición G3 de la retícula.
- **UE 278.** *Pila* de ladrillos circulares que ocupa la posición G2 de la retícula.
- **UE 279.** *Pila* de ladrillos circulares que ocupa la posición G1 de la retícula.
- **UE 280.** *Pila* de ladrillos circulares que ocupa la posición H2 de la retícula.
- **UE 281.** *Pila* de ladrillos circulares que ocupa la posición H1 de la retícula.

Una vez excavamos la **UE 253** alcanzamos finalmente el fondo del hipocausto, que fue registrado como **UE 282**. Este pavimento de *opus signinum* sirve de asiento a todas las *pilae* del hipocausto. El conjunto de *pilae* fue reunido dentro del Grupo de Unidades - **GU- 294**.



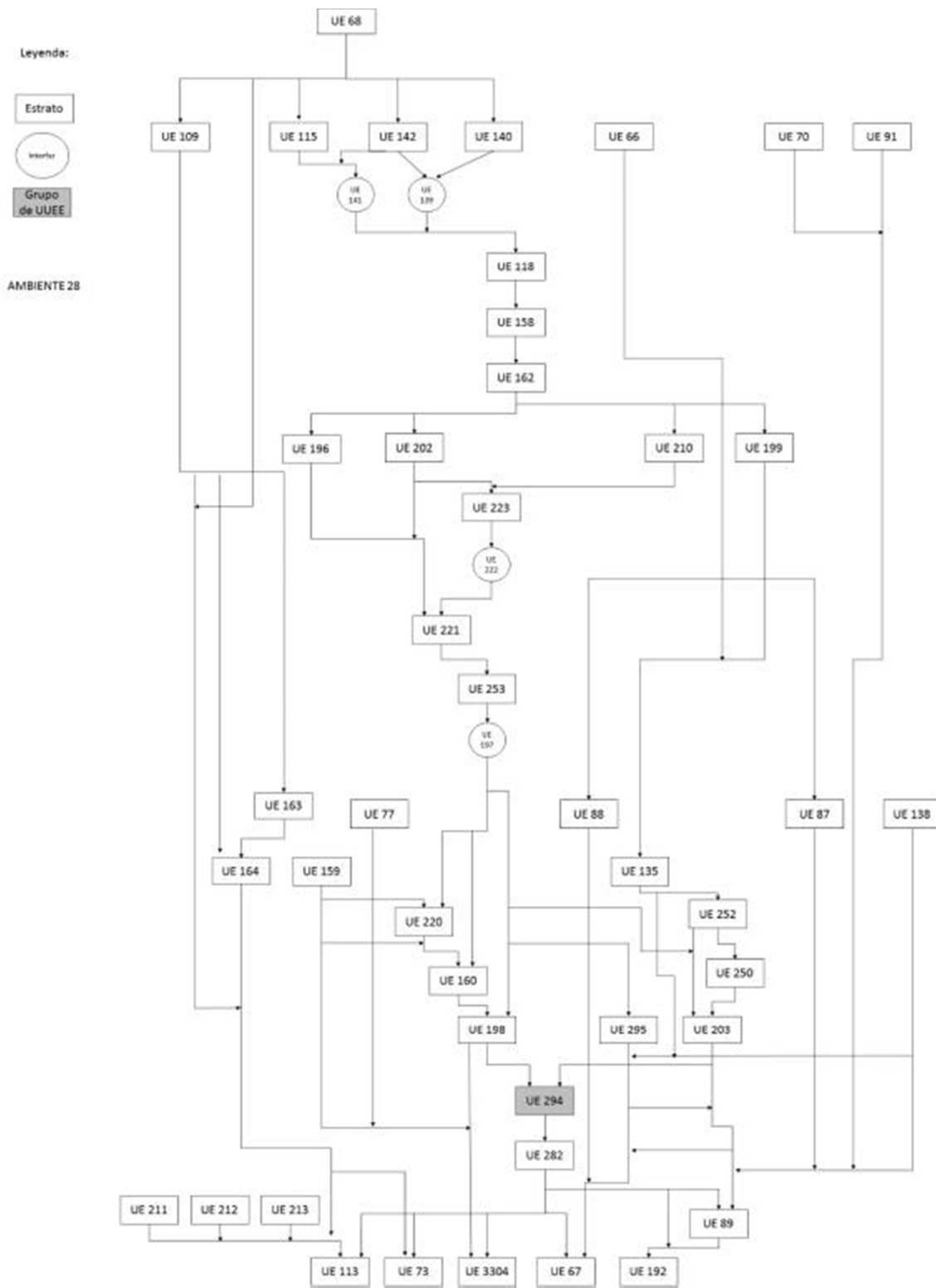


*Fig. 48. Vista del hipocausto del Ambiente 28 tras finalizar su excavación*



*Fig.49. Sección de la fosa de UE 197 y de sus rellenos*





*Fig. 50. Diagrama estratigráfico correspondiente al Ambiente 28*

### **Ambiente 30**

Tal y como ya se ha expuesto, la remoción de la **UE 68** sacó a la luz una serie de estructuras que, junto a otras previamente documentadas, definían una nueva estancia -Ambiente 28-. Del mismo modo, se generaba también un nuevo espacio al E del muro de UE 89 y al N del Ambiente 25. Esta estrecha franja de tierra, cuyo extremo E es el propio límite de la parcela de La Alcudia, pasó a ser registrada como Ambiente 30.

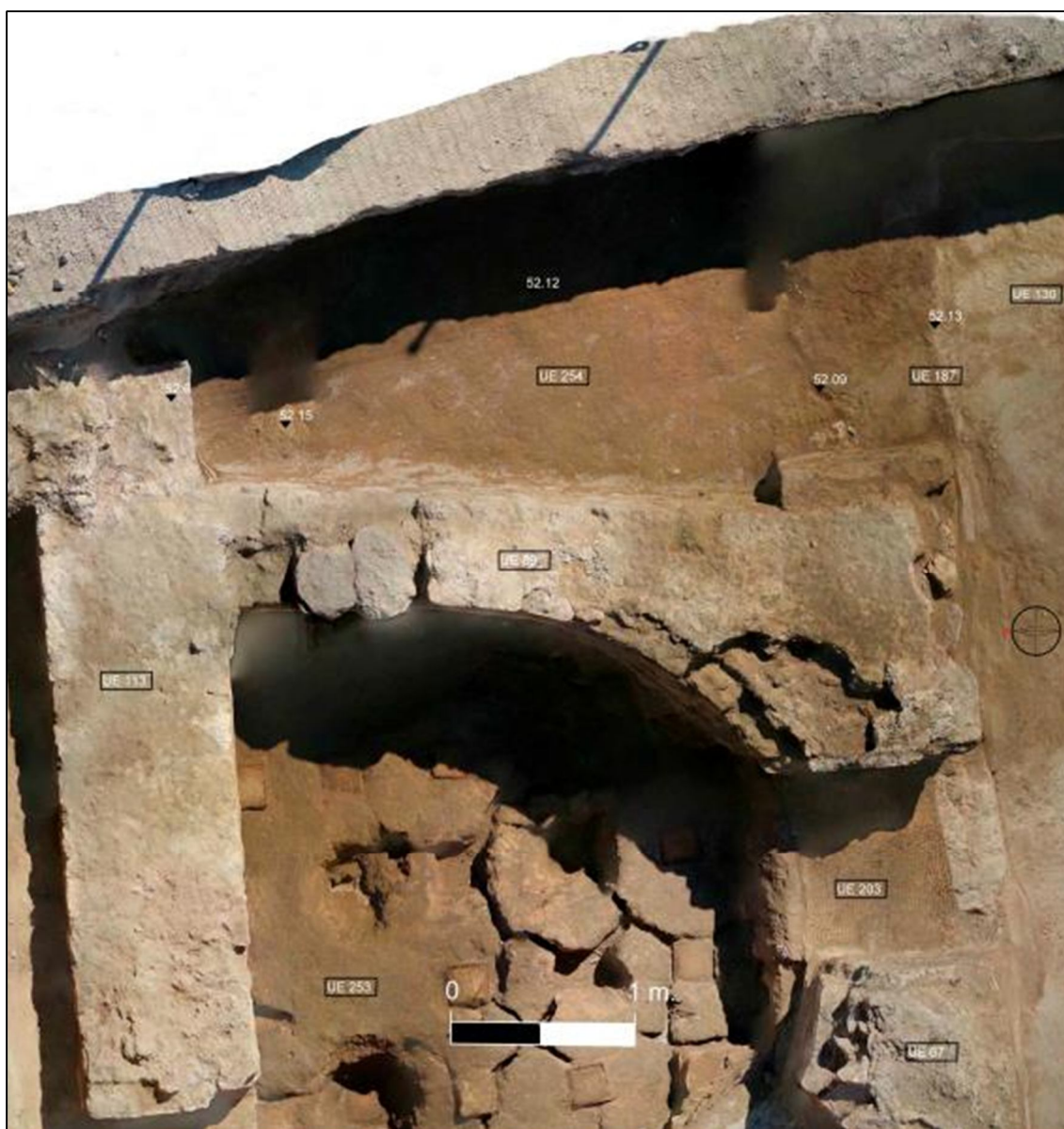


*Fig. 51. Vista parcial del Ambiente 28 y del Ambiente 30, situado al E del mismo. En él se distingue la ubicación de las UUEE 112 y 175*

En el extremo E encontramos un nivel de piedras -**UE 175**- que se pierde bajo el límite del yacimiento. Procedimos a excavar la parte del mismo que quedaba dentro del Ambiente 30. Apoyándose entre la cara E el muro **UE 89** y la propia **UE 175** registramos un estrato de tendencia horizontal, formado por tierra de tonalidad parda. Fue registrado como **UE 112**.

Seguidamente a su documentación, dimos comienzo a su excavación. Descubrimos que cubría a un nuevo estrato de tendencia horizontal que se extiende por toda la superficie del Ambiente. Nos referimos a **UE 253**, un estrato de tierra de tonalidad

castaña marcado por la escasa presencia de materiales arqueológicos. Fue detectado a una cota similar a la del pavimento del Ambiente 25 -UE 130-, del que está separado por el  $\frac{1}{4}$  de caña hidráulica registrada como UE 187. El proceso de excavación de UE 253 no fue finalizado en la presente campaña.



*Fig. 52. Planta estratigráfica de la UE 254*

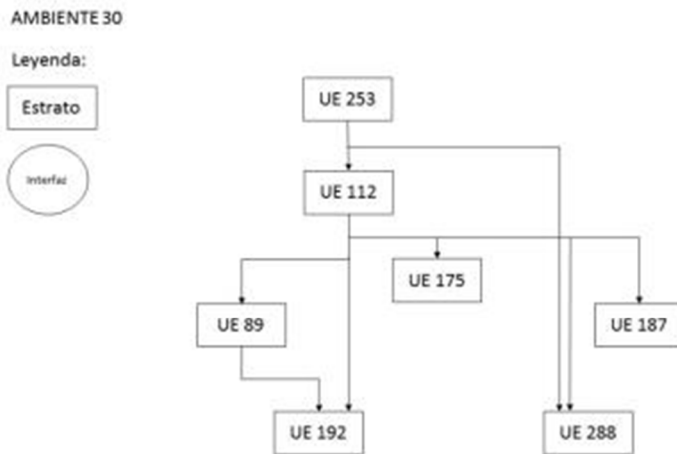


Fig. 53. Diagrama estratigráfico correspondiente al Ambiente 30

### Valoración final del Sector oriental

La excavación realizada en el Corte Este de las Termas Orientales ha permitido identificar un nuevo circuito termal. El Ambiente 25 sería la primera de sus estancias, una suerte de antesala previa al acceso a las salas calefactadas. Solo hemos podido excavar con totalidad una de ellas: el Ambiente 28. El aire caliente llegaba a esta sala a través de los conductos de **UUEE 211, 212 y 213**, todos ellos abiertos en el muro de **UE 113**. Dado que el vano de **UUEE 164 y 163** que se abre al N de esta sala parece dar acceso a una nueva estancia del circuito, interpretamos que el Ambiente 28 es un *tepidarium* o sala templada, que recibe el aire caliente desde una estancia anexa en lugar de hacerlo directamente desde un *prefurnium*.

Todo apunta a que el hipocausto experimentó alguna reforma, perceptible en el tipo de ladrillo empleado para alzar las *pilae* del hipocausto: solo unas pocas de ellas emplean ladrillo circular frente al ladrillo cuadrado. Estas *pilae* se concentran en los extremos E y W de la sala. Llegan a bloquear parcialmente dos de los conductos de aire -concretamente, **UUEE 211 y 213**-, por lo que el flujo de aire caliente sería menor del planificado en origen para esta sala.

El posible incluso que, en algún momento, perdiese incluso su carácter de sala calefactada. El pavimento de **UE 160**, detectado sobre el mosaico de **UE 198**, tiene un espesor de más de 0'1 m. Es una capa lo suficientemente gruesa como para dificultar la calefacción de la estancia. Este momento de reforma iría asociada al cambio registrado en el vano que comunica entre sí a los Ambientes 25 y 28, elevándolo por medio del umbral de **UE 135**. La cota de este umbral coincide con el del nuevo pavimento de *opus signinum*, por lo que debieron formar parte de un mismo momento de uso.

Tras su abandono los distintos niveles de pavimento fueron recortados por una fosa que abarca toda la superficie del Ambiente 28. El hipocausto pasa a ser, en este momento, un vertedero.

Su colmatación está cubierta por un nivel de tendencia horizontal **-UE 158-** que coincide en cota tanto con el umbral como con el pavimento de *opus signinum*. Podría tratarse de un nivel relacionado con una postrera ocupación de la estancia.

Respecto al Ambiente 25, su excavación permitió comprobar que no se trataba de un *frigidarium*. El nuevo circuito termal se iniciaría por tanto en el *tepidarium*. Podemos deducir, por tanto, que en el momento de su construcción el gran *frigidarium* con *natatio* que ocupa el espacio central de las termas sería común a los dos circuitos termales.

El Ambiente 25 sería una antesala del circuito termal, en la que un *labrum* permitiría que los usuarios se refrescasen. La construcción de un canal en su extremo E está relacionada con una misma obra detectada en toda la parte W de las termas.

Tras su abandono, el Ambiente 25 fue rellenado con fragmentos de *opus signinum* **-UE 116-** procedentes de algún otro lugar de las termas. No es descartable que, al menos en parte, provengan de la destrucción del pavimento del Ambiente 28. En este momento el vano que conecta al Ambiente 25 con el 28 estaba tapiado **-UE 66-**. No podemos descartar que, en ese momento, el Ambiente 28 mantuviese algún tipo de uso.

Dado que la excavación del Ambiente 30 no fue finalizada carecemos de datos suficientes como para analizar su naturaleza.



## 8. Ambiente 24



Fig. 54: Ambiente 24

Hemos definido el denominado Ambiente 24 como el espacio comprendido al norte del Amb. 4 y al este del Amb. 23. Se trata de un espacio delimitado al sur por los Grupos de Unidades estratigráficas GU3085, GU3087 y GU3091. Estos grupos de unidades estratigráficas se articulan en torno a los muros UE 3001, 3003 y 3008, respectivamente, que constituyen el lado norte de los Amb. 4 y 5, que hasta el momento hemos interpretado como el *apoditerium* de las termas. Como este vestuario se encuentra a un nivel de uso inferior de más de dos metros por debajo del que encontramos en el Amb. 24, y su pavimento UE3297, sus muros septentrionales tienen funciones de aterrazamiento. Para evitar las filtraciones de agua desde el Amb.24 al interior del sótano (Amb. 4 y 5, *apoditerium*) se adosaron potentes cuartos de caña o bocel al norte de los Amb. 4 y 5: UE3294 (del muro UE 3001), UE3295 (del muro UE 3003) y UE3296 (del muro UE3008). En su lado septentrional el Amb. 24 se encuentra delimitado por la cloaca (UE3293 con dos sumideros (UE3290 y UE3292)).



Fig. 55: Denominación de los elementos principales del ambiente 24

La configuración general del espacio que hemos delimitado como Amb. 24 queda determinada por la presencia de una gran fosa de expolio UE3299 que marca la ruptura del pavimento UE3297, cuyos fragmentos hemos encontrado en niveles de relleno del Amb. 25. La excavación de este sector fue iniciada en campañas anteriores de finales del siglo XX-inicios XXI dirigidas por R. Ramos Fernández y A. Ramos Molina, por lo que no hemos podido documentar los niveles superiores a los que se observan en la ortofotografía inicial (Fig. 55). En los niveles superficiales hemos encontrado un muro N-S (UE4) que subdivide el Amb. 24 en dos, por lo que hemos dividido el ambiente en dos partes: Amb. 24A el más occidental de menores dimensiones y el Amb. 24B de mayores dimensiones. El muro UE 4, que analizaremos más adelante presenta un aparejo irregular de piedras de unos 0,20 m. de diámetro como media, con unas dimensiones totales de 2,80 m. de longitud por 0,75 m. de amplitud. Su cota máxima es de 53.34 m. y la inferior alcanza los 52.71 m s. n. m. (todas las cotas se expresan en metros sobre el nivel del mar), por lo que presenta una cimentación aproximada de unos 0.60 m. de profundidad.

### **Ambiente 24A**

Iniciamos los trabajos en el Amb. 24A a partir del nivel en el que se quedaron las excavaciones de A. Ramos Molina, por lo que parte de la estratigrafía total no podemos documentarla de forma directa. El conjunto del Amb. 24 se caracteriza por la ruptura total de un gran pavimento de mortero romano de *opus signinum* (UE3297) que nos presenta una situación irregular con diferentes fosas de expolio de distintas profundidades y que no ofrecen una estructura definida u orden establecido. En el Amb. 24 A después de la limpieza de las gravas de conservación hallamos la siguiente situación (Fig. 56):

- UE 9: acumulación de piedras UE9 de tendencia circular pero que no parecen relacionarse con ninguna fosa dada su horizontalidad. Podría incluso estar relacionado con operaciones de excavación anteriores.
- UE 3: es el sustrato de tierra sobre el que se recortan las fosas documentadas en este espacio

En el conjunto del Amb. 24A hallamos dos fosas que recortan el terreno:

- UE 36: fosa que presenta una forma alargada pero que adquiere esa forma debido a que el corte se ha decidido que tenga una forma artificial en función del Amb 24, pero que según se observa in situ se extendería por el Amb. 23, teniendo una forma circular. Presenta la típica forma de fosa que se presenta en la superficie de recorte de las UUEE 3 y 55.
  - Rellena por:
    - UE 7-19: Se trata de un estrato de tierra grisácea fina con escaso material cerámico que llega hasta la cota 53,06 m.
    - UE 20-49: Nivel de tierra cenicienta con abundantes carbones con abundantes restos cerámicos que llega hasta 52,60 m.
    - UE 54: nivel más bajo de relleno de la fosa UE 36 de tierra gris con piedras de mediano tamaño
- Al Este de la fosa UE 36, junto al muro UE 4, encontramos otra fosa de menores dimensiones (UE 22) rellena por un estrato de tierra suelta (UE21).



Fig. 56: Inicio excavación Amb. 24A: UE3, 7, 36.

La presencia de un muro de piedra (UE4) (Fig. 55 y 56) en el ambiente 24 nos obliga a dividir dicho espacio en dos (A y B). La forma irregular y la disposición del paramento de *opus incertum* parece indicar que estamos en las fases fundacionales de esta estructura, cimentada sobre la fosa UE111. La fosa de fundación presenta forma de bolsa irregular en su parte oriental (Amb. 24A) y se recorta en el estrato de tierra compacta amarillenta (UE 110). La presencia de una pared de ánfora de pasta itálica en el interior del muro UE4 junto con la aparición de un fragmento de barniz negro Campaniense B tipo Lamboglia 1 (150-0 a.C.) marca una cronología tardorrepublicana, como mucho augustea, para este conjunto constructivo.

### Ambiente 24B



En la parte oriental del Amb. 24, tras la retirada de las gravas de protección hallamos una situación similar al de la mitad occidental, con una gran fosa (UE8) rellena por distintos estratos que responde a la acción generalizada de rotura y expolio (UE3299) de los pavimentos de *opus signinum* UE3297, cuyos fragmentos hemos encontrado en niveles de relleno del Amb. 25.

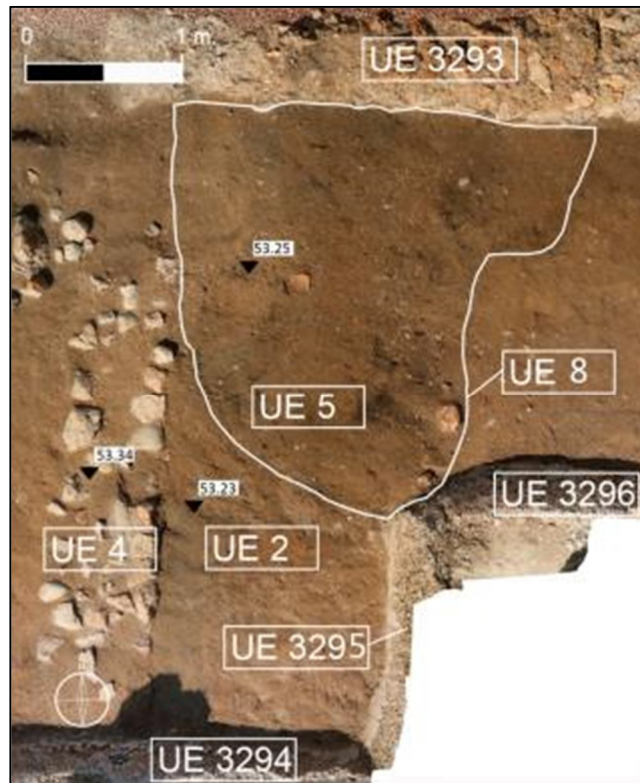


Fig. 57. Situación inicial en el Amb. 24B

La fosa UE 8 ha ofrecido una rica variedad restos materiales que llevan su amortización a época visigoda, como se pondrán de manifiesto ulteriores estudios detallados y publicaciones detalladas. Aunque hemos distinguido 4 estratos o niveles de relleno en función de sus características morfológicas, hemos de señalar que su formación responde a una acción contemporánea por la presencia de fragmentos de los mismo recipientes cerámicos, que se han podido pegar, en niveles distintos. La secuencia estratigráfica que hemos podido documentar en el relleno de la fosa UE8 se detalla de la siguiente forma (Fig. 58 y 59):

- UE 5: Estrato de tierra de color marrón con frecuente presencia de cenizas, muchos restos óseos, malacofauna y cerámica. La composición es mayoritariamente de arcillas poco compactas que alternan con gravas y arenas,

formando un conjunto de tierra bastante suelta. Cabe destacar la presencia de abundantes restos constructivos como ladrillos, tejas, restos de adobes y un importante conjunto de estucos pintados y enlucidos.

- UE 75: Estrato de tierra más suelta con abundante presencia de carbones vegetales, sin apenas malacofauna, pero con presencia de estucos y huesos.
- UE 119: Estrato de tierra arcillosa compacta con menor presencia de restos cerámicos u orgánicos
- UE 146: Nivel de tierra compacta formada por adobes desechos y compactados en el fondo de la fosa UE8.

La fosa UE 8 está recortada en la UE 2, un nivel de tierra compacta con abundantes fragmentos de carbón vegetal, malacofauna y hueso, que se distingue de los estratos de relleno básicamente por su textura meno suelta y el color algo más claro. En conjunto la UE 8 es una fosa embolsada de 1,8 m. de profundidad desde el nivel de pavimentación, que incluso se mete debajo del muro UE4. Los rellenos describen una pendiente NE-SW lo que parecería indicar que fue rellenada desde el lado occidental dibujando líneas de depósito suaves hacia el fondo UUEE5, 75, 119 y 146.

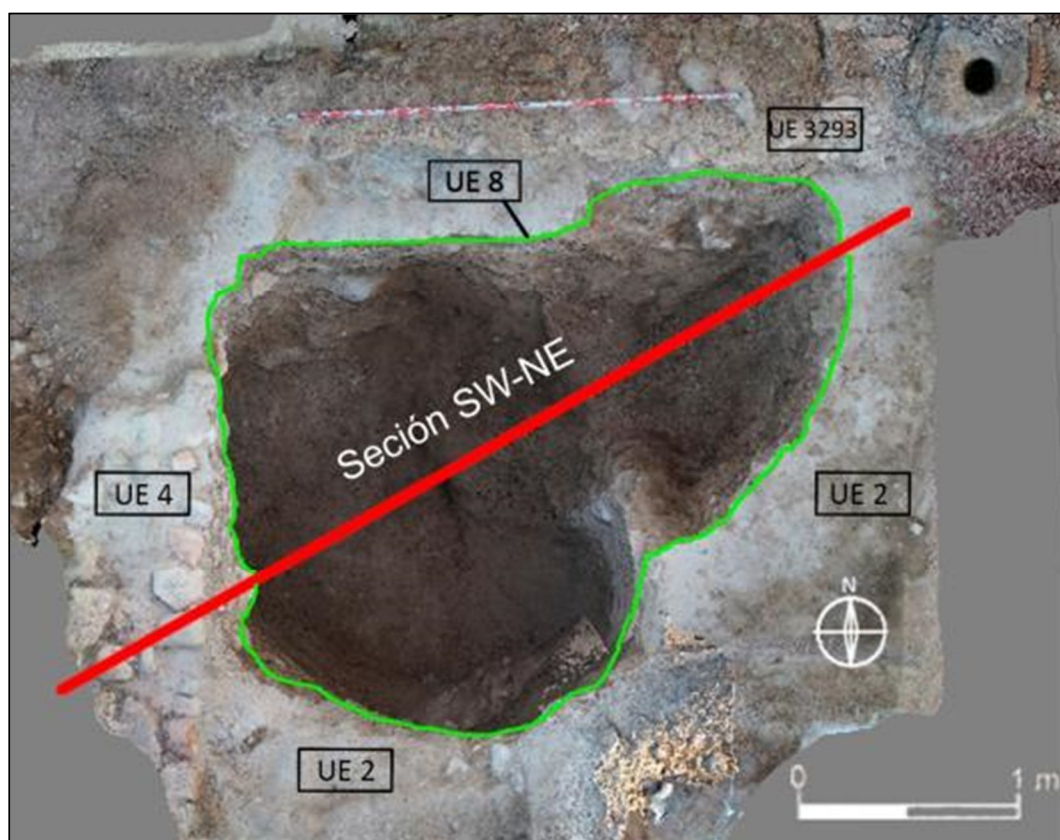


Fig. 58: Fosa de época visigoda UE 8

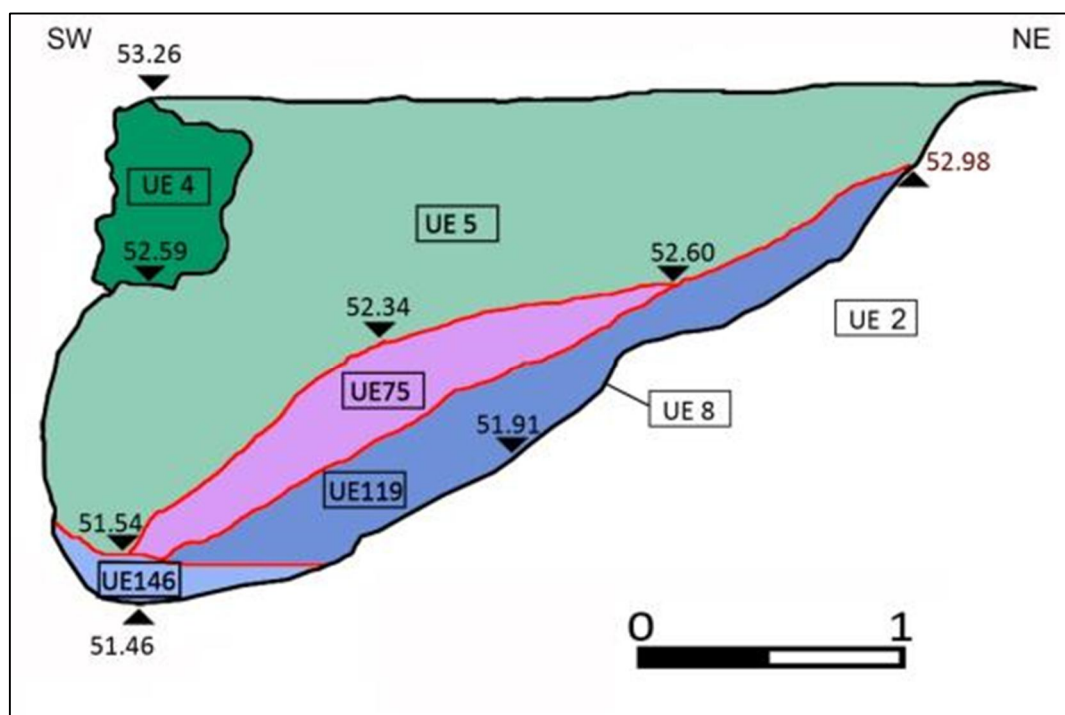


Fig. 59: Secuencia estratigráfica de la fosa UE 8

Una vez excavada la fosa UE8 emprendimos la documentación de los niveles fundacionales del Grupo de Unidades GU3085 y GU3087. De esta forma observamos que la UE2 se correspondía con el nivel de tierra (UE 235) en el que se recortaba la fosa de cimentación (UE111) del muro UE4. Sin embargo, del mismo modo se detecta una fosa de fundación (UE 292) de los cuartos de caña o bocelos (UUEE 3295 y 3294) que señalan el nivel constructivo del *apoditerium* (Amb. 3, 4 y 5). Esta fosa de cimentación (UE 292) se recorta sobre la UE 235 que hemos igualado a la UE 2 y su relleno (UE272) ha presentado, a falta de desarrollar un estudio detallado materiales cerámicos que llevan los rellenos, y por tanto la fundación de dichas estructuras a finales del siglo I d.C. La UE 235, igualada a la UE 2, presenta una textura compacta y una gran cantidad de piedras y cerámica. Al igual que la UE 2 ofrecía una gran cantidad de malacofauna, carbones, restos óseos y cerámica. Por debajo hallamos un nivel (UE 271) arcilloso de tierra compacta carente de material orgánico o cerámico que podría marcar un nivel estéril o básico.

Habría que destacar que las estructuras identificadas en su lado septentrional con los Amb. 3, 4 y 5 (GGUU 3085, 3087 y 3091), cortan claramente al muro UE 4, como hemos podido constatar en los sondeos realizados por debajo del bocel UE 3294 en el Amb. 24A (Fig. 60). Así pues se confirma la secuencia constructiva iniciada por el muro UE4 que en una fase posterior, probablemente finales del siglo I d.C. es amortizado por las estructuras de las termas situadas en el semisótano (Amb. 3, 4 y 5) para que posteriormente detectemos fases de destrucción de pavimentos y fosas de expolio (UE8) de probable adscripción visigoda.



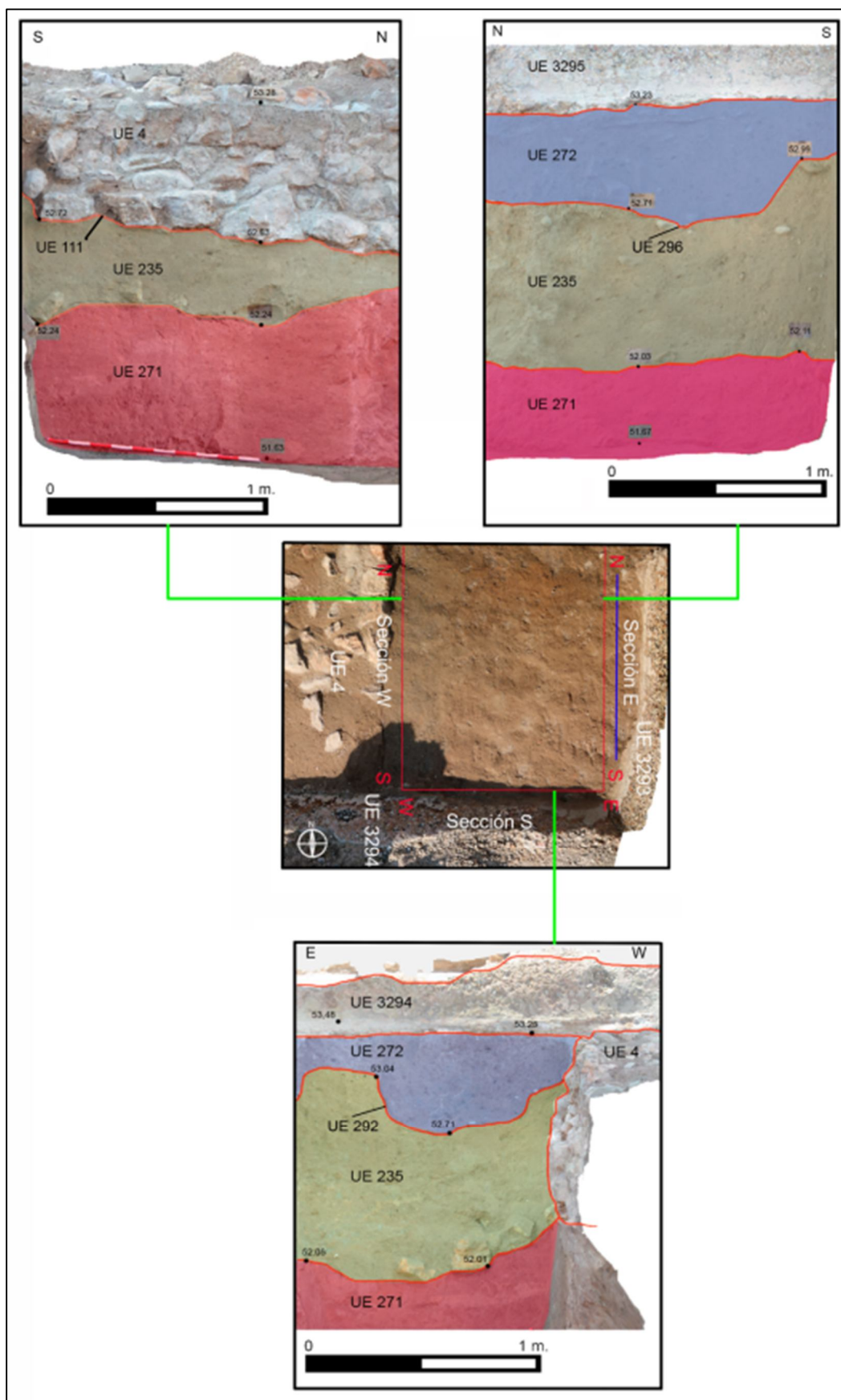


Fig. 60: Secciones de los niveles de cimentación de UE 3294, 3295 y UE4.

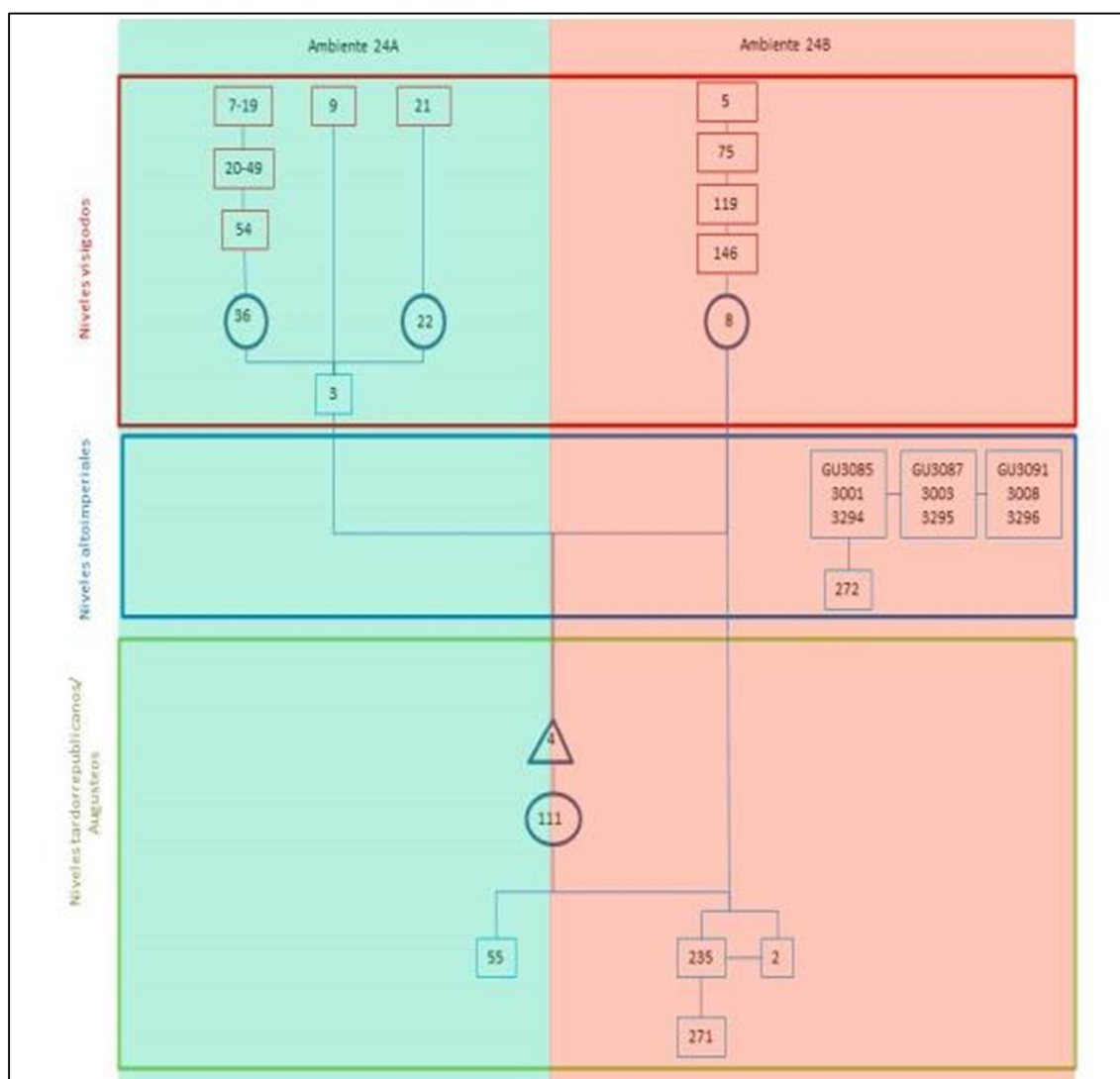


Fig. 61: Diagrama estratigráfico del Amb. 24

## 9. Sector occidental



Fig. 62: Sector occidental

## EXCAVACIÓN SECTOR OESTE DE LAS TERMAS ORIENTALES (Corte A)

En la zona occidental de las termas orientales de La Alcudia, Sector 7F, anteriormente conocido como Sector del Alcantarillado, se plantea una excavación con un doble objetivo, por un lado conocer los límites del edificio en este extremo y por otro lado registrar la estratigrafía del sector en una zona donde previamente no se había excavado.

En primer lugar se procedió a una limpieza del sector así como a reavivar los perfiles en las zonas donde se había excavado con anterioridad, algo que ayudó enormemente en la documentación y posterior conocimiento de las distintas fases.

## AMBIENTE 27W

Dentro de la intervención en la zona oeste del Sector 7F, el primer corte se llevó a cabo en el ambiente 27W, realizando una limpieza del perfil occidental, lo que nos permitió visualizar al menos tres niveles horizontales (UE 11, UE 12 y UE 14) que a priori identificamos con niveles de paso. También se podía ver claramente en el perfil como la UE 12 estaba rota por una gran fosa (UE 15) rellena a su vez por una bolsa de tierra cenicienta que claramente correspondía a un vertido (UE 16).

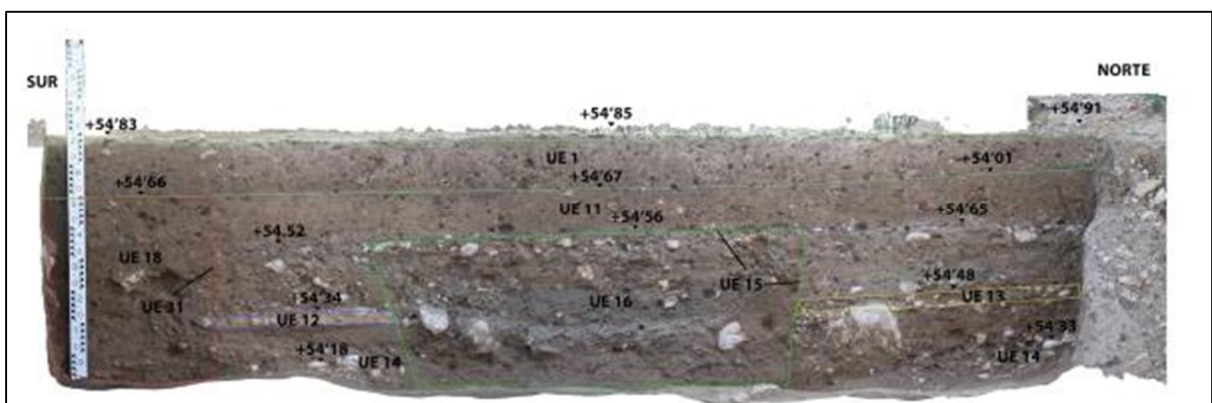


Fig. 63: Perfil W del corte Ambiente 27W previo a la excavación

Siguiendo la secuencia estratigráfica identificada en el perfil comentado, procedemos a una descripción pormenorizada de cada uno de los estratos, a falta de una excavación de los mismos. Nos encontramos en primer lugar con la UE 1 (54'91/54'83), compuesta



por tierra marrón oscura, sin apenas piedras y con algún canto rodado, muy apelmazada, sin olvidar que toda esta superficie ha sido la zona de tránsito desde el 2011 para visitar el conjunto termal. Bajo la UE 1 se puede observar claramente la UE 11, un estrato que describe un plano horizontal (54'66/54'61) formado por tierra compacta de color marrón grisáceo y abundantes piedras de pequeño tamaño. Bajo este estrato, que identificamos con un pavimento, la situación estratigráfica se complicaba, apareciendo una gran fosa en la zona central del perfil cuya cota inferior llegaba hasta el último nivel visible en la sección. Dicha fosa (UE 15) estaba rellena por un estrato de tierra color gris, de aspecto ceniciento, y que permitía ver varios niveles, aunque difícilmente diferenciables sin su excavación, de ahí que no nos hayamos aventurado a una división estratigráfica de este relleno (UE 16) (superior 54'56 e inferior 54'13).

Lo que puede observarse con total claridad es el modo en que esta fosa altera todo el registro estratigráfico presenta en el sector, llamando la atención como en ambos extremos del corte aparece un mismo estrato de tierra marrón grisácea, con piedras mediano tamaño, que aun quedando claro que estamos ante el mismo estrato hemos decidido denominar al meridional UE 302 (+54'54/+54'65) y al septentrional UE 303 (+54'65/+54'70), y del mismo modo se procedió con el pavimento que cubre los estratos descritos: UE 12 (+54'34) en la zona sur y UE 13 (+54'48) en la zona norte, que corresponden a estratos de similar morfología y cotas concordantes: un estrato de tierra color amarillento, con un alto contenido de mortero y pequeños cantos rodados. Su horizontalidad nos hace pensar en un nivel de paso realmente compacto, cubriendo a su vez a otros dos estratos, UE 304, al sur, y UE 305, al norte, formados por tierra marrón, tendente al naranja, con piedras de mediano tamaño. Finalmente, estos dos estratos, similares pero afectados por la fosa UE 15, cubren otro nivel, también de tendencia horizontal cuya composición nos ha resultado complicado describir puesto que se encuentra parcialmente excavada. El estrato, UE 14 (+54'18/+54'33), parece estar también partido por la fosa UE 15, aunque debido a su cota no pudimos verificar esto con total claridad, de ahí que no hayamos podido dar un número distinto al estrato en su lado sur y en su lado norte.

Esta secuencia identificada en el perfil resultó desde el principio todo un indicio para pensar que nos encontrábamos en todo momento fuera del edificio, pero a pesar de ello se procedió a la apertura del primer corte en la zona. Así, identificamos hasta tres posibles niveles de paso en esta zona, dos de ellos afectados por una fosa, situando esta en un momento anterior a su relleno, UE 16 y a al uso del nivel UE 11, pero posterior al uso de los niveles de pavimentación UE 12-13 y UE 14.

De este modo, nos decidimos a plantear un corte inmediatamente al sur del perfil y el oeste, en forma de L, para conocer con más detalle la estratigrafía descrita.

Tras la excavación de la UE 1 (+54'83/+54'95), un estrato de tierra marrón oscuro, muy compactada, con presencia de gravas azules provenientes del acondicionamiento del entorno, pudimos apreciar la presencia de distintos estratos que a continuación pasamos a describir.



Fig.64: Vista del corte 27W previo al inicio de la excavación, UE 1

De forma general se extendía por casi toda la mitad occidental del corte un estrato, UE 17(+54'81/+54'67), de tierra marrón oscuro, similar en color a la UE 1, aunque menos compacta y con alguna piedra de mediano tamaño. Este cubría casi parcialmente una

incipiente mancha de tierra marrón oscuro, tendente al gris, y ostensiblemente más suelta, que se concentraba en la zona central del corte, UE 18 (+54'63/+54'76), quedando delimitada en su zona este por una dispersión de piedras de mediano y pequeño tamaño que parecían mantener una alineación norte-sur. De hecho, conforme avanzó la excavación de la zona pudimos ver que en efecto este estrato corresponde a la zona superior del muro UE 29 (+54'77/+54'42), que delimita el ambiente 27 en su extremo oeste. Hay que añadir también, como la UE 17 cubría parcialmente la zona oeste del corte, dejando ver conforme avanzó la excavación un muro con orientación este-oeste, apoyándose en su extremo occidental en otro orientado en dirección norte-sur a lo largo de todo el corte.

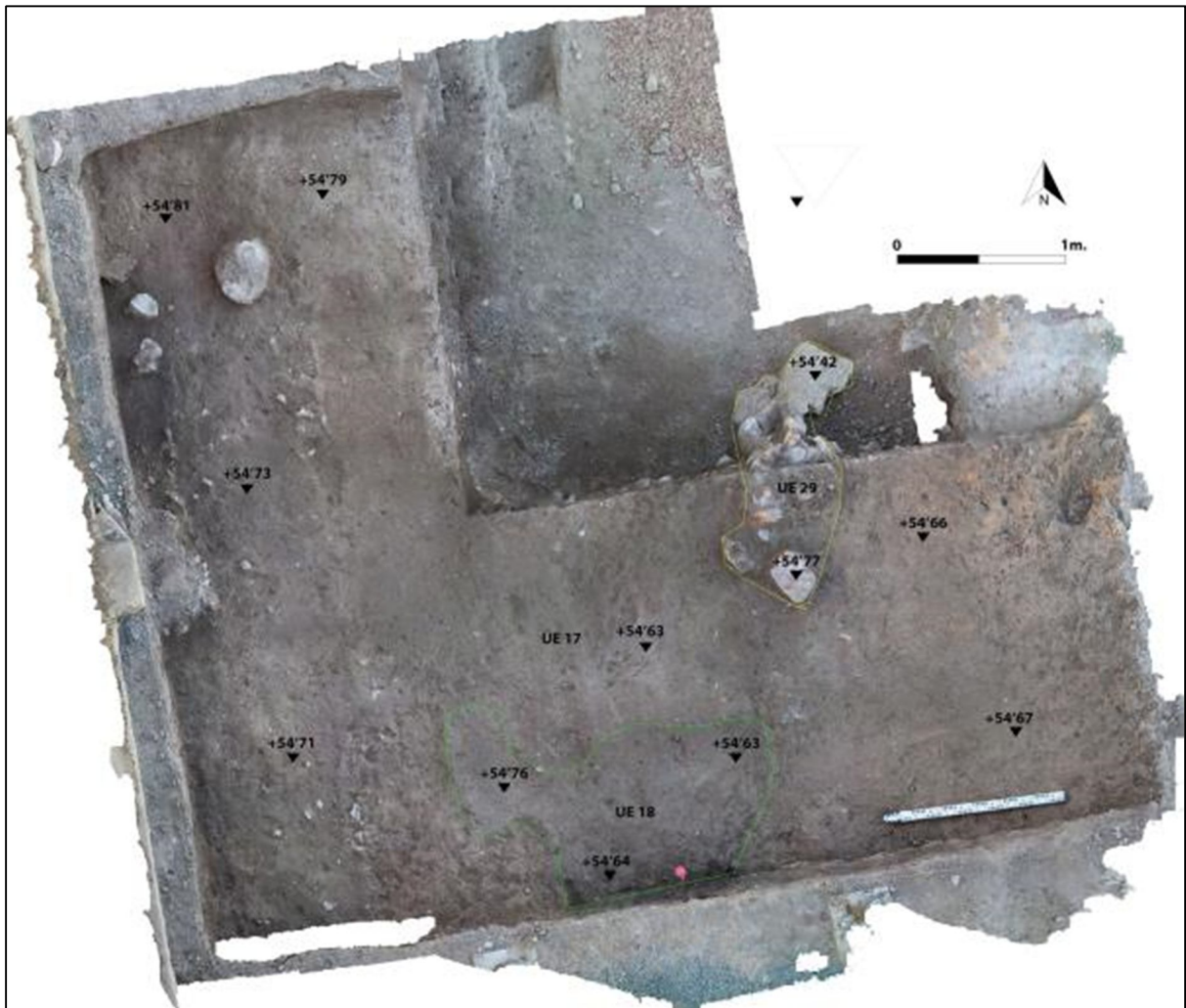


Fig.65: UE 17 en el Ambiente 27W

Una vez finalizada la excavación de la UE 17 la situación quedó del siguiente modo (figura 104): la aparición de un muro, UE 30 (+54'75/+54'65) compuesto por pequeños



mampuestos trabados entre sí con barro, usando dentro de su obra incluso fragmentos de enlucido pintado muy probablemente provenientes del entorno más cercano, con una orientación este-oeste. Este muro parece apoyarse en la cara oriental del muro UE 28 y en la cara occidental del muro UE 29, con los que hace esquina en ambos extremos. También bajo la UE 17, y apoyándose en toda la cara meridional del muro UE 28, rellenando así el espacio creado entre los muros UE 28, UE 30 y UE 29 (Ambiente 28), apareció un estrato de tierra marrón pardo, no muy compacta, con abundante material cerámico y de descomposición orgánica que denominamos UE 48. Bajo esta unidad estratigráfica, de apenas 30 cm. de espesor, pudimos apreciar una gran mancha de tierra grisácea, UE 18, que adquiere una tendencia ovalada-circular, hasta ver claramente como el muro UE 30 se construía sobre esta tierra. El estrato descrito parece corresponder al relleno de una fosa, UE 31, cuya delimitación completa queda pendiente cara a la próxima campaña de excavación, pero que inicialmente se alargará hasta el límite septentrional del corte 11W. (figura 104)

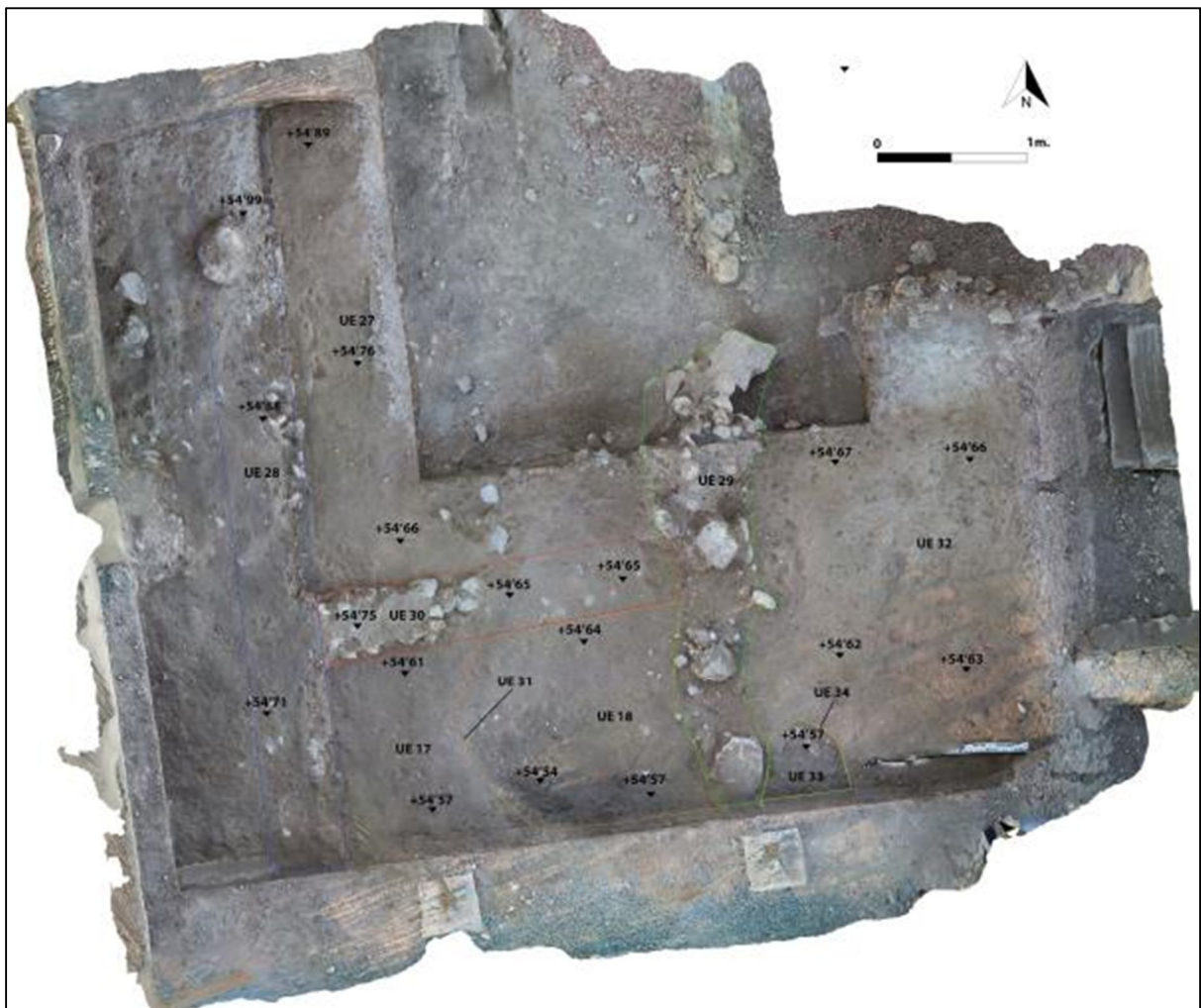




Fig. 66: UE 18, UE 32 y UE 27 en el Ambiente 27, y primeras estructuras

Por otro lado, inmediatamente al este del muro UE 29 observamos la aparición de un nuevo estrato, UE 32 (+54'62/+54'67), de color marrón amarillento, de aspecto y textura arcillosa no muy compacta que se extendía de forma uniforme por todo el espacio oriental del corte. Además, cabe llamar la atención sobre una nueva fosa, UE 34, de tendencia circular (60 cm. de diámetro), inmediatamente al este del extremo meridional del muro UE 29, recortando la UE 32. Esta nueva fosa aparece rellena por un paquete homogéneo, UE 33 (+54'57), de tierra gris, de textura y aspecto ceniciento y con alguna piedra de pequeño tamaño. El extremo sur de la fosa queda por definir puesto que se adentra en el perfil meridional del corte.

Excavada la UE 18 pudimos ver como la fosa UE 31 rompía también parcialmente un estrato compuesto por tierra marrón anaranjado, de tendencia horizontal y con un apreciable alto número de cantos rodados en su superficie, lo que le confiere cierta consistencia al nivel, que identificamos con un nivel de uso o pavimento. Este nuevo estrato, UE 291(+54'56+54'59), aparece recortado en su extremo este por la fosa UE 31, aunque parece extenderse tanto en dirección norte como dirección sur.

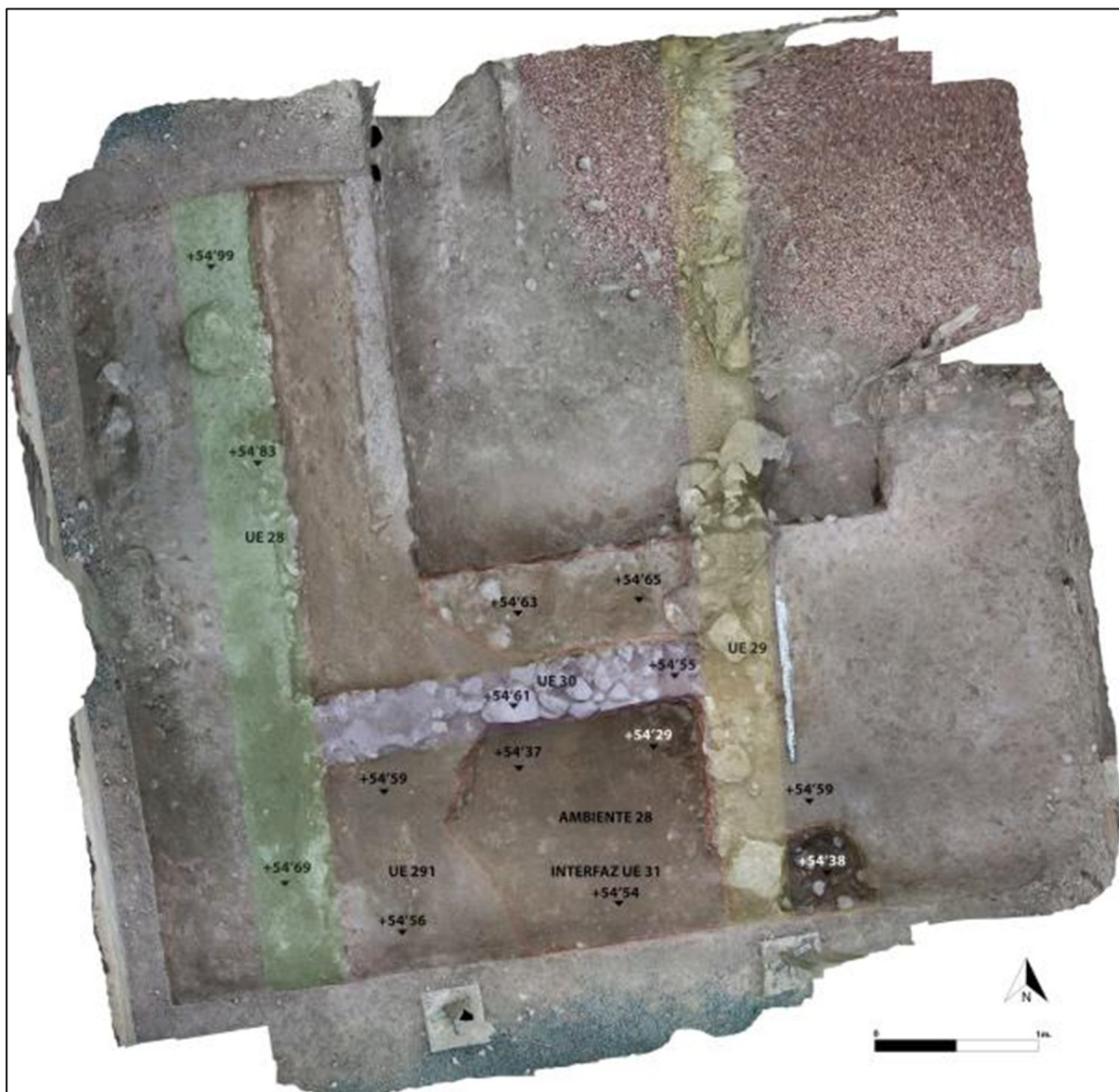


Fig. 67: Fosa UE 31 y Ambiente 28

De este modo, la situación en el corte 27W quedó del siguiente modo: el espacio comprendido entre el ambiente 27, al este, y el muro UE 28, que inicialmente interpretamos como una posible zona viaria que daría acceso al conjunto termal, quedaba interrumpido en su última fase de ocupación por el muro UE 30, dividiendo la posible calle en dos espacios. A su vez, de forma previa a la construcción del muro UE 30, la zona fue alterada mediante la realización de una gran fosa, UE 31, cuyas dimensiones y forma no hemos podido definir en su totalidad, cortando así al menos un nivel de paso, que en efecto podría corresponder al espacio viario comentado inicialmente. Por otro lado, este pavimento, UE 291, afectado por la fosa UE 31, probablemente sea el último de los niveles de paso correspondiente a la calle, puesto

que en el perfil oriental del corte pudimos identificar hasta dos niveles de paso previos al documentado en la excavación.

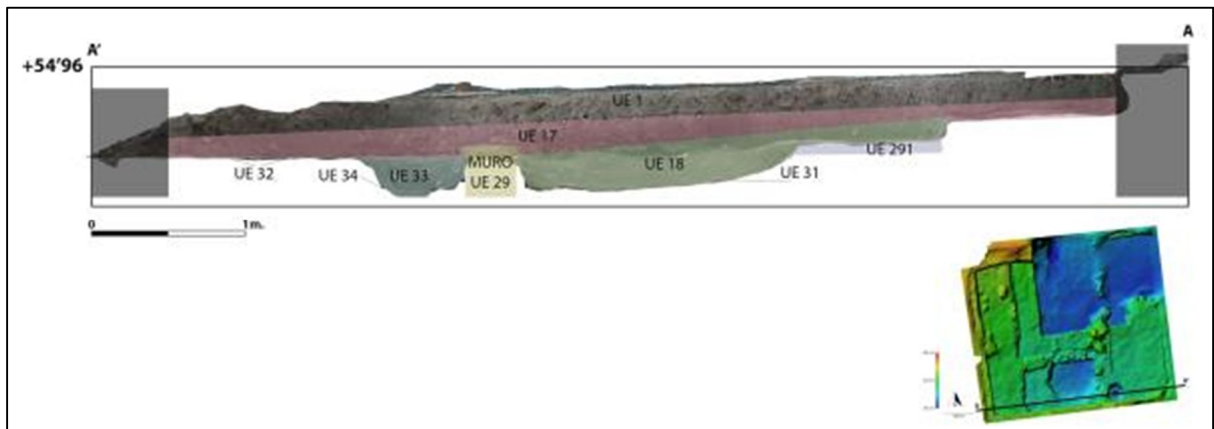


Fig. 68: Sección E-W del Ambiente 27W

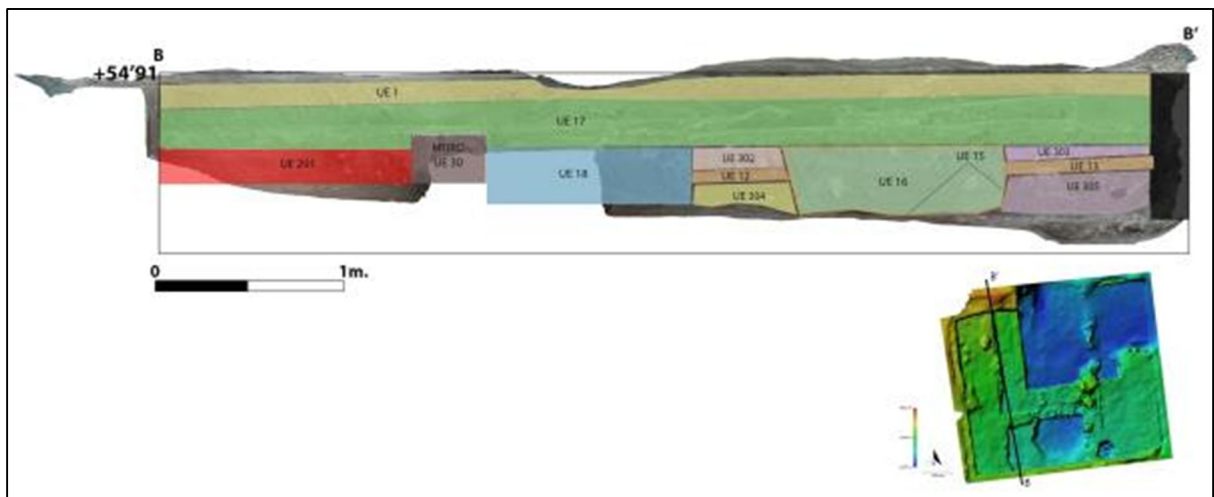


Fig. 69: Sección N-S del Ambiente 27W

En cualquier caso, planteamos para una futura intervención excavar la totalidad del corte para así acabar de documentar los distintos niveles de paso registrados en el perfil y visualizar la extensión total de la fosa UE 31.

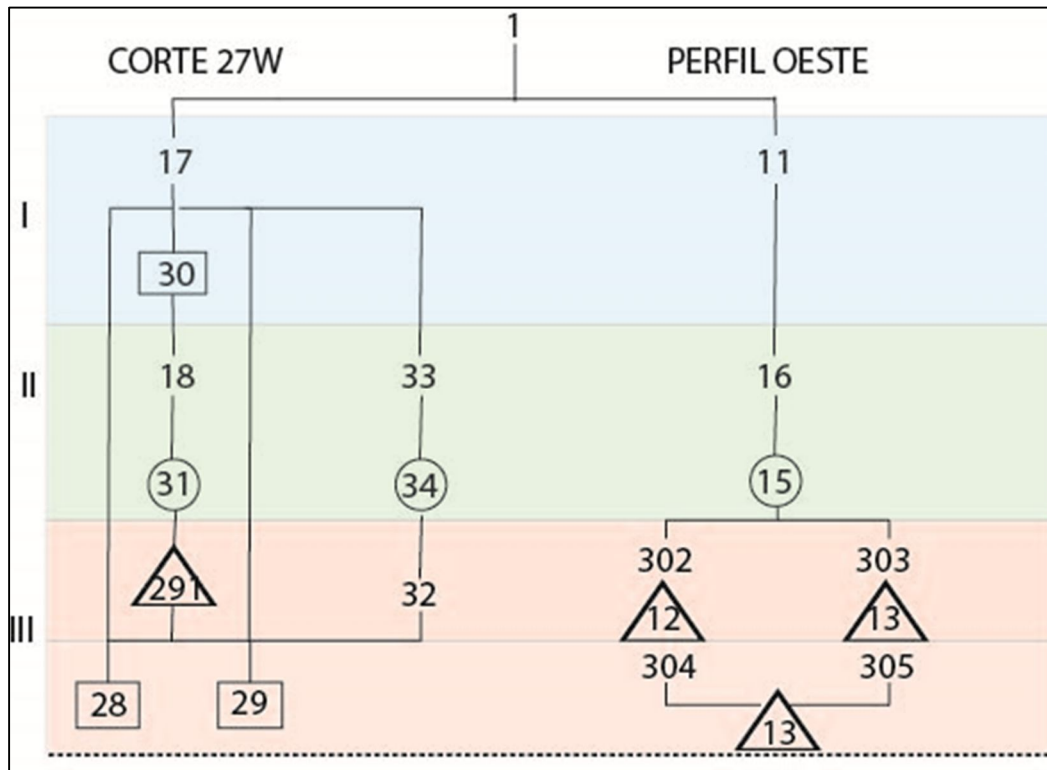


Fig. 70: Diagrama estratigráfico del Ambiente 27W

#### AMBIENTE 11 W

Tras dejar en el estado descrito el corte realizado en el Ambiente 27W se prosiguió con la limpieza de los perfiles existentes, concretamente en el extremo occidental del Ambiente 1, el gran pasillo que parece articular el conjunto termal en su zona meridional. Precisamente en la base del perfil, durante su limpieza, apareció una gran losa que identificamos con el umbral que daba acceso al edificio por este extremo, UE 296 (cota superior +53'77) abriéndose así al espacio viario documentado en la excavación del Ambiente 27W. El umbral tiene una longitud norte-sur de 2'4 m. y una anchura uniforme de 33 cm., observándose en sus extremos una serie de perforaciones que sin duda alguna están relacionados con el anclaje de los goznes de la puerta de acceso. En el extremo sur se pueden observar dos perforaciones circulares, la más grande 7'3 cm. y la segunda al oeste de la primera de 3'4 cm., y a continuación una tercera perforación de forma cuadrangular, de 5'6 cm. por 3'25. En el extremo norte del umbral se pueden ver otras dos perforaciones, la más grande, en eje perpendicular a la más grande del lado sur, con un diámetro de 8'22 cm., en inmediatamente a su oeste otra perforación circular más pequeña, de 3'5 cm.



Hay que destacar también, precisamente sobre los extremos del umbral UE 296, la presencia de sendos muros con orientación norte-sur, estableciendo así el final del ambiente 11 en su extremo occidental junto a la gran losa descrita. Ambos tabiques tienen la misma anchura que el umbral, es decir, 33 cm., y están realizados con un mampuesto de pequeñas piedras y abundante mortero de cal. El muro más septentrional, UE 299 (cota superior de +54'01), apoya en su cara este contra el extremo occidental del banco norte del ambiente 11, y apoya también en la cara sur del muro que delimita todo el ambiente en su extremo norte, conservándose una longitud total de 91 cm. y una altura máxima de 30 cm. El tabique septentrional, UE 300 (cota superior de +54'05), tiene también una anchura de 30 cm. y una longitud conservada de 57 cm. y en su extremo sur imbrica con el muro meridional del ambiente 11.

Barajando la posibilidad de estar ante el acceso al complejo termal por su zona oeste, añadido a la presencia del espacio viario antes comentado planteamos una excavación en esta zona tratando, así confirmar el perímetro del edificio así como obtener un registro estratigráfico de su uso.

Tras la excavación de la UE 1, compuesta de una tierra marrón oscuro, muy apelmazada y compacta por la alta frecuentación de gente en la zona, encontramos un problema que determinará durante toda la excavación la fiabilidad estratigráfica en algunas zonas del corte. La presencia de dos pilones de hormigón que sustentaban una pérgola de madera. Dicho pilones tenían forma de cubo y para su realización se hicieron sendas fosas que modificaron ostensiblemente las unidades estratigráficas más superficiales.

La situación estratigráfica una vez excavada la UE 1 (+55'01/+55'10) presenta dos zonas claramente diferenciadas en el corte, algo que determinará el desarrollo posterior excavación del mismo durante la campaña. La presencia de una gran fosa dividirá claramente el corte en dos partes: la zona oeste, recortada por la fosa, y la zona este, con los distintos rellenos que colapsan la fosa.

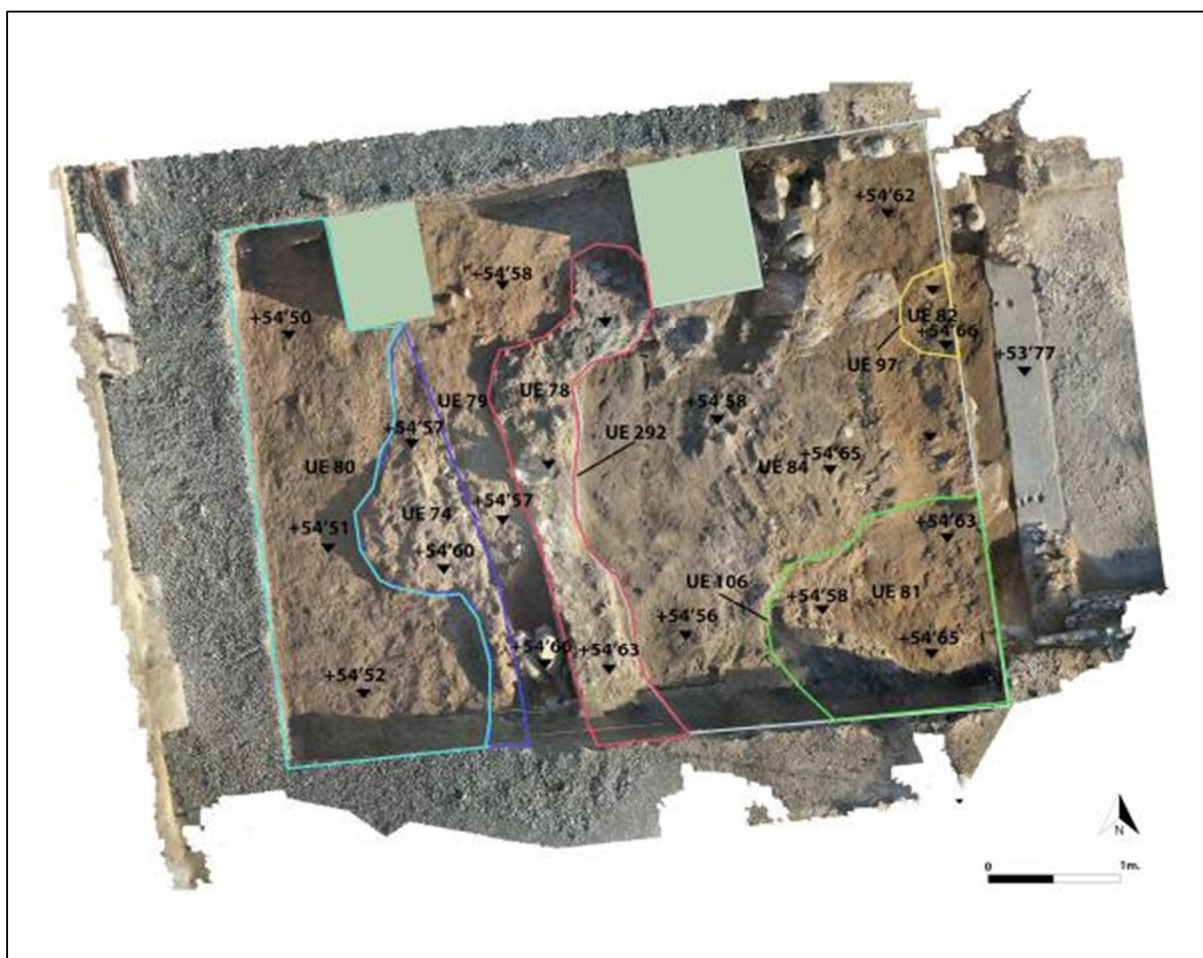


Fig. 71: Situación del Ambiente 11W tras la excavación de la UE 1

De este modo, en primer lugar procedimos a delimitar la extensión de la fosa, UE 292 (+54'63/+53'80), que recorría en dirección norte-sur todo el corte, no visualizando correctamente su continuación en el extremo septentrional debido a la presencia de la zanja realizada para la construcción de uno de los pilones antes comentados. En cualquier caso, en la parte oriental del corte, en el interior de la fosa descrita, pudimos diferenciar distintos rellenos, diferenciados claramente entre sí por su composición y naturaleza. De este modo, en la zona central de la fosa pudimos observar como el relleno, UE 84 (+54'58/+54'62), estaba compuesto por una gran cantidad de material constructivo, donde de forma mayoritaria predominaban los fragmentos de pavimentos, *opus caementicium*, y fragmentos de enlucido, de forma mayoritaria pintado en blanco, todo extremadamente disgregado. Este relleno se veía afectado, a su vez, en su lado norte y sur por otras dos fosas con sus correspondientes rellenos, estos muy similares en cuanto a su composición y aspecto. La fosa sur, UE 106 (+54'58/+54'09), de mayor tamaño y tendencia ovalada, se encuentra rellena por tierra

color grisácea, UE 81 (+54'58/+54'09), no muy compacta, y con abundante material cerámico. Por otro lado, la otra fosa comentada, UE 97 (+54'66/+53'80), se encuentra al norte, y es de menor tamaño, mientras que su relleno, UE 82, es similar, es decir, compuesto por tierra gris, no muy compacta, y también con abundante material cerámico, entre el que destaca una marmita, aunque fragmentada, parcialmente completa, en su cota inferior. Llama la atención como el relleno de la fosa UE 97 cambiaba en cuanto a su color, pasando del gris claro a un gris mucho más intenso, y tomando una consistencia mucho más cenicienta, de ahí que a esa última parte del relleno le diésemos una nueva unidad estratigráfica, UE 96 (+53'99/+53'80).

En primer lugar procedimos a la excavación de la UE 81, tal como hemos comentado con anterioridad, un estrato de tierra gris, de aspecto ceniciento, con alguna piedra de pequeño tamaño y abundante material cerámico, junto a una pequeña representación de material latericio. Posteriormente llevamos a cabo la excavación de la UE 82, de una morfología, aspecto y composición similar a la anteriormente descrita, aunque esta con mayor potencia, coincidiendo su cota inferior con la cota superior del umbral descrito al inicio y que pudimos documentar durante la limpieza del perfil este del corte (figura 110). Cabe destacar durante la excavación de este último relleno la aparición de una olla-marmita de cerámica de cocina tardía, lo cual es un indicio cronológico contundente sobre el marco temporal en el que se produce la amortización de esta fosa. Finalmente también hay que destacar la aparición de un nuevo muro, UE 297(+54'09), bajo la UE 82 en su extremo sur. Este muro está realizado en mampostería ordinaria, abundando el uso de cantos rodados en su manufactura y la ausencia de mortero de cal. Puesto que su cara sur se encuentra parcialmente bajo el perfil del corte, la anchura provisional es de 55 cm., y su extremo este apoya en la cara oeste del muro UE 300.

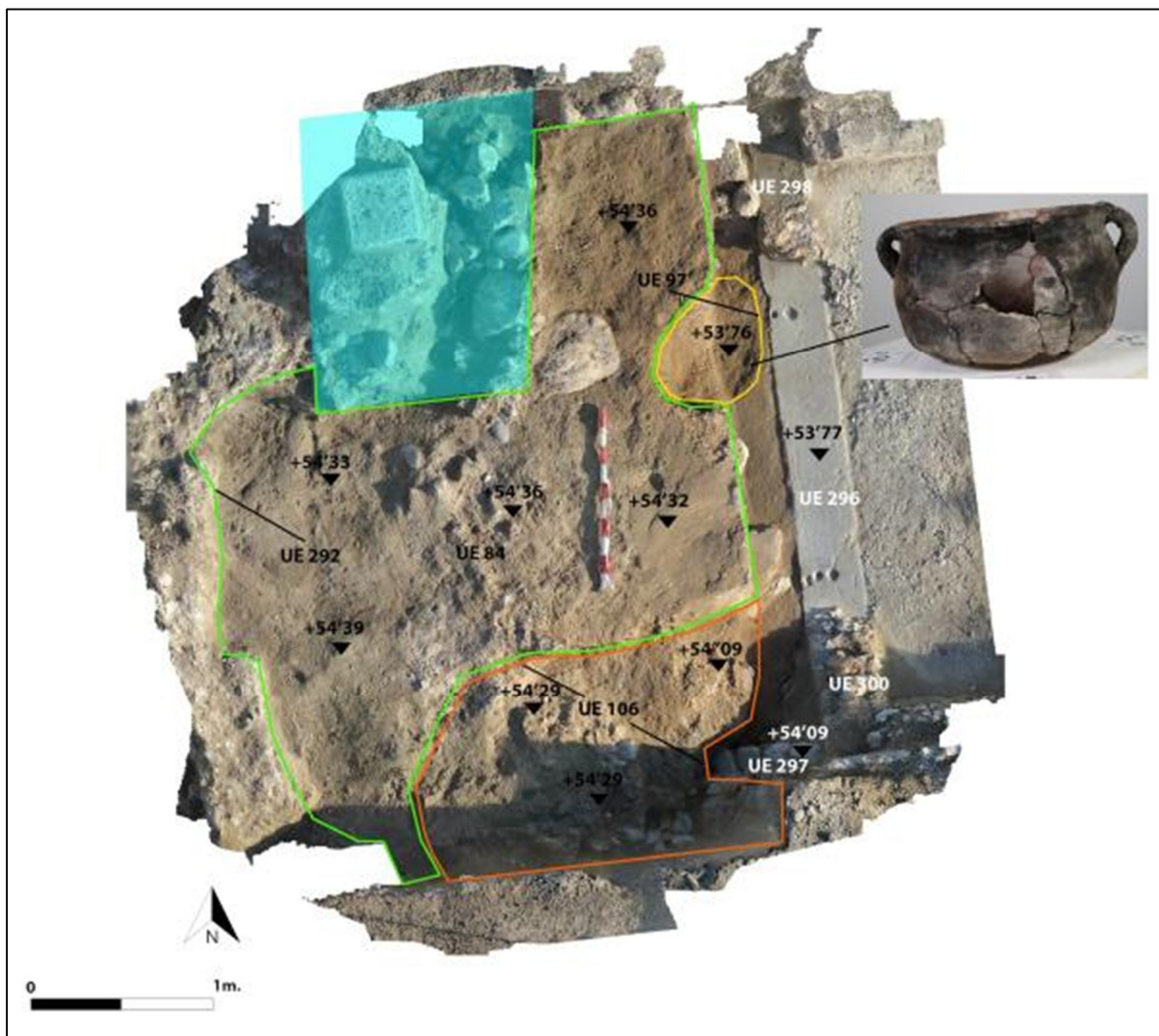


Fig. 72: Excavación de las fosas UE 106 y UE 97

Finalizada la excavación de ambas fosas pudimos delimitar la extensión de la UE 84 por todo el lado oriental del corte, formado, tal como habíamos adelantado, por una gran cantidad de material constructivo sumamente disgregado, y una llamativa concentración de enlucidos, UE 124 (+54'23/+54'14), en su gran mayoría blancos, llamando especial atención una placa en la que pudimos observar la presencia de varios grafitis actualmente en estudio. También, en la zona noreste, pudimos individualizar un conjunto de piedras, de mediano y pequeño tamaño, UE 101 (+54'57/+54'34), que inicialmente identificamos como un posible derrumbe procedente de las estructuras más cercanas. Pero posteriormente, tras la exhumación del estrato, y teniendo en cuenta la composición y naturaleza de la propia UE 84, pensamos que con casi total seguridad la UE 101, junto a la anterior unidad estratigráfica, sean resultado de un



mismo vertido dentro de esta gran fosa. Como parte, también de todo este conjunto de estratos que conforman el relleno de la fosa, apreciamos una concentración en la zona central compuesto por una gran cantidad de fragmentos de pavimento, y arena color amarillenta, UE 122 (+54'13/+53'97), observando que tanto sobre esta unidad como bajo ella seguían apareciendo fragmentos de enlucido blanco, UE 124, y de material constructivo muy disgregado, UE 84.



Fig. 73: Placa de enlucido con varios grafiti en la UE 124







Fig. 75: Imagen inicial del sondeo realizado en la UE 122

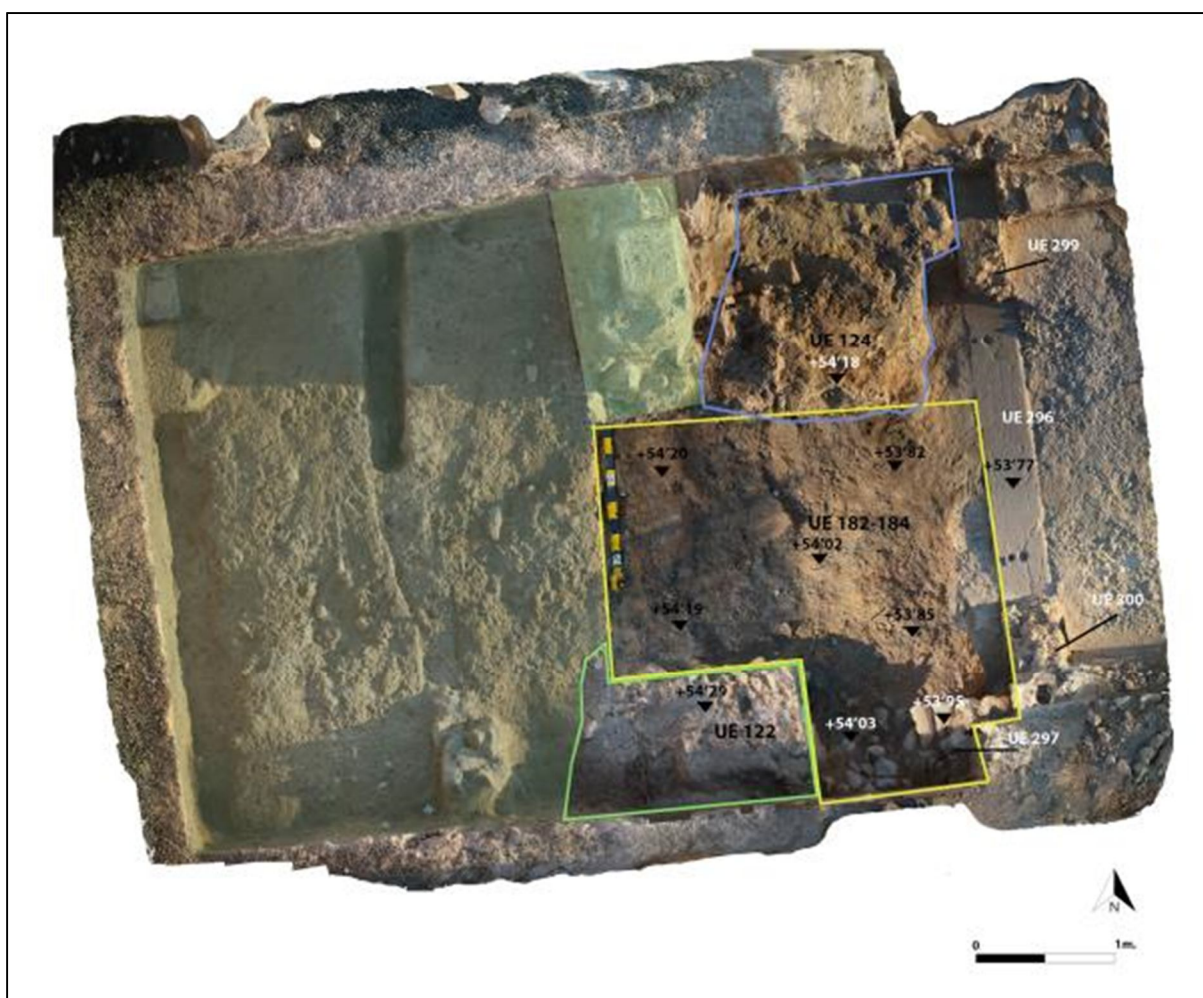


Fig. 76: Delimitación del sondeo realizado en la UE 122

Finalizada la excavación de la UE 182-184, pudimos observar en la zona oriental del corte los estratos que se vieron afectados por la realización de la fosa UE 292, y que posteriormente pondremos en relación con la secuencia estratigráfica de la zona occidental. Por un lado un estrato, UE 183 (+54'20), de tierra marrón anaranjado, ligeramente compacto y que se pudo documentar en primer lugar en la esquina noroeste de la fosa, extendiéndose parcialmente por la mitad occidental de la misma. En el resto oriental observamos la presencia de un nivel de tendencia horizontal, UE 219 (+53'91/+53'77), con abundantes cantos rodados de pequeño tamaño en su superficie, cubierto a su vez por la UE 183 en su zona oeste. Por su horizontalidad y composición identificamos con un pavimento, que además compartía cota superior con la del gran umbral.





Fig. 77: UE 182-184



Fig. 78: UE 219

Tal como adelantamos, la mitad occidental del corte nos mostraba una relación estratigráfica muy distinta a la documentada en la mitad oriental, puesto que no se encontraba afectada por la gran fosa UE 292 anteriormente descrita. Así, bajo la UE 1, identificamos varios estratos que pasaremos a continuación a describir. Nos llamó poderosamente la atención la aparición de una franja de tierra marrón oscuro, tendente al gris que recorría de norte a sur todo el extremo occidental del corte, con 31 cm. de anchura media. Inmediatamente al este de la franja encontramos un nivel, UE 78 (+54'60/+54'47), de tierra marrón oscuro que en su extremo oriental está recortada por la fosa descrita con anterioridad. Por otro lado, al oeste de la UE 79 encontramos otro nivel, UE 74 (+54'52/+54'39), de similar morfología que la UE 78, pero que no se extiende por el resto del corte en la zona occidental, sino que encontramos otro estrato, UE 80, cubierto parcialmente por la UE 74.

De este modo, en primer lugar procedimos a la excavación de la UE 79 (+54'47/+54'26), con una potencia que oscila entre los 30 y 40 cm., dejando al descubierto en el extremo sur un cúmulo de piedras encajadas en esta fosa longitudinal, UE 170, y en el fondo un nivel de tierra marrón tendente al gris, que al igual que la UE 79, también se extendía por toda la fosa. Posteriormente excavamos tanto la UE 78 como la UE 74, observando así de una forma clara como la UE 80 se extendía por toda la mitad occidental del corte, perdiéndose parcialmente la fosa-canal UE 179, en su extremo meridional. El estrato no ofrece una superficie horizontal ni mucho menos, y está compuesto por tierra poco compacta, de color marrón oscuro y alguna piedra de mediano y pequeño tamaño. Conforme fuimos excavando el estrato pudimos observar como la zanja volvía a aparecer de nuevo recorriendo todo el corte de norte a sur, y apareció un nivel horizontal al este y al oeste de dicha zanja. Este nuevo nivel, UE 120 (+54'37/+54'45), estaba compuesto por tierra marrón claro, muy compactado en su superficie, lo que le confería a dicho nivel una gran dureza, con pequeños fragmentos de cerámica y piedras de pequeño tamaño, lo que venía a incrementar la dureza del estrato. Sin duda alguna, nos encontrábamos ante un nivel de pavimentación que cubría toda la superficie del corte, y a una cota similar que el pavimento UE 291 documentado a escasos dos metros al norte en el corte 27W.

117



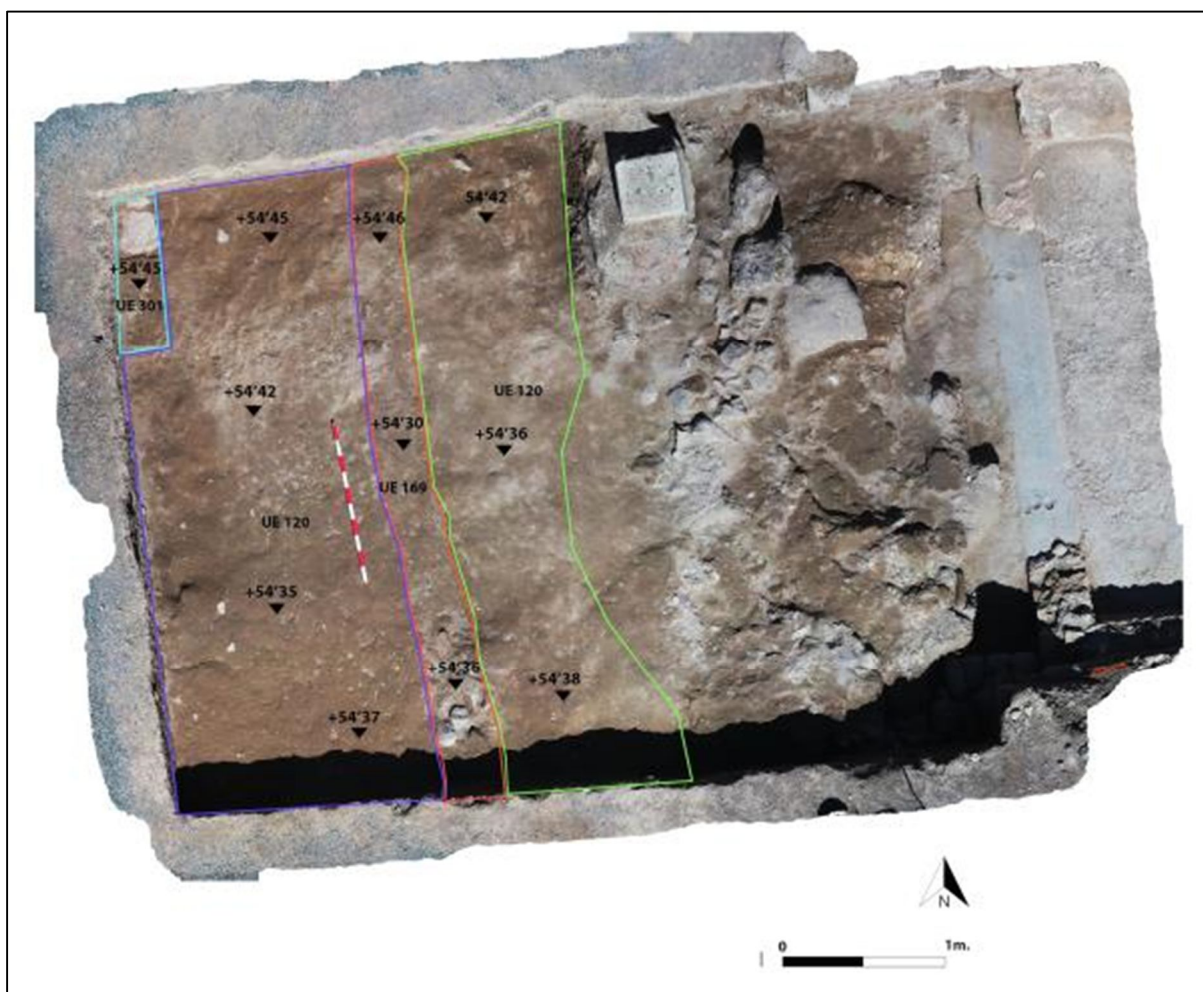


Fig. 80: Excavación de la UE 120 y UE 169

Bajo la UE 120 localizamos un nuevo nivel horizontal, UE 121 (+54'28/+54'31), de similar morfología y dureza, también de color marrón oscuro, con pequeñas piedras de pequeño tamaño y algún fragmento de cerámica. Cabe llamar la atención algo que ya apreciamos durante la limpieza del pavimento UE 120, y es que en la esquina noroeste del corte apareció una estructura en forma de muro, UE 301 (+54'45), compuesto por mampuesto ordinario en su extremo norte y por un gran sillar de tono amarillento en su extremo sur. Este sillar adquiere en su esquina sureste un aspecto romo, lo que hace pensar en algún tipo de cantonera o piedra de esquina.

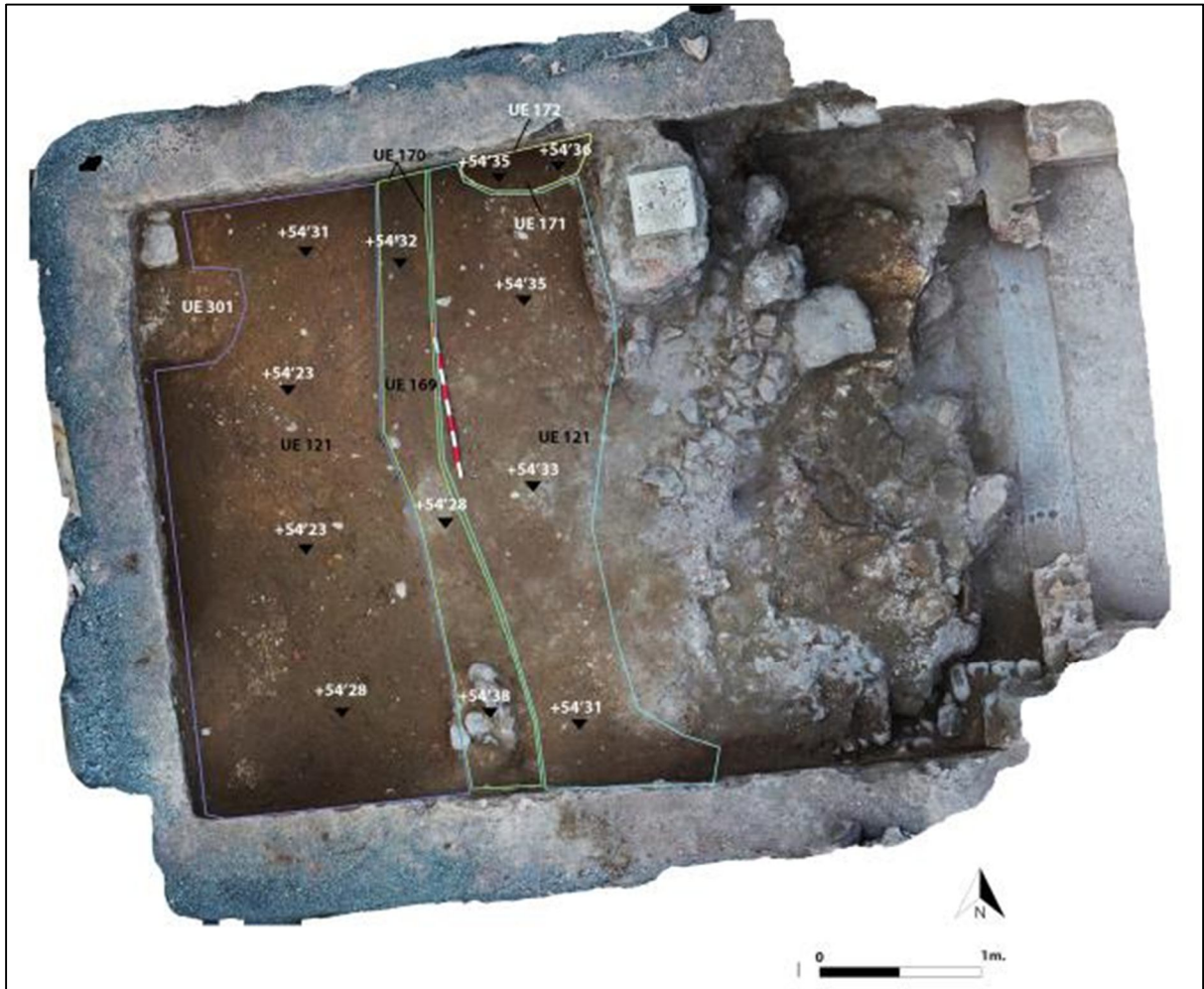


Fig. 81: Excavación de la UE 121 y UE 169

Apreciamos durante la limpieza de la UE 121 una pequeña fosa, UE 172, de tendencia circular, en su extremo noreste, relleno por tierra color gris, muy suelta, UE 171 (+54'35), sin poder delimitar la forma total del conjunto puesto que su extremo septentrional se encuentra bajo el perfil norte del corte. También llama la atención en la esquina noroeste del corte la presencia de un gran sillar de tendencia cuadrangular, amarillento, cuya esquina sureste está perfectamente redondeada a modo de esquina roma. En la esquina suroeste del corte pudimos observar como el pavimento UE 121 se encontraba roto, constatándose que a escasos 5 cm. de profundidad aparecía un nuevo nivel, UE 166 (+54'22/+54'30), de tierra marrón claro, de una gran dureza y con pequeños cantos rodados de pequeño tamaño en su superficie. Conociendo, por tanto, la existencia de este nuevo nivel de pavimentación procedimos a la excavación de la UE

121, para constatar definitivamente como este nuevo nivel se extendía también por todo el corte, a excepción de la oriental, afectada siempre por la gran fosa descrita anteriormente.

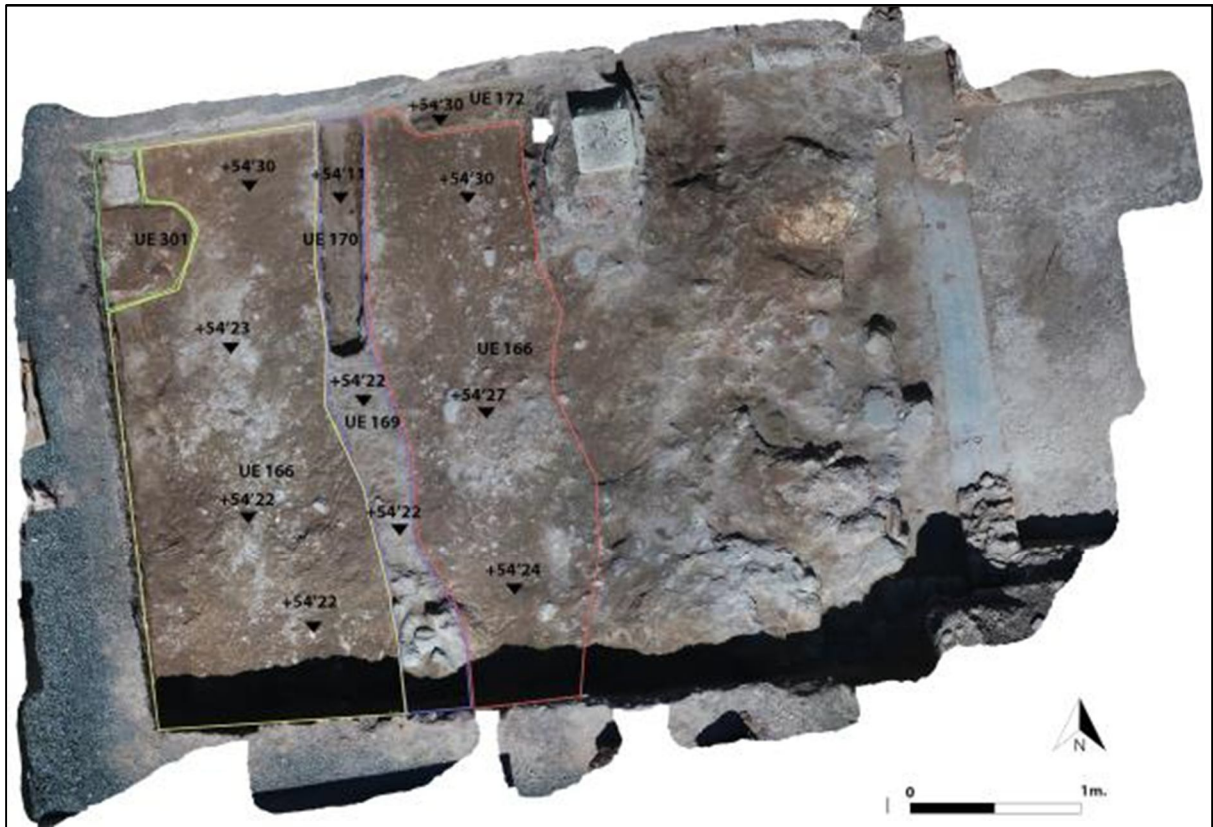


Fig. 82: Nivel de pavimentación UE 166 y canal UE 170

De este modo, la situación del corte queda del siguiente modo:

-en la mitad occidental del corte quedó visible un nivel de pavimentación, UE 166, sumamente compacto recorrido en su parte central por un canal, UE 170, relleno por UE 169, y que dejaba a la vista en la esquina noroeste un sillar perteneciente, con casi toda probabilidad a la cantonera de un edificio a acera. La presencia de esta pieza, junto a la presencia del canal y la morfología del pavimento nos lleva a pensar que estaríamos ante una vía o espacio viario.

-en la mitad oriental, la presencia de una gran fosa, UE 292, que cortaba de forma clara no solo el nivel de paso UE 166, sino todas cualquier otra unidad superior que estuviese



en esa zona; cabe llamar la atención que tras la excavación de los rellenos descritos con anterioridad, observamos como la UE 183 podría estar en relación con la preparación de alguno de los niveles de paso documentados en la mitad occidental del corte, muy probablemente con el nivel de paso UE 166. También hay que destacar que la cota del último pavimento documentado en esta zona, UE 219, se encuentra 50 cm. por debajo de la cota superior del pavimento UE 166, de ahí que por su proximidad es muy poco probable que nos encontremos ante niveles de paso contemporáneos.

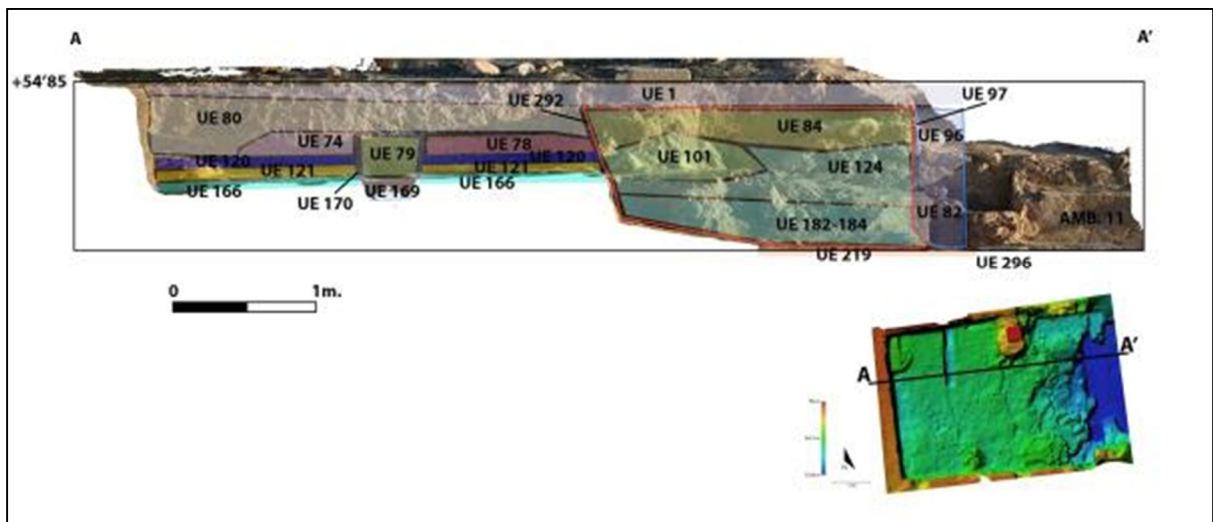


Fig. 83: Sección E-W del Ambiente 11W

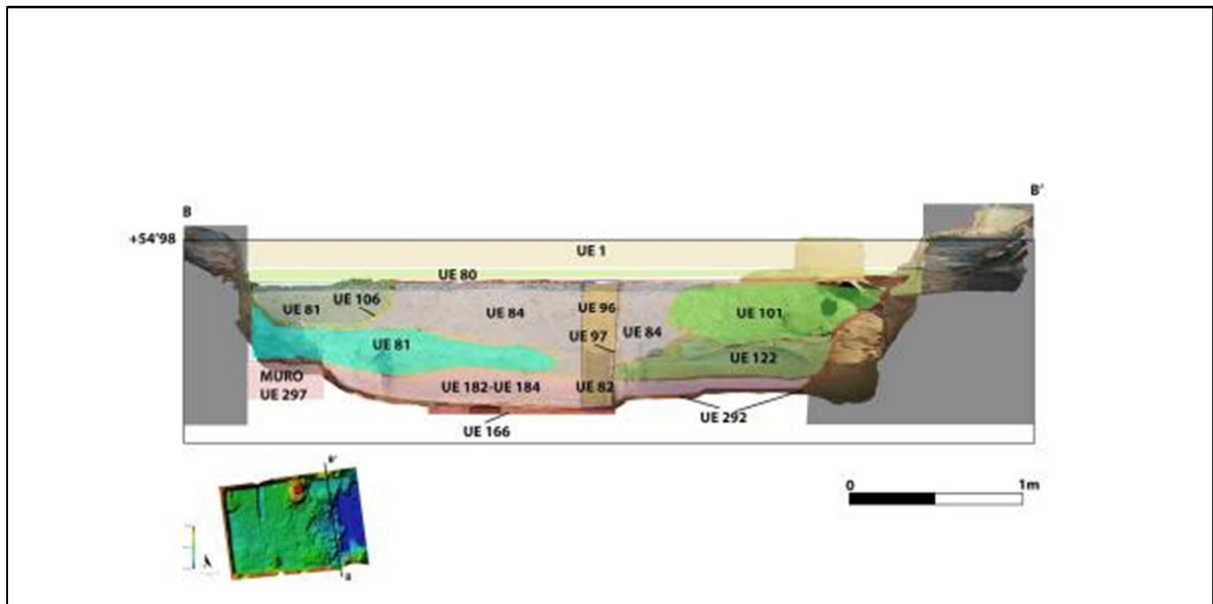


Fig. 84: Sección N-S del Ambiente 11W



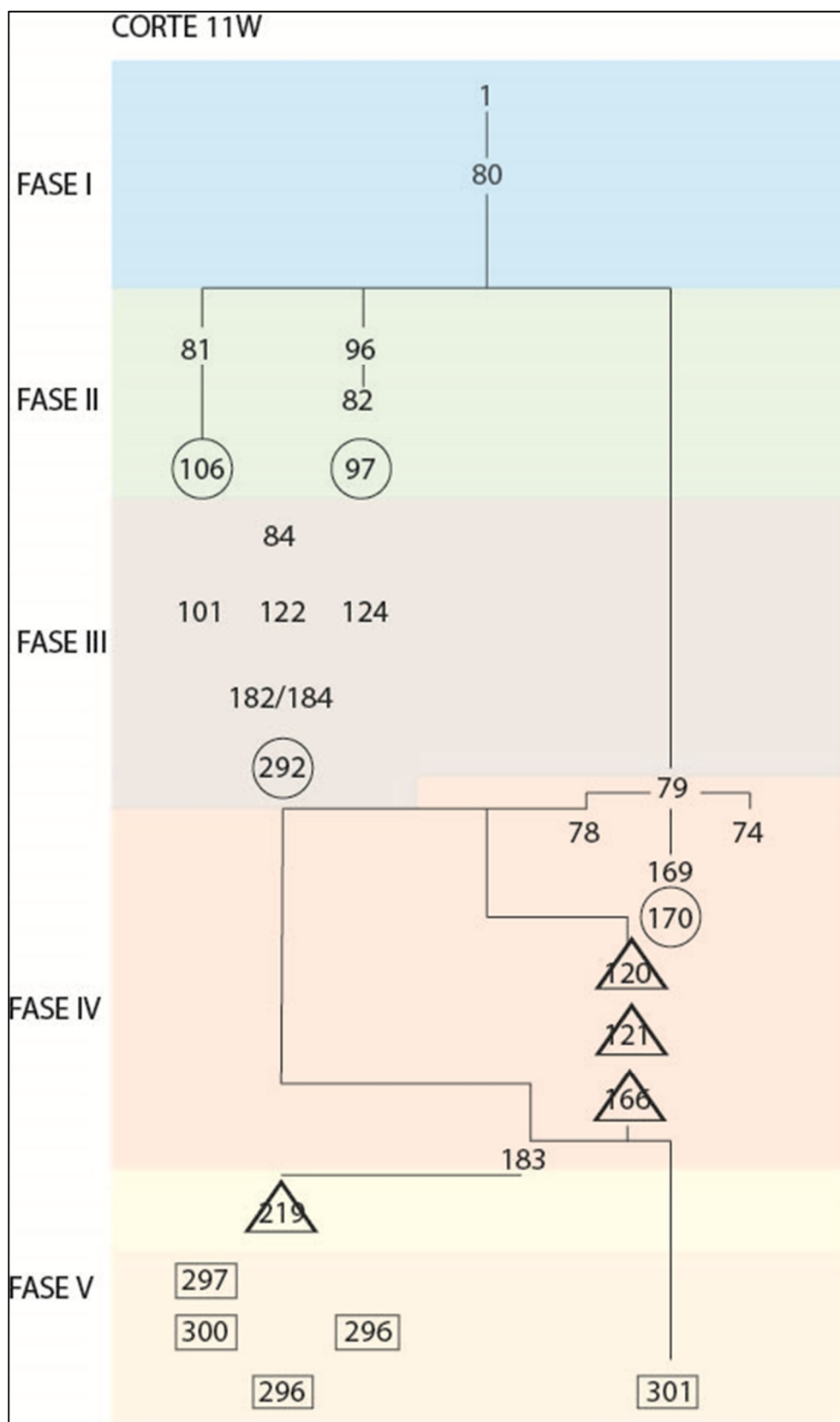


Fig. 85: Diagrama estratigráfico del Ambiente 11W

## CONCLUSIONES Y PLANTEAMIENTOS PARA PRÓXIMAS CAMPAÑAS EN EL SECTOR OCCIDENTAL

A lo largo de la presente campaña hemos dado respuesta a varias de las preguntas planteadas al inicio de la excavación, tales como delimitar el complejo termal en su extremo occidental, identificar el acceso por esta zona y obtener una primera secuencia estratigráfica.

La identificación del espacio viario delimitado por los muros UE 28 y UE 29 en el Ambiente 27 W, junto a los pavimentos identificados en la limpieza del perfil, y la equivalencia de estos dentro de la mitad occidental del Ambiente 11W nos permitió conocer parcialmente la secuencia estratigráfica de la posible calle oeste.

Por otro lado, se abre una perspectiva interesante que parte de una premisa que en estos momentos se revela como fundamental: conocer la relación de este espacio viario con el nivel de acceso al complejo termal. La diferencia de cota entre el pavimento UE 166 y el pavimento UE 219, con 50 cm. de diferencia, evidencia una ocupación de la calle en momentos posteriores a la amortización del pavimento que daría acceso al complejo termal al nivel del umbral localizado. La excavación de los niveles inferior al pavimento UE 166 revelarán los distintos niveles de uso posteriores al cierre del acceso occidental de las termas. Por otro lado, tampoco podemos descartar la excavación del pavimento UE 219, presumiblemente contemporáneo al umbral, y así poder documentar los distintos niveles de ocupación en esta zona previos a la construcción de las Termas Orientales.

## 10. Relación de unidades estratigráficas

UE	AMBIENTE	TIPO	DESCRIPCIÓN
1	-	Estrato	Capa superficial presente en todo el yacimiento
2	24B	Estrato	Estrato al E. del muro UE 4, bajo UE 1
3	24A	Estrato	Estrato al W. del muro UE 4, bajo UE 1
4	24A/24B	Muro	Muro de orientación N-S que divide en dos al Amb 24
5	24B	Estrato	Relleno del basurero que recorta la fosa UE 8 en la UE 2
6	Sobre 25	Interfaz	Fosa en forma de cono invertido que recorta a los Amb. 1, 25 y 28
7	24A	Estrato	Posible fosa cubierta por UE 3 al NW del muro UE 4
8	24B	Interfaz	Fosa que recorta a la UE 2, rellena por UE 5
9	24A	Estrato	Derrumbe que se apoya en UE 3, al NW del muro UE 4
10	27W	Estrato	Amontonamiento de piedras con alineación N-S bajo UE 1
11	27W	Estrato	Estrato horizontal ¿pavimento? bajo UE 1
12	27W	Estructura	Pavimento de mortero ¿o. signinum? Bajo UE 11, roto al N por fosa UE 15
13	27W	Estructura	Pavimento equivalente a UE 12, roto al S por fosa UE 15
14	27W	Estructura	Pavimento por definir bajo UUEE 12 y 13
15	27W	Interfaz	Fosa que parece romper los pavimentos UUEE 12 y 13. Rellena por UE 16
16	27W	Estrato	Relleno de la fosa UE 15
17	27W	Estrato	Estrato de tierra marrón claro bajo UE 1, en la zona E del corte
18	27W	Estrato	Estrato de tierra negra muy suelta bajo UE 1, en la zona E del corte
19	24A	Estrato	Estrato gris que forma la capa superior del relleno de la fosa de UE 36
20	24A	Estrato	Nivel de ceniza que rellena a la fosa de UE 36
21	24A	Estrato	Relleno de la fosa de UE 22
22	24A	Interfaz	Fosa realizada contra el muro UE 4, rellena por UE 21
23	Sobre 25	Grupo UUEE	Canal dirección N-S, ligeramente curvado. Posible acequia siglo XIX. Cortada por fosa UE 6
24	Sobre 25	Estrato	Relleno del tramo de acequia del G.U. 23
25	Sobre 25	Estructura	Estructura de piedras al E de la acequia UE 23. Posible brocal
26	Sobre 25	Estructura	Estrato de tendencia horizontal, compacto, situado en la parte E del corte. Posible pavimento
27	27W	Estrato	Estrato de tierra anaranjada que cubre a la UE 11
28	27W	Muro	Muro con orientación N-S bajo UE 1
29	27W	Muro	Muro con orientación N-S, paralelo al E de UE 28
30	27W	Muro	Muro de orientación E-W que hace esquina al W con el muro UE 28
31	27W	Interfaz	Fosa-recorte en la UE 17, rellena por la UE 18
32	27W	Estrato	Estrato de tierra marrón oscuro/negro que rellena una pequeña fosa circular (UE 34). Cubierta por UE 17
34	27W	Interfaz	Fosa-recorte circular relleno por UE 33. Recorta a UE 32
35	Sobre 25	Estrato	Relleno de la fosa UE 6
36	24A	Interfaz	Fosa que recorta a UE 3, rellena por 20
37	Sobre 25	Estructura	Extremo S del partidor E de la acequia de G. U. 23
38	Sobre 25	Estructura	Extremo N del partidor E de la acequia de G. U. 23
39	Sobre 25	Estructura	Fondo del partidor E de la acequia de G.U. 23
40	Sobre 25	Estructura	Extremo W del partidor S de la acequia de G.U. 23

41	Sobre 25	Estructura	Fondo del partidor S de la acequia de G.U. 23
42	Sobre 25	Estructura	Muro W de la acequia de G.U. 23
43	Sobre 25	Estructura	Muro E de la acequia de G.U. 23, que llega hasta el extremo del partidor UE 38
44	Sobre 25	Estructura	Resto de muro que continúa otro ramal de la acequia de G.U. 23, a continuación de UE 37
45	Sobre 25	Estructura	Resto de muro que continúa otro ramal de la acequia de G.U. 23, a continuación de UE 38
46	Sobre 25	Estructura	Tramo de muro de la acequia de G.U. 23 que continúa al muro UE 43 tras la UE 37
47	Sobre 25	Estructura	Tramo de muro de la acequia de G.U. 23 al S del partidor UE 40
48	27W	Estrato	Estrato de tierra marrón pardo, recortado por la fosa UE 31 y cubierto por la UE 17
49	24A	Estrato	Estrato gris con piedras y cerámica. Igualado a UE 20
50	Sobre 25	Estrato	Estrato ceniciento de tendencia horizontal bajo pavimento UE 26
51	Sobre 25	Estructura	Estructura cuadrangular realizada con piedras irregulares, sobre UE 52
52	Sobre 25	Estrato	Estrato de cal disgregada, de tendencia horizontal, sobre UE 50
53	Sobre 25	Estrato	Nivel de tierra de cultivo que colmata todo el corte. Recortado por fosa UE 6
54	24A	Estrato	Estrato gris arcilloso con piedras, bajo UE 20. Relleno fosa
55	24A	Estrato	Estrato arcilloso verde cortado por UE 36 (fin de la fosa)
56	Sobre 25	Estrato	Estrato con gravas bajo UUEE 35 y 53. Ocupa todo el corte
57	Sobre 25	Interfaz	Recorte sobre UE 56 para encajar el canal de G.U. 23
58	27W	Estrato	Estrato de tierra marrón amarillenta bajo UE 11, rellenando a UE 59
59	27W	Interfaz	Recorte en el pavimento UE 11, relleno por UE 58
60	28	Estrato	Acumulación de piedras contra muro UE 3304. Posible derrumbe del mismo
61	Sobre 25	Interfaz	Recorte en UE 56 para hincar el partidor UE 37
62	Sobre 25	Interfaz	Recorte en UE 56 para hincar el partidor UE 38
63	Sobre 25	Interfaz	Recorte en UE 56 para hincar el partidor UE 40
64	28	Interfaz	Recorte practicado en la parte superior del muro UE 3304, destruyendo parte de la exedra
65	28	Interfaz	Relleno del recorte UE 64
66	25	Estrato	Acumulación de piedras ¿derrumbe? que se apoya en el muro UE 67
67	25/28	Muro	Muro orientación W-E que traba con UE 3304 y separa a los Amb 25 y 28. Su cara interna (Amb 28) traza un recorrido curvo
68	28	Estrato	Estrato grisáceo con abundante presencia de material constructivo
69	29	Estrato	Estrato grisáceo con presencia de escoria de metal
70	25	Estrato	Estrato arenoso (mortero disgregado) que continúa hacia el E el recorrido del muro UE 67
71	28	Estrato	Acumulación de paleocharcos, dentro de la exedra. Se apoya en 60 y en 68
72	29	Estrato	Estrato de tierra naranja, con presencia de ladrillo y adobes
73	29	Estructura	Pilar (jamba) que sobresale del muro UE 3304 en dirección E-W
74	11W	Muro	Muro W de posible canalización
75	24B	Estrato	Capa de tierra y restos cerámicos, cenizas y material de



			construcción rellenando fosa UE 8, bajo UE 5
76	Sobre 25	Estrato	Estrato de cal muy disgregada. Situado entre pavimento UE 26, acequia de G.U. 23 y la UE 52. Sobre UE 53
77	28	Estructura	Enlucido que reviste la cara externa del muro de UE 3304
78	11W	Muro	Muro E de posible canalización
79	11W	Estrato	Relleno entre las UUEE 74 y 78
80	11W	Estrato	Capa de tierra de tonalidad oscura y suelta al W de UE 74
81	11W	Estrato	Estrato de tierra gris oscuro en la zona SE del corte. Posible relleno de fosa
82	11W	Estrato	Estrato de tierra gris oscura en la zona NE del corte. Posible relleno de fosa
83	11W	Muro	Muro de mampostería en piedra caliza, situado al N-NE del corte
84	11W	Estrato	Estrato de tierra gris, compactada y con piedras
85	29	Estructura	Nivel de tierra y acumulación de fragmentos de enlucido parietal
86	25	Estrato	Acumulación de mortero disgregado y de fragmentos de estuco bajo UE 94
87	28	Estructura	Enlucido de estuco en la cara del muro UE 67, hacia el vano
88	28	Estructura	Enlucido de estuco en la cara del muro 89, hacia el vano
89	25/28	Muro	Muro bajo UE 70 que conforma el extremo E del Amb 28. Un tramo continúa el recorrido E-W del muro 67 antes de hacer ángulo en dirección N-S
90	28	Estrato	Estrato de mortero disgregado y revuelto sobre el muro 89
91	25	Estrato	Derrumbe de mortero bajo UE 68 y al NE del muro 3304
92	25	Estructura	Enlucido de estuco en el muro UE 3304 en el ángulo con el muro UE 67
93	25	Estructura	Enlucido de estuco sobre el muro UE 67 en el ángulo con el muro UE 3304
94	25	Estrato	Estrato ataludado cortado por fosa UE 6. Bajo UE 56. Posible derrumbe
95	25	Estrato	Nivel de derrumbe apoyado contra el muro UE 67
96	11W	Estrato	Estrato de tierra marrón claro, bajo UE 82, rellenando a la fosa UE 97
97	11W	Estrato	Fosa rellena por UE 96 y 82
98	29	Interfaz	Fosa que recorta a la UE 72
99	29	Estrato	Relleno de la fosa UE 98
100	29	Interfaz	Interfaz que recorta la UE 85 y rellenada por UE 69
101	11W	Estrato	Estrato de tierra marrón grisáceo bajo UE 1 en la zona SE del corte
102	25	Estrato	Estrato de tierra amarillenta y arenosa, con gran cantidad de enlucidos, bajo UE 94
105	11W	Estrato	Estrato de tierra marrón amarillenta en el fondo de la fosa UE 106
106	11W	Estrato	Recorte-fosa de tendencia ovalada relleno por la UE 81
107	3/4/5	Estrato	Estrato que cubre la cresta de los muros UUEE 3008, 3003 y 3001. Compuesto por tierra suelta de color castaño y piedras de pequeño tamaño
108	5	Estrato	Estrato de tierra anaranjada apelmazada sobre muro UE 3001. Cubre a UE 117
109	28	Estrato	Acumulación de piedras que se apoya en la cara W de UE 74
110	24A	Estrato	Tierra compacta amarillenta sin fragmentos cerámicos. Bajo UE 3
111	24A	Interfaz	Fosa que recorta a UE 110 para apoyar o cimentar muro UE 4
112	30	Estrato	Nivel de tierra parduzca sin material arqueológico que se

			apoya en la cara E de la UE 89
113	28/29	Muro	Muro dirección E-W que separa los Amb 28 y 29
114	29	Estrato	Nivel de tierra bajo UE 85 y contra la cara N del muro UE 113
115	28	Estrato	Cúmulo de piedras apoyado en la cara S del muro UE 113
116	25	Estrato	Nivel de tierra con material de construcción que colmata el Amb 25, bajo UE 102
117	5	Estrato	Estrato compacto de tierra color castaño con piedras de pequeño tamaño bajo UE 108
118	28	Estrato	Estrato de tendencia horizontal bajo UE 68
119	24B	Estrato	Estrato de tierra bajo UE 5 que se apoya en UE 75, en el interior de la fosa UE 8
120	11W	Estructura	Nivel de pavimentación
121	11W	Estructura	Nivel de pavimento bajo UE 120
122	25	Estrato	Estrato compacto de tonalidad anaranjada en el extremo N que apoya contra el muro UE 67 bajo UE 95
123	29N	Estrato	Colmatación de piedras al N del muro UE 3304
124	11W	Estrato	Estrato de tierra marrón anaranjada bajo UE 122 y UE 184
125	29N	Estrato	Estrato de tierra marrón (zahorra) bajo UE 123
126	29N	Estrato	Fosa por debajo del nivel de relleno de la excavación Ramos. Corta a UE 125
127	29N	Estrato	Preparación de pavimento cortado por UE 126
128	29N	Interfaz	Fosa
129	29N	Muro	Muro adosado al muro UE 3304. Posible hornacina
130	25	Estructura	Pavimento del Amb 25, bajo UE 116
131	25	Estructura	Media caña hidráulica en el extremo SW del Amb 25
132	25	Estructura	Media caña hidráulica en el extremo NW del Amb 25
133	25	Estructura	Media caña hidráulica en el extremo N del Amb 25, adosada a la UE 67
134	25	Estructura	Posible escalón de acceso al Amb 28 desde el Amb 25, bajo el umbral UE 135
135	25	Estructura	Umbral que comunica al Amb 25 con el 28. Cubierto por UE 66 y sobre UE 134
136	25	Interfaz	Fosa que recorta a UE 130 en el extremo N del Amb 25. Rellena por UE 122
137	25S	Estrato	Tierra anaranjada con escaso material arqueológico que cubre al muro que delimita el extremo S del Amb 25
138	28	Estructura	Enlucidos que revisten la cara W del muro UE 89
139	29	Interfaz	Interfaz que recorta a la UE 114. Relleno por UE 140. Al N del muro UE 113
140	29	Estrato	Relleno de la interfaz 139. Apoya contra el muro UE 113 por el N
141	28	Interfaz	Recorte practicado a la UE 118, relleno por UE 115. Al S del muro UE 113
142	28/29	Estrato	Estrato de tierra que colmata el extremo W de la fosa de UE 139/141
143	29N	Estrato	Nivel compuesto por tierra grisácea de textura arcillosa, con fragmentos de ladrillo y de estuco
144	29N	Muro	3304
145	29N	Estrato	Nivel de textura arenosa
146	24B	Estrato	Estrato de adobes compactados bajo UUEE 75 y 119
147	25	Estructura	Base de piedra con perforación vertical. En el extremo NW del Amb 25
148	25	Estrato	Relleno de la UE 147
149	25	Estrato	Estrato que colmata la fosa UE 150, en el ángulo NE del Amb 25

150	25	Interfaz	Recorte practicado en el ángulo NE del Amb 25, en el pavimento UE 130
151	25	Estructura	Canal construido en el pavimento UE 130
152	25	Estrato	Relleno del canal UE 151
153	25	Estrato	Estrato en talud que desciende en sentido N-S, de tonalidad amarillenta, que cubre parcialmente al pavimento UE 130 y se apoya en el muro UE 189
154	25	Estrato	Estrato en talud que desciende en sentido S-N, formado por tierra y piedras. Cubre parcialmente al pavimento UE 130 y se apoya en la cara N del muro UE 209
155	25	Estructura	Media caña hidráulica con orientación W-E que delimita el extremo S del Amb. 25
156	25	Estructura	Estructura circular sobre el pavimento UE 130. Conectada al canal UE 152. Posible base original del <i>labrum</i>
157	25	Estructura	Canal que une la estructura circular UE 156 con la toma de agua UE 147. Construido en pavimento UE 130
158	28	Estrato	Estrato de tendencia horizontal bajo UE 118. Cubre parcialmente a UE 160. Posible nivel de paso
159	28	Estructura	Media caña hidráulica que bordea la exedra del muro UE 3304
160	28	Estructura	Resto de pavimento de <i>o. signinum</i> bajo UUEE 118 y 158
161	25	Estructura	Estructura circular sobre pavimento UE 130. Posible segunda ubicación del <i>labrum</i>
162	28	Estrato	Nivel de tendencia horizontal bajo UE 158
163	28	Estructura	Nivel horizontal de <i>o. signinum</i> entre muros UUEE 73 y 113 (vano)
164	28	Estructura	Losas bajo UE 163, entre muros UUEE 73 y 113 (vano)
165	25	Elemento	Fragmentos de pavimento que forman parte del vertido UE 116
166	11W	Estrato	Nivel de pavimento formado por abundante cal amarillenta, pequeñas piedras y cerámica
167	2	Interfaz	Interfaz que marca el límite de las excavaciones Ramos
168	2	Estrato	Estrato de tendencia horizontal en el canal al W del Amb. 2
169	11W	Estrato	Estrato de tierra gris que rellena una zanja que recorta el corte en dirección N-S
170	11W	Estrato	Zanja longitudinal que cruza el corte en dirección N-S, rellena por UE 169
171	11W	Estrato	Estrato de tierra gris que rellena una pequeña zanja en la zona N del corte, rompiendo el pavimento UE 121
172	11W	Estrato	Zanja que vemos parcialmente en la zona N del corte, rompiendo UE 121 y rellena por UE 171
173	25	Elemento	Restos humanos dentro de la UE 193, sobre el canal que delimita el extremo S del Amb. 25
175	28E	Estrato	Acumulación de tierra y piedras entre la cara E del muro UE 89 y el límite del corte, bajo UE 53. Se le apoya UE 112
176	4	Estrato	Relleno de la interfaz UE 177. Excavaciones de las campañas Ramos
177	4	Interfaz	Interfaz realizada en las excavaciones de las campañas Ramos
178	4	Estructura	Cimentación del muro S del G.U. 3007, sobre UE 206
179	4	Estrato	Estrato de tierra anaranjada junto a los muros UUEE 3008 y 3003, al N del Amb. 4
180	25	Interfaz	Recorte practicado en la UE 53 con el fin de instalar la acequia de UE 23.
181	4	Muro	Muro bajo el muro UE 185
182	11W	Estrato	Estrato de tierra marrón pardo con abundante material de

			construcción, bajo UUEE 101 y 84
183	11W	Estrato	Estrato de tierra marrón oscuro, poco compacta, bajo UE 166 (su preparación)
184	11W	Estrato	Estrato de tierra marrón oscuro tendente al negro, bajo UUEE 182 y 183
185	4	Muro	Muro de orientación N-S sobre muro UE 181, al E del Amb. 4
186	4	Muro	Muro de orientación W-E al N del Amb. 4 ¿trabado? al muro UE 185
187	25	Estructura	Media caña hidráulica que delimita el extremo NE del Amb. 25. Se adosa al muro UE 193
188	25	Estructura	Media caña hidráulica que delimita el extremo E del Amb. 25. Se adosa a UUEE 189, 190 y 191
189	25	Estructura	Muro de orientación N-S que delimita el Amb. 25 en su extremo E
190	25	Estructura	Revestimiento de ladrillo sobre la cara externa del muro UE 189, en el extremo E del Amb. 25. Se adosa a UE 191
191	25	Estructura	Revestimiento de mármol sobre la cara externa del muro UE 189, en el extremo E del Amb. 25. Se le adosa UE 190
192	25/28	Muro	Muro de orientación E-W al E del vano UE 135. Cubierto por muro UE 89
193	25	Estrato	Relleno de la interfaz UE 194, en cuyo interior se encuentran los restos humanos UE 173
194	25	Interfaz	Fosa bajo UE 116 que recorta a UE 154. Rellena por UE 193
195	25	Estrato	Relleno del canal que conforman las UUEE 209 y 3213
196	28	Estrato	Estrato de tendencia ataludada que desciende en sentido E-W, de tonalidad amarillenta y textura granulosa. Bajo UE 162
197	28	Interfaz	Recorte en el Amb. 28 que rompe el mosaico
198	28	Estructura	Pavimento de mosaico cortado por la interfaz UE 197
199	28	Estrato	Nivel de cantos bajo UE 162 y sobre mosaico UE 198, junto al vano UE 135
200	4	Estructura	Estructura de tendencia horizontal realizada con cantos rodados. Al E del Amb. 4, bajo el muro UE 181
201	4	Muro	Muro de orientación NW-SE bajo la UE 176, al E del Amb. 4 y bajo el muro UE 185
202	28	Estrato	Tierra cenicienta con huesos que rellena la fosa UE 197. Bajo UE 162
203	28	Estructura	Mosaico bajo UE 199, en el extremo W del Amb. 28. Cortado por UE 197
204	4	Estrato	Estrato de tierra apelmazada de tonalidad castaño oscuro. Situada entre los muros UUEE 181 (E), 201 (N) y 3006 (S). Relleno de la interfaz 177, bajo UE 176
205	4	Estructura	Cimentación del muro N del G.U. 3007, bajo el alzado de o. <i>africanum</i>
206	4	Estrato	Estrato castaño con inclusiones de cal bajo la cimentación de UE 206
207	4	Estrato	Estrato de tierra castaña, apelmazada y compacta, bajo UE 206
208	4	Muro	Muro bajo el muro UE 181 ¿fundación?
209	25	Muro	Muro de orientación N-S que recrece la media caña UE 155 para formar un canal
210	28	Estrato	Estrato compacto de tonalidad marrón. Situado en el ángulo NE del Amb. 28
211	28/29	Estructura	Orificio cuadrangular en el extremo W del muro UE 113
212	28/29	Estructura	Orificio cuadrangular en la parte central del muro UE 113
213	28/29	Estructura	Orificio cuadrangular en la parte E del muro UE 113



214	4	Estrato	Estrato de cal al N del Amb. 4, junto a los muros UUEE 215 y 179
215	4	Estructura	Estructura de cantos rodados de tendencia horizontal al N del Amb. 4, junto a los muros UUEE 186 y 179
216	4	Estructura	Acumulación de piedras al E del Amb. 4, junto a la fundación UE 180
217	4	Muro	Muro de orientación NW-SE al N del Amb. 4. Traba con el muro UE 218
218	4	Muro	Muro de orientación NE-SW al N del Amb. 4. Traba con el muro UE 217
219	11W	Estrato	Pavimento de tierra marrón con pequeños cantos rodados y fragmentos de cerámica bajo UUEE 184 y 185
220	28	Estructura	Restos de pavimento de <i>o. signinum</i> sobre el pavimento anterior (UE 160)
221	28	Estrato	Estrato con abundante presencia de teselas bajo UE 196
222	28	Interfaz	Pequeña fosa sin material y de escasa profundidad que corta a UE 221
223	28	Estrato	Relleno de la fosa UE 222, compuesto por tierra arcillosa de tonalidad marrón oscuro
224	11W	Estrato	Estrato de tierra marrón anaranjado bajo el pavimento UE 219
225	4	Estrato	Estrato de tendencia horizontal junto a los muros UUEE 217 y 218. Sobre UE 226
226	4	Estructura	Posible pavimento al NE del Amb. 4, entre los muros UUEE 217, 218 y 227
227	5	Muro	Muro de orientación NE-SW bajo UE 176, al E del Amb. 4
228	4	Muro	Continuación del muro UE 217 a partir de su extremo E
229	4	Estructura	Estructura horizontal de orientación W-E bajo muro UE 186
230	4	Estructura	Media caña de orientación NE-SW que se adosa a muro UE 218
231	4	Estructura	Media caña de orientación NE-SW que se adosa al muro UE 227
232	4	Estructura	Media caña adosada a los muros UUEE 217 y 228
233	4	Estrato	Acumulación de piedras junto al muro UE 217, al N
234	4	Estrato	Estrato de tendencia horizontal bajo UE 176. Compuesto por tierra castaña clara de tonalidad arcillosa, en la esquina NE del Amb. 4
235	24B	Estrato	Estrato de tierra arcillosa con gran cantidad de materiales arqueológicos (cerámica, fauna, malacofauna...) bajo UE 5
236	28	Estructura	Pila de hipocausto en posición B4. Ladrillos circulares
237	28	Estructura	Pila de hipocausto en posición B2. Ladrillos circulares
238	28	Estructura	Pila de hipocausto en posición C5. Ladrillos cuadrados
239	28	Estructura	Pila de hipocausto en posición C4. Ladrillos cuadrados
240	28	Estructura	Pila de hipocausto en posición C3. Ladrillos cuadrados
241	28	Estructura	Pila de hipocausto en posición C1. Ladrillos cuadrados
242	28	Estructura	Pila de hipocausto en posición D5. Ladrillos cuadrados
243	28	Estructura	Pila de hipocausto en posición D3. Ladrillos cuadrados
244	28	Estructura	Pila de hipocausto en posición E5. Ladrillos cuadrados
245	28	Estructura	Pila de hipocausto en posición E4. Ladrillos cuadrados
246	28	Estructura	Pila de hipocausto en posición E3. Ladrillos cuadrados
247	28	Estructura	Pila de hipocausto en posición E3. Ladrillos cuadrados
248	28	Estructura	Pila de hipocausto en posición E4. Ladrillos cuadrados
249	28	Estructura	Pila de hipocausto en posición E5. Ladrillos cuadrados
250	28	Estructura	Estructura cuadrangular de <i>o. signinum</i> entre los muros UUEE 192 y 67, junto al mosaico UE 203. Posible jamba de un

			vano
251	28	Estructura	Pila de hipocausto en posición B3. Ladrillos cuadrados.
252	28	Estrato	Estrato de tierra de tonalidad amarillenta y textura arenosa que cubre parcialmente al mosaico UE 203 y que se apoya en UE 250. Cubierta por el umbral UE 135.
253	28	Estrato	Estrato de tierra de tono ceniciento que colmata el Amb. 28, apoyándose en las <i>pilae</i> del hipocausto. Cubierto por UE 221
254	30	Estrato	Estrato bajo UE 112 al E del muro UE 89
255	28	Estructura	Pila de hipocausto en posición A1. Ladrillos circulares.
256	28	Estructura	Pila de hipocausto en posición B1. Ladrillos circulares.
257	28	Estructura	Pila de hipocausto en posición C2. Ladrillos cuadrados
258	29N	Muro	Muro de orientación W-E que traba con el muro UE 3304 y que delimita las termas en su extremo NW
259	28	Estructura	Pila de hipocausto de ladrillos cuadrados en posición E6.
260	28	Estructura	Pila de hipocausto en posición D4. Ladrillos cuadrados
261	25	Interfaz	Recorte circular practicado en el ángulo SW del pavimento UE 130
262	25	Estrato	Relleno de la interfaz UE 261
263	25	Interfaz	Recorte circular al E de la interfaz UE 261 practicado en el pavimento UE 130
264	25	Estrato	Relleno de la interfaz UE 263, con alta presencia de cenizas
265	25	Interfaz	Recorte de forma circular practicado en el pavimento UE 130, en el centro del Amb. 25
266	25	Estrato	Relleno de la fosa UE 265
267	28	Estructura	Pila de hipocausto en posición D2. Ladrillos cuadrados
268	28	Estructura	Pila de hipocausto en posición D1. Ladrillos cuadrados
269	28	Estructura	Pila de hipocausto en posición E2. Ladrillos cuadrados
270	28	Estructura	Pila de hipocausto en posición E1. Ladrillos cuadrados
271	24B	Estrato	Estrato estéril bajo UE 235
272	24B	Estrato	Estrato de tierra compacta, grisácea, con material arqueológico, que cubre a UE 235
273	24B	Estrato	Estrato de tierra que encontramos entre UE 4 y la cloaca. Posible relleno de la fosa de la cloaca
274	29N	Muro	Muro que traba con el muro UE 129
275	28	Estructura	Pila de hipocausto en posición F4. Ladrillos cuadrados
276	28	Estructura	Pila de hipocausto en posición G4. Ladrillos circulares
277	28	Estructura	Pila de hipocausto en posición G3. Ladrillos circulares
278	28	Estructura	Pila de hipocausto en posición G2. Ladrillos circulares
279	28	Estructura	Pila de hipocausto en posición G1. Ladrillos circulares
280	28	Estructura	Pila de hipocausto en posición H2. Ladrillos circulares
281	28	Estructura	Pila de hipocausto en posición H1. Ladrillos circulares
282	28	Estructura	Fondo del hipocausto, de <i>opus signinum</i>
283	4	Estructura	Pavimento de cal junto a G.U. 3003
284	4	Estructura	Pavimento de cal bajo UE 283
285	4	Estrato	Estrato de color castaño con presencia de piedras bajo UE 179
286	4	Estrato	Estrato de color anaranjado sobre UE 284 y sobre UE 179
287	28E	Estructura	Alineación de mortero y piedras en la base del muro UE 189. Posible zapata o media caña
288	28E	Estructura	Estructura de piedra y mortero que continúa el muro UE 67-89, haciendo ángulo NE con UE 189
289	¿?	Estrato	Limpieza superficial del muro de UE 4033.
290	25	Elemento	Fragmentsos de <i>labrum</i> hallados en el interior de la UE 122.
291	27W	Estructura	Pavimento.
292	27W	Interfaz	Interfaz rellena por UUEE 81, 82 y 84

293	25	Estructura	Muro de orientación N-S con la misma orientación que el muro de UE 3304. Junto a él flanquean al umbral de UE 3215 y delimita el extremo W del Ambiente 25
294	28	Grupo UUEE	Conjunto de <i>pilae</i> que conforman el hipocausto del Ambiente 28
295	28	Estructura	Resto de pavimento de mosaico que arranca de la cara W del muro UE 89. Cortado por interfaz UE 197
296	11W	Estructura	Umbral con orientación N-S bajo los muros UE 297 y UE 299
297	11W	Estructura	Muro de E-W que imbrica al sur con el muro que delimita el Ambiente 11 en el extremo occidental de este.
298	11W	Estructura	Muro con orientación E-W, continuación del muro que delimita en el extremo occidental del Ambiente 11 (por definir), y al que se le apoya el muro UE 299
299	11W	Estructura	Muro con orientación N-S, sobre el umbral UE 296, y que se poya en la cara sur del muro UE 298.
300	11W	Estructura	Muro en el mismo eje de orientación que el muro UE 299, con la misma orientación y sobre el extremo sur del umbral UE 296
301	11W	Estructura	Muro con orientación N-S, posible continuación del muro UE 28 (Ambiente 27W), que presenta en su extremo sur una sillar a modo de esquina roma o cantonera.